



# VYSOKÉ UČENÍ TECHNICKÉ V BRNĚ

BRNO UNIVERSITY OF TECHNOLOGY

## FAKULTA STROJNÍHO INŽENÝRSTVÍ

FACULTY OF MECHANICAL ENGINEERING

## ÚSTAV STROJÍRENSKÉ TECHNOLOGIE

INSTITUTE OF MANUFACTURING TECHNOLOGY

## VÝROBA SOUČÁSTI KLEC ECR 10 12

PRODUCTION OF COMPONENT THE CAGE ECR 10 12

### DIPLOMOVÁ PRÁCE

MASTER'S THESIS

### AUTOR PRÁCE

AUTHOR

Bc. Josef Jílek

### VEDOUCÍ PRÁCE

SUPERVISOR

Ing. Ladislav Žák, Ph.D.

BRNO 2019

# Zadání diplomové práce

Ústav:	Ústav strojírenské technologie
Student:	<b>Bc. Josef Jílek</b>
Studijní program:	Strojní inženýrství
Studijní obor:	Strojírenská technologie
Vedoucí práce:	<b>Ing. Ladislav Žák, Ph.D.</b>
Akademický rok:	2018/19

Ředitel ústavu Vám v souladu se zákonem č.111/1998 o vysokých školách a se Studijním a zkušebním řádem VUT v Brně určuje následující téma diplomové práce:

## Výroba součásti Klec ECR 10 12

### Stručná charakteristika problematiky úkolu:

Úkolem zadání bude zpracovat možnosti výroby zadané součásti, navrhnout technologii výroby a vypracovat konstrukční řešení postupového nástroje.

### Cíle diplomové práce:

- Zhodnocení technologičnosti výroby součásti
- Literární studie vhodných technologií
- Vypracování technologického postupu výroby na základě potřebných výpočtů
- Konstrukční řešení nástroje
- Ekonomické vyhodnocení

### Seznam doporučené literatury:

BAČA, Jozef, Jozef BÍLIK a Viktor TITTEL. Technológia tvárnenia, 1. vyd. Bratislava: Edícia vysokoškolských učebníc, 2010. 245 s. ISBN 978-80-227-3242-0.

BOLJANOVIC, Vukota. Sheet Metal Forming Processes and Die Design. U.S. (USA) : Industrial Press Inc., 2005. ISBN 9780831132590.

BIRZER, Franz. Forming and fineblanking : cost-effective manufacture of accurate sheetmetal parts. 1st edition. Landsberg/Lech : Verl. Moderne Industrie, 1997. ISBN 3-478-93161-4.

DILLINGER, Josef, et al. Moderní strojírenství pro školu i praxi. Z něm. orig. Fachkunde Metall přeložil Jiří Handlíř. 55. vyd. Praha : Europa-Sobotáles, 2007. ISBN 978-80-86706-19-1.

LIDMILA, Zdeněk. Teorie a technologie tváření. Brno: Univerzita obrany, 2008. ISBN 978-80-72-1-579-6.

Termín odevzdání diplomové práce je stanoven časovým plánem akademického roku 2018/19

V Brně, dne

L. S.

---

prof. Ing. Miroslav Píška, CSc.  
ředitel ústavu

---

doc. Ing. Jaroslav Katolický, Ph.D.  
děkan fakulty

## **ABSTRAKT**

JÍLEK Josef: Výroba součásti Klec ECR 10 12.

---

Práce se zabývá návrhem technologie výroby součásti Klec ECR 10 12, která společně s maticí slouží jako montážní prvek při výrobě autobusů. Navržený plechový dílec z oceli 11 321 tloušťky 1,5 mm je vyráběn v roční sérii 10 000 ks. Pro výrobu součásti byla na základě literární studie navržena technologie výroby ve sdruženém postupovém nástroji, který v sobě kombinuje stříhání a ohýbání. Na základě technologických výpočtů byl navržen nástroj a podle celkové tvářecí síly zvolen stroj. Jako tvářecí stroj pro upnutí nástroje byl zvolen výstředníkový lis LEN 63 C se jmenovitou silou 630 kN.

Klíčová slova: Ocel 11 321, stříhání, ohýbání, plošné tváření, postupový nástroj

## **ABSTRACT**

JÍLEK Josef: Production of component the Cage ECR 10 12.

---

The thesis focuses on the production concept of component Cage ECR 10 12, which is used as assembly element together with a nut during the bus production. Sheet metal part is made from 11 321 steel 1,5 mm thick in production 10 000 parts per year. Technology of production in progressive tool was selected based on literature study. Progressive tool combines technology of shearing and bending. Tool was designed after the technological calculations. Forming machine was selected after the stamping force calculation. Eccentric press LEN 63 C with 630 kN forming force was selected for production.

Keywords: 11 321 steel, shearing, bending, sheet metal forming, progressive tool

## **BIBLIOGRAFICKÁ CITACE**

JÍLEK, Josef. *Výroba součástí Klec ECR 10 12*. Brno, 2019. Dostupné také z: <https://www.vutbr.cz/studenti/zav-prace/detail/117510>. Diplomová práce. Vysoké učení technické v Brně, Fakulta strojního inženýrství, Ústav strojírenské technologie. Vedoucí práce Ladislav Žák

## **ČESTNÉ PROHLÁŠENÍ**

Tímto prohlašuji, že předkládanou diplomovou práci jsem vypracoval samostatně, s využitím uvedené literatury a podkladů, na základě konzultací a pod vedením vedoucího diplomové práce.

V Brně dne 24.5.2019

.....  
Podpis

## **PODĚKOVÁNÍ**

Tímto děkuji panu Ing. Ladislavu Žákovi, Ph.D. za cenné připomínky a rady týkající se zpracování diplomové práce. Také děkuji panu Ing. Jiřímu Kutlvašrovi a zaměstnancům společnosti ECOS Choceň s.r.o. za poskytnutí zadání diplomové práce. Také děkuji svojí rodině za podporu během studia.

# OBSAH

Zadání

Abstrakt

Bibliografická citace

Čestné prohlášení

Poděkování

Obsah

**ÚVOD** ..... 9

**1 ROZBOR ZADÁNÍ**..... 10

1.1 Výrobní možnosti..... 11

**2 TECHNOLOGIE STŘÍHÁNÍ A OHÝBÁNÍ**..... 14

2.1 Technologie stříhání ..... 14

2.1.1 Střížná vřele a plocha ..... 15

2.1.2 Střížné síly ..... 17

2.1.3 Technologičnost výstřížku ..... 19

2.1.4 Střížné nástroje..... 22

2.2 Technologie ohýbání..... 25

2.2.1 Průběh ohýbání ..... 25

2.2.2 Rozvinutý tvar polotovaru ..... 26

2.2.3 Ohýbací síla a práce ..... 29

2.2.4 Ohýbací nástroje a technologičnost ..... 30

**3 NÁVRH TECHNOLOGIE VÝROBY** ..... 33

3.1 Rozvinutý tvar součástí ..... 34

3.2 Rozložení na pásu ..... 35

3.3 Rozvržení operací ..... 40

3.4 Technologické výpočty ..... 43

3.4.1 Střížná část ..... 43

3.4.2 Ohybová část..... 47

3.4.3 Těžiště sil ..... 49

3.5 Návrh nástroje ..... 51

3.5.1 Spodní polovina nástroje..... 51

3.5.2 Horní polovina nástroje..... 53

3.5.3 Tvářecí stroj ..... 55

3.6 Tahová zkouška ..... 51

**4 TECHNICKO – EKONOMICKÉ ZHODNOCENÍ** ..... 57

**5 ZÁVĚRY** ..... 60

Seznam použitých zdrojů

Seznam použitých symbolů a zkratk

Seznam obrázků

Seznam tabulek

Seznam příloh

Seznam výkresů



## ÚVOD [1], [2], [3], [4], [5], [6]

Většinu průmyslových produktů lze zařadit podle způsobu výroby do jedné z následujících skupin strojírenských technologií. Jsou to technologie tváření, obrábění, svařování a odlévání. V případě výrobků z různých kovových materiálů je technologie tváření vyzdvihována především z důvodu vysokého procenta využití materiálu. Často se však ve výrobě využívá kombinace více technologií společně. Jako příklad bych uvedl výrobu tvářecích nástrojů, které by bylo bez obrábění jen velmi obtížné vyrobit v požadované přesnosti, kvalitě a s rozumnými náklady.

Výhodou tváření je skutečnost, že při výrobě vzniká často jen velmi malé procento odpadu. Pořizovací cena nástrojů je vyšší a promítá se tak do ceny každého kusu. Proto se tváření uplatňuje především při velkosériové výrobě, kdy vznikají až stovky tisíc kusů ročně. Trendem je tedy snižování výrobních časů a zvyšování procenta využitého materiálu.

Při tváření působí nástroj na materiál s cílem dosažení jeho plastického přetvoření. Pokud nastává přetvoření v celém objemu materiálu ve třech hlavních směrech, pak hovoříme o objemovém tváření (pěchování, protlačování). Přetváří-li se materiál primárně ve dvou směrech, pak se jedná o plošné tváření (stříhání, ohýbání, tažení). Objemové tváření se provádí často za zvýšených teplot. Plošné tváření naopak probíhá nejčastěji za studena.

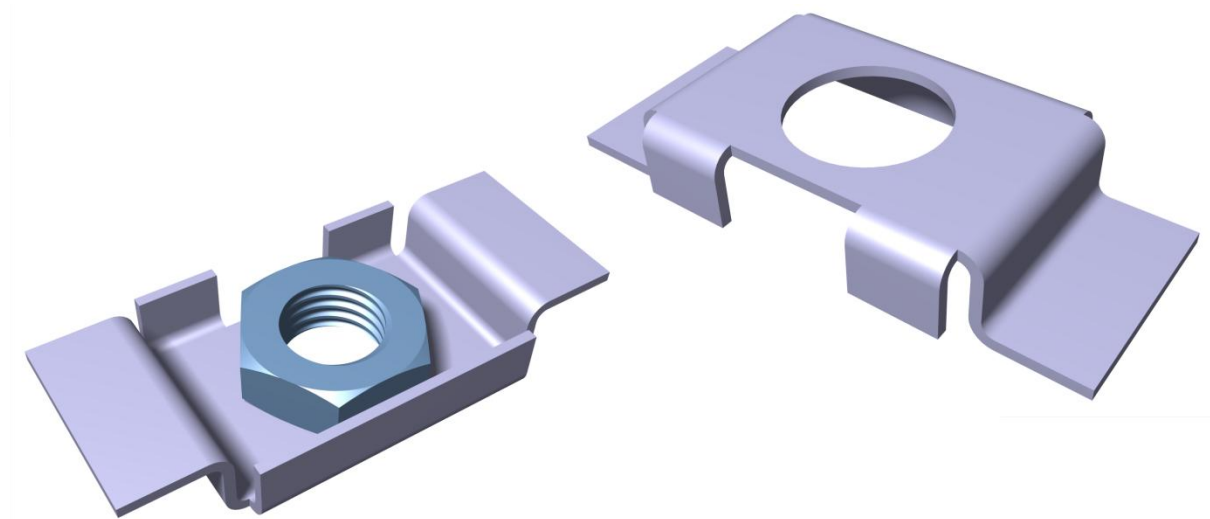
Výstupem tvářecích operací je velké spektrum výrobků (obr. 1).



Obr. 1 Výrobky vzniklé tvářením [7], [8], [9]

## 1 ROZBOR ZADÁNÍ [10]

Předmětem řešení je součást Klec ECR 10 12 (obr. 2). Jedná se o ohýbaný plechový dílec pravouhlochého tvaru s otvorem o průměru 20 mm. Po navaření k rámové konstrukci slouží klec k vymezení polohy šestihranné nízké matice M16 podle ČSN EN ISO 4035. Klece s maticemi tvoří montážní body tam, kde je potřebné pevně uchytit matici k rámu při zachování určité vůle. Matice s klecí se využívá při montáži rozměrných svařovaných konstrukcí, kde je obtížné zajistit přesnost spasování. Matice se může v kleci pohybovat s určitou vůlí a lze tedy kompenzovat výrobní nepřesnosti, které vznikají při svařování.



Obr. 2 Klec ECR 10 12

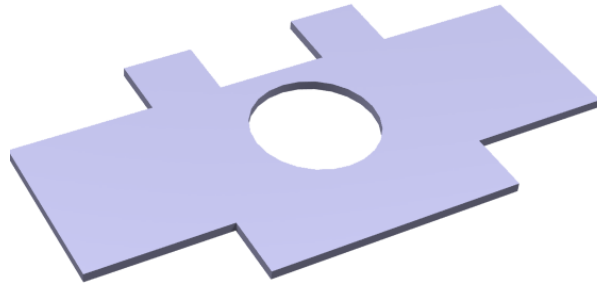
Klec se v současnosti vyrábí z ocelového plechu DC 01 (11 321) jejíž vlastnosti jsou uvedeny v tabulce 1. Jedná se o nelegovanou jakostní ocel vhodnou ke tváření za studena se zaručenou svařitelností. Vzhledem k mechanickým vlastnostem materiálu není potřeba hledat alternativu, jelikož současný materiál splňuje veškeré požadavky. Povrchová úprava není prováděna bezprostředně po výrobě součásti, protože dílec se dále připevňuje ke konstrukci svarem. Klece s maticemi jsou na vhodných místech svařeny s konstrukcí z ocelových profilů, která je dodávána výrobcem autobusů Iveco. V závodě Iveco Bus se smontuje skelet autobusu, který pak obdrží povrchovou úpravu jako celek. Před lakováním odstínu dle přání zákazníka se celá konstrukce smáčí v katarforetické lázni.

Tab. 1 Mechanické vlastnosti a chemické složení materiálu

Materiál	dle EN(DC01)	dle ČSN(11 321)	dle DIN(HX340LAD)	
Mechanické vlastnosti	$R_{p0,2}$ [MPa]	$R_m$ [MPa]	$A_{80}$ [%]	
	340	410	28	
Chemické složení	$C_{max}$ [%]	$Mn_{max}$ [%]	$P_{max}$ [%]	$S_{max}$ [%]
	0,12	0,6	0,045	0,045
	$Si_{max}$ [%]	$Al_{min}$ [%]	$Ti_{max}$ [%]	$Nb_{max}$ [%]
	0,5	0,015	0,15	0,1

## 1.1 Výrobní možnosti [11], [12], [14], [16], [18], [20]

V prvé řadě je důležité zmínit, že se nejedná o nově navrženou součást, ale o součást již delší dobu vyráběnou. Smysl práce tedy spočívá v nalezení alternativy k současnému postupu výroby. Při prvním pohledu na součást lze usoudit, že vhodnou technologií je právě tváření za studena. Prvním krokem je však zhotovení rozvinutého tvaru součásti (obr. 3). Zde je na výběr hned několik možností v rámci konvenčních i nekonvenčních technologií dělení materiálu. Volba vhodné technologie je omezena především vybaveností podniku. Výroba bude probíhat za pomoci současného strojního vybavení, a proto je vhodné uvažovat s dostupnými možnostmi daného podniku. Nastane-li nutnost použití některé speciální technologie, která není součástí výrobního zařízení podniku, pak je vhodným řešením výroba v kooperaci s jinou firmou. Níže jsou popsány varianty výroby polotovaru a hotového výrobku včetně současného postupu.



Obr. 3 Rozvinutý tvar

V současnosti začíná výroba polotovaru dělením plechu laserovým paprskem. Dílce se dále ohýbají v nástroji na ohraňovacím lisu až do konečného tvaru. Postup zahrnuje mezioperační přepravu mezi pracovištěm řezání a pracovištěm ohýbání. Na ohraňovacím lisu je postupně provedeno šest ohybů na úhel 90°. Malé rozměry součásti komplikují práci obsluze.

Výroba zadané součásti lze tedy rozdělit na dvě základní operace. První operací vzniká tvarový přístřih (obr. 3) z polotovaru ve formě plechové tabule nebo svitku. Druhou operací dochází ke zhotovení ohýbané součásti z rozvinutého tvaru. Rozvinutý tvar lze zhotovit použitím koncentrovaného zdroje energie nebo některou z mnoha technologií stříhání. Konečný tvar je možné vytvořit ohnutím v nástroji na ohraňovacím lisu nebo ohýbáním v jednoúčelovém nástroji na lisu hydraulickém nebo klikovém. Celou součást by bylo možné zhotovit při sloučení obou operací stříhání a ohýbání do jednoho nástroje. Součást by tak byla vyrobena ve sdruženém postupovém nástroji upnutém v klikovém lisu. V několika operacích by z pásu plechu vznikl hotový výrobek.

- Řezání laserovým paprskem [11], [12]  
Princip laseru spočívá ve stimulované emisi fotonů v aktivním prostředí. Paprsek se zesiluje soustavou nepropustných a polopropustných zrcadel. Vhodnou optikou je pak usměrněn do místa řezu. Pro laserový paprsek (obr. 4) je charakteristická vysoká hustota energie. Podmínkou pro řezání materiálu je, že difuze tepla z místa řezu je menší než teplo vnesené ohřevem. Na řezání se podílí také řezný plyn, který má dvě hlavní funkce. Proud plynu odvádí natavený kov z místa řezu v případě tavného řezání nebo spaluje odebíraný materiál v případě oxidačního řezání. Zároveň proud řezného plynu chrání optiku přístroje před rozstříkáním kovu.



Obr. 4 Řezání laserem [13]

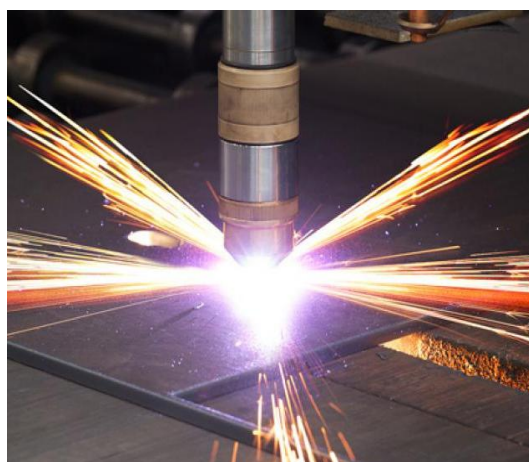
Pevnolátkový laser Nd:YAG pracuje s velice úzkým paprskem monochromatického světla o vlnové délce 1,064  $\mu\text{m}$ . Aktivním prostředím je pevná látka ve formě krystalu (Y3Al5O12). Paprsek vzniká optickým buzením polovodičovými diodami.

CO2 laser vytváří paprsek monochromatického světla o vlnové délce 10,6  $\mu\text{m}$ . Aktivní prostředí je plynného charakteru (CO2+N2+He). K buzení laserového paprsku dochází průchodem elektrického proudu měděnými elektrodami.

Výhodami řezání laserem jsou vysoká řezná rychlost, vysoká přesnost a kolmý řez za vzniku úzké řezné spáry. Díky dostatečné kvalitě řezné plochy odpadají dokončovací operace. Nevýhodou je tepelné ovlivnění okolí řezu. Laserový paprsek je vhodný pro řezání konstrukční oceli do tloušťky 25 mm. Propal lze provést v ploše materiálu. Při řezání ostrých tvarů hrozí natavení jejich hran.

- Řezání proudem plazmatu [14]

Další metodou vhodnou k dělení kovových materiálů je řezání plazmatem (obr. 5). Jedná se o ionizovaný plyn, který je charakteristický svojí vysokou teplotou v řádu desítek tisíc  $^{\circ}\text{C}$ . Proud plazmatu vystupuje z trysky a taví řezaný materiál. Dynamické účinky proudícího plynu odnášejí roztavený kov z místa řezu. Používá se pro kovové elektricky vodivé materiály do tloušťky až 160 mm. Jako řezný plyn slouží dusík, kyslík, argon, vodík nebo helium. K výhodám patří vysoká řezná rychlost a snadná automatizace procesu. Nevýhodou je proti řezání laserem širší řezná spára a velký vývin dýmu doprovázený vysokou hlučností. Propalování otvorů v ploše materiálu je obtížné nad 15 mm tloušťky plechu. Otvory pro začátek řezu je tak nutné předvrtávat. Povrch řezné spáry je méně kvalitní. Horní hrana je zaoblená a ve spodní části dochází k podřezání.



Obr. 5 Řezání plazmatem [15]

- Řezání vodním paprskem [16]

Technologie používající jako zdroj koncentrované energie paprsek vody je vhodná k řezání jak kovových tak nekovových materiálů. Proud vody je přiváděn pod vysokým tlakem do trysky (obr. 6). Tlak se pohybuje v hodnotách mezi 800 – 4100 bar. Pro nekovové a měkké materiály není nutné zlepšovat řezné schopnosti paprsku, protože samotný tlak vody je dostatečně vysoký. Řezání kovových materiálů se však neobejde bez příměsi abraziva do proudu paprsku. Abrazivní prášek obsahuje krystalky granátu, které se do proudu vody přimíchávají vlivem podtlaku ve směšovací komoře. Řezná spára je široká asi 0,8 – 1,5 mm. Výhodou proti laseru a plazmatu je, že nedochází k tepelnému ovlivnění okolí řezu. Nevýhodou je přímý styk řezaného materiálu s vodou, která způsobuje korozi kovových materiálů nebo nasáknutí materiálů porézních.



Obr. 6 Řezání vodním paprskem [17]

- Ohraňování [18]

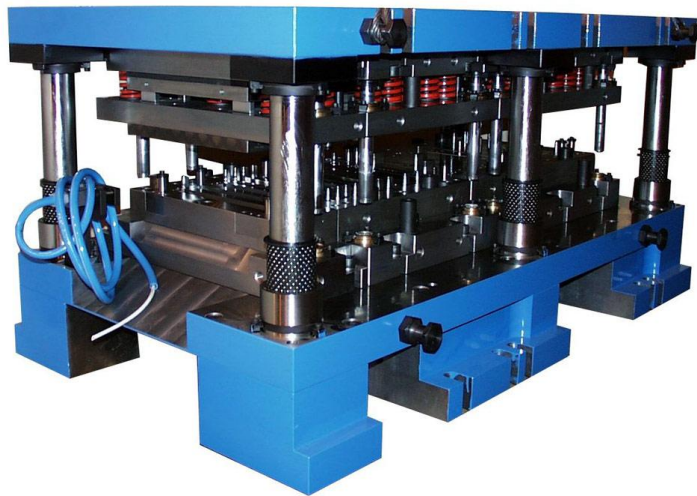
Ohraňovací lis se používá pro zhotovení ohybů na plechovém polotovaru, připraveném např. pálením na laseru. Správnou hloubku založení plechu do lisu určují vnitřní programovatelné dorazy. K ohybu plechu dochází vlivem pohybu horního ohybníku nebo také razníku. Plech se ohýbá razníkem do spodního nástroje zvaného matrice (obr. 7). Razníky i matrice jsou dělené v určité řadě délek lišících se podle výrobce. Nástroje pro ohraňovací lisy Trumpf je možné pořídit v délkách od 25 mm do 500 mm. Tvar funkční části razníku a matrice závisí na požadovaném úhlu ohybu, poloměru ohybu a tloušťce ohýbaného materiálu. Důležitým parametrem při práci na ohraňovacím lisu je hodnota maximálního zatížení nástroje na jeden metr jeho délky. Pohybuje se od 200 kN/m do 2500 kN/m.



Obr. 7 Ohraňování [19]

- Postupový sružený nástroj [20]

Použitím sruženého postupového nástroje (obr. 8) lze sloučit do jednoho procesu přípravu polotovaru a ohýbání finálního tvaru. Jedná se o speciálně navržený jednoúčelový nástroj, který v sobě kombinuje operace stříhání a ohýbání nebo tažení. Do nástroje vstupuje polotovar ve formě svítky nebo pásu plechu dané šířky. Posouvá se krok po kroku, přičemž na něm probíhají postupně všechny operace. Na konci nástroje pak odchází hotový výrobek. Technologie je vhodná pro jednoduché i složité výrobky z plechu. Uplatňuje se především u vysokých výrobních sérií v řádu stovek tisíc kusů ročně. U méně komplikovaných výrobků je možné dosáhnout úspory už od 10 000 kusů ročně.



Obr. 8 Sružený postupový nástroj [21]

Z výše uvedených technologií výroby by bylo možné použít kombinaci dělení koncentrovaným zdrojem energie a následné ohýbání v ohraňovacím lisu nebo ve speciálním ohýbacím nástroji. Pro zadanou sérii je již možné uvažovat o výrobě ve sruženém nástroji, který kombinuje rychlou produkci a jednoduchou obsluhu. Teoretická část práce se tedy zaměří na technologie spojené s výrobou v postupovém nástroji.

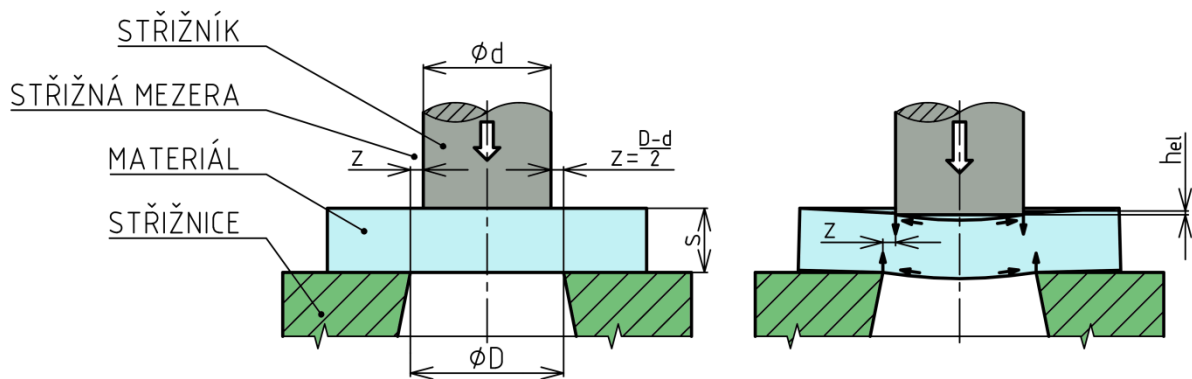
## 2 TECHNOLOGIE STŘÍHÁNÍ A OHÝBÁNÍ

Nástroj pro výrobu zadané součásti v sobě kombinuje dvě základní technologie, jejichž princip bude popsán v následujících podkapitolách. Jedná se o technologie stříhání a ohýbání, které jsou dále popsány základními vztahy. Tyto vztahy jsou použity dále pro výpočet.

### 2.1 Technologie stříhání [1], [2], [20], [22], [23]

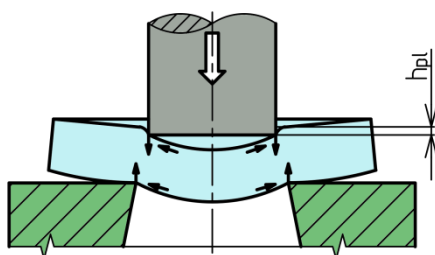
Stříhání se vyznačuje plastickou deformací materiálu, která pokračuje až do porušení. Porušení je v případě stříhání žádoucím procesem na rozdíl od jiných tvářecích operací, u kterých je překročení meze pevnosti nepřijatelné. Používá se pro dělení materiálu dodaného od výrobce, jehož tvar je pro další zpracování nevhodný z hlediska velikosti rozměrů. Zpracovává se tak plošný materiál dodaný ve formě tabulí nebo svitků různých rozměrů. Dále je technologie vhodná pro dělení tyčí kruhového i nekruhového průřezu nebo profilů s různými tvary průřezu.

Postup stříhání lze rozdělit do tří hlavních fází. Fáze stříhání jsou popsány na příkladě, který lze zařadit buď jako vystřihování, kdy uzavřený obrys stříhu tvoří výstřížek nebo jako děrování, kdy obrys stříhu vytváří ve výrobku otvor a výstřížek je potom odpad.



Obr. 9 První fáze stříhu [2]

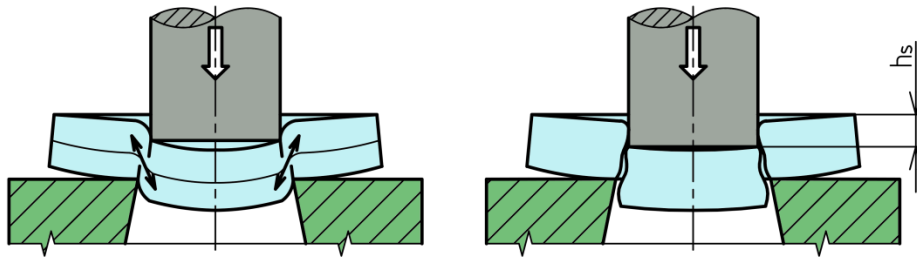
První fáze stříhání (obr. 9) nastává po dosednutí střížníku na povrch plechu. Po dosednutí na povrch je střížník vtláčován do materiálu a vyvolává v něm napětí. Napětí v první fázi je menší než mez kluzu a způsobuje tak pouze elasticou deformaci. Hloubka elastického vniknutí střížníku do materiálu závisí na mechanických vlastnostech stříhaného materiálu a dosahuje  $h_{el} = 5 - 8 \%$  jeho tloušťky. Vlivem střížné mezery mezi střížníkem a otvorem ve střížnici vznikají dvojice sil v rovinách kolmých na střížné plochy. Působením silových dvojic po obvodu střížné mezery se materiál ohýbá. Vytlačení materiálu na straně střížnice a vtažení materiálu na straně střížníku dochází na povrchu výstřížku k tvorbě zaoblení.



Obr. 10 Druhá fáze stříhu [2]

Druhá fáze stříhání nastává, když hodnota napětí ve výstřížku překročí hodnotu meze kluzu pro daný materiál (obr. 10). Hloubka plastického vniknutí závisí opět na mechanických vlastnostech stříhaného materiálu a dosahuje  $h_{pl} = 10 - 25 \%$  jeho tloušťky. V této fázi je deformace trvalá díky plastickému přetvoření. Konec druhé fáze znamená dosažení meze pevnosti ve stříhu.

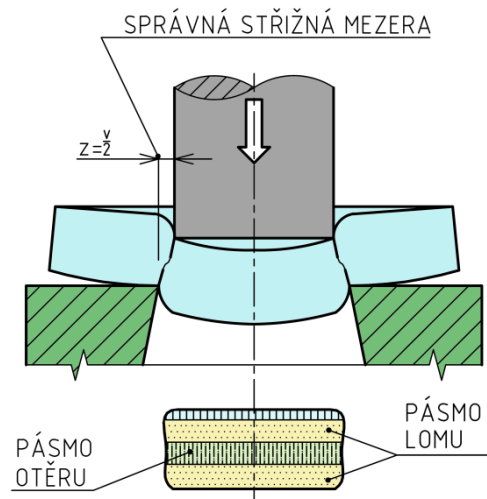
Třetí fáze stříhání nastává v okamžiku, kdy napětí v materiálu dosáhne hodnoty meze pevnosti ve stříhu. Prvotním projevem třetí fáze je tvorba malých trhlinek. K rozvoji trhlinek dochází vlivem tahového normálního napětí ve směru vláken. Počátek třetí fáze se nazývá nástřih (obr. 11 - vlevo). Trhliny se rychle šíří, čímž dochází k oddělení výstřížku od základního materiálu (obr. 11 - vpravo). Rychlost šíření trhlin závisí na mechanických vlastnostech materiálu a průběh postupu trhlin je významně ovlivněn velikostí střížné mezery. K oddělení tvrdého a křehkého materiálu stačí pouze nepatrné vniknutí střížné hrany  $h_s = 10\%$  tloušťky materiálu. Materiál houževnatý a měkký brání rychlému rozvoji trhlin a odolává přestřížení až do hloubky vniknutí střížné hrany  $h_s = 60\%$  tloušťky materiálu.



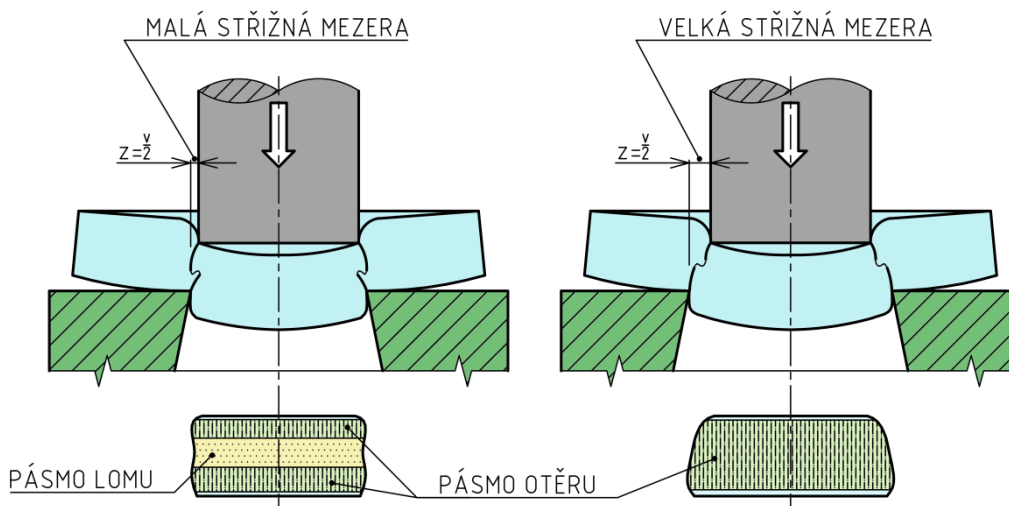
Obr. 11 Třetí fáze stříhu [2]

### 2.1.1 Střížná vůle a plocha [1], [2], [20]

Proces stříhání je zásadním způsobem ovlivněn velikostí střížné vůle. Její vliv se odráží ve velikosti střížné síly, kvalitě střížných ploch, vykonané práci a trvanlivosti funkčních ploch nástroje. Je určena rozdílem mezi rozměrem střížníku a střížnice. Pro její vznik je tedy nutná změna rozměru střížníku nebo střížnice podle požadavků na výsledný tvar. Pokud je požadován přesný vnější rozměr výstřížku, pak vzniká střížná vůle zmenšením rozměru střížníku. Požaduje-li se přesný rozměr otvoru při vystřihování, pak rozměr střížníku zůstává nezměněn a střížná vůle tedy vzniká zvětšením rozměru střížnice. Vhodně zvolená střížná vůle (obr. 12) má za následek to, že se trhliny šířící se od hrany střížníku a střížnice ve třetí fázi stříhu setkají. Výsledkem je pak správně usmýknutá střížná plocha. Snižováním velikosti střížné vůle může být dosaženo vyšší jakosti střížné plochy při nežádoucím zvýšení střížné síly. Malá nebo velká střížná vůle způsobí šíření trhlin, které se uprostřed nesetkají a komplikují tak průběh vzniku nové plochy na výstřížku. Oba případy jsou doprovázeny charakteristickým vzhledem střížné plochy (obr. 13). Pásmo otěru se přemísťuje na okraje střížné plochy u malé střížné vůle. V případě velké střížné vůle pokrývá pásmo otěru téměř celou plochu stříhu. Rozložení střížné vůle by mělo být po obvodu čáry stříhu rovnoměrné. Není-li tomu tak, vznikají povrchové vady a ostřiny, které snižují kvalitu plochy. Vznik ostřin zároveň souvisí s otupením střížné hrany. Otupení střížníku způsobuje vznik ostřin na obvodu vystřížené součásti. Otupení střížnice při děrování způsobuje vznik ostřiny na obvodu děrovaného otvoru. Otupení obou střížných hran pak způsobí kombinaci předešlých případů.



Obr. 12 Vhodná střížná mezera [2]



Obr. 13 Nevhodná střižná mezera [2]

Volba velikosti střižné vůle závisí na druhu materiálu a jeho tloušťce může být zvolena podle tabulek. Výběr probíhá podle druhu materiálu a stanoví se v procentech jeho tloušťky podle hodnot v tab. 2.

Tab. 2 Velikost střižné vůle [20]

Materiál	Střižná vůle [% tloušťky materiálu]	
	do 2,5 mm	2,5 ÷ 6 mm
ocel měkká	5	7 ÷ 8
ocel středně tvrdá	6	6 ÷ 8
ocel tvrdá	7 ÷ 9	7 ÷ 10

Tabulkové hodnoty jsou přibližné a proto je možné velikost střižné vůle stanovit také výpočtem.

Výpočet střižné vůle:

$$v_s = 2 \cdot z \text{ [mm]} \quad (2.1)$$

kde:  $z$  [mm] – střižná mezera

Výpočet střižné mezery pro plechy kde  $s \leq 3$  mm

$$z = 0,32 \cdot c \cdot s \cdot \sqrt{\tau_s} \text{ [mm]} \quad (2.2)$$

Výpočet střižné mezery pro plechy kde  $s \geq 3$  mm

$$z = 0,32 \cdot (1,5 \cdot c \cdot s - 0,15) \cdot \sqrt{\tau_s} \text{ [mm]} \quad (2.3)$$

kde:  $s$  [mm] – tloušťka stříhaného materiálu

$\tau_s$  [MPa] – střižný odpor

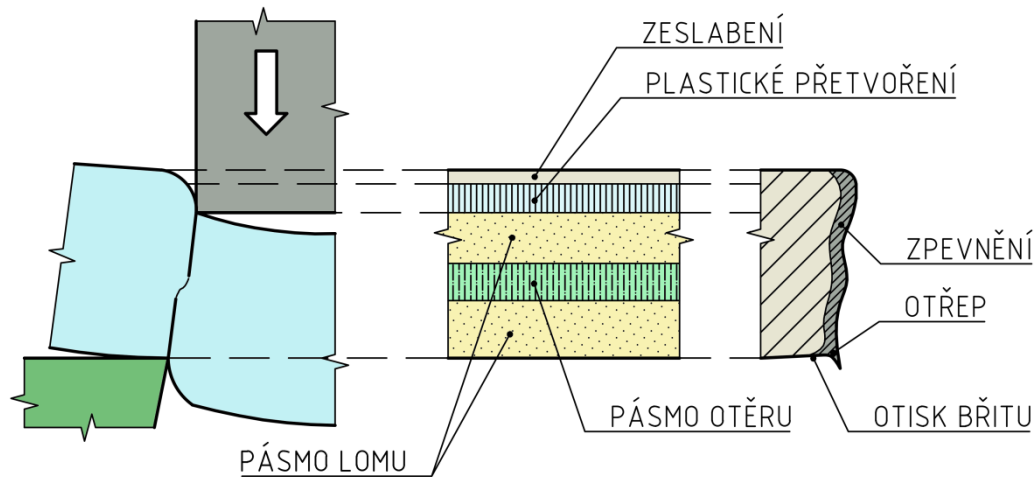
$c$  [-] (0,005 ÷ 0,035) – součinitel závislý na stupni stříhu

Nižší hodnoty součinitele se volí pro dosažení vyšší kvality střižné plochy. Vyšší hodnoty součinitele se volí pro dosažení nižší střižné síly, při zhoršení kvality střižné plochy.

Velikost střižné vůle tedy přímo ovlivňuje kvalitu střižné plochy neboli povrchu stříhu. Při běžných metodách stříhání není dosahováno zvláštní kvality této nově vzniklé plochy. Její povrch je drsný a zkosený pod určitým úhlem. Na spodní straně vzniká ostřina, která je často pro funkci stříhané součásti nežádoucí a musí být v navazujících operacích odstraněna. Běžně



dosahovaná hodnota drsnosti  $R_a$  leží v intervalu mezi  $3,2 \div 6,3$ . Na obr. 14 jsou znázorněny dílčí oblasti, ze kterých se střížná plocha skládá. Zatlacením nástroje do materiálu vzniká na horní hraně výstřížku zaoblení viditelné v řezu, které se při pohledu na střížnou plochu projevuje zeslabením materiálu. Probíhající plastická deformace za sebou zanechává pásmo plastického přetvoření. Zbytek plochy tvoří pásmo vzniklé utržením materiálu, které se skládá z pásem lomu a pásma otěru. Na spodní straně, v místě kontaktu materiálu a nástroje, dochází k otisknutí bříty.



Obr. 14 Střížná plocha při normální vůli [2]

Kvalita střížné plochy kromě velikosti střížné mezery závisí také na vlastnostech stříhaného materiálu, konstrukci nástroje, kvalitě povrchu střížných hran, geometrickém tvaru stříhu a rychlosti pohybu nástroje. Zpevnění nastává v důsledku plastické deformace materiálu v okolí střížné plochy. Odpor proti pokračující plastické deformaci narůstá a mechanické vlastnosti se v této oblasti mění. Změna vlastností je jevem nežádoucím, protože dochází ke zvýšení meze kluzu a snížení tažnosti v blízkém okolí střížné plochy. Obvykle dosahuje šířka zpevněné vrstvy  $20 \div 30\%$  tloušťky materiálu. Pokles plasticity může v následujících tvářecích operacích způsobit vznik trhlin v této zpevněné vrstvě. Její šířku ovlivňuje také rychlost pohybu nástroje. Vysoká rychlost stříhání zanechává užší zpevněnou vrstvu než nízká rychlost. Zpevnění lze odstranit obrobením plochy nebo žíháním polotovaru.

### 2.1.2 Střížné síly [1], [2], [20], [22]

V procesu stříhání je možné popsat několik druhů sil. Jednou z nejdůležitějších sil je síla střížná. Její vyjádření závisí na střížném odporu zvaném též pevnost ve stříhu nebo deformační odpor ve stříhu. Střížný odpor závisí na podmínkách jako rychlost stříhání, velikost tření, stav střížných hran a především mechanické vlastnosti stříhaného materiálu. Střížný odpor se zvyšuje s rostoucí hodnotou pevnosti a s klesající tvárností. Pokles střížného odporu nastává s rostoucí tloušťkou materiálu a rostoucí velikostí a pravidelností křivky stříhu. Vyšší rychlost stříhání má za důsledek nárůst střížného odporu. Snížení tření například použitím mazání má za důsledek naopak jeho pokles. Velikost střížného odporu lze přibližně určit násobkem meze pevnosti a pohybuje se u různých materiálů mezi  $0,55 \div 0,90 R_m$ . Obecně lze určit ze vzorce.

Výpočet střížného odporu:

$$\tau_s = \frac{F_s}{S_s} \text{ [MPa]} \quad (2.4)$$

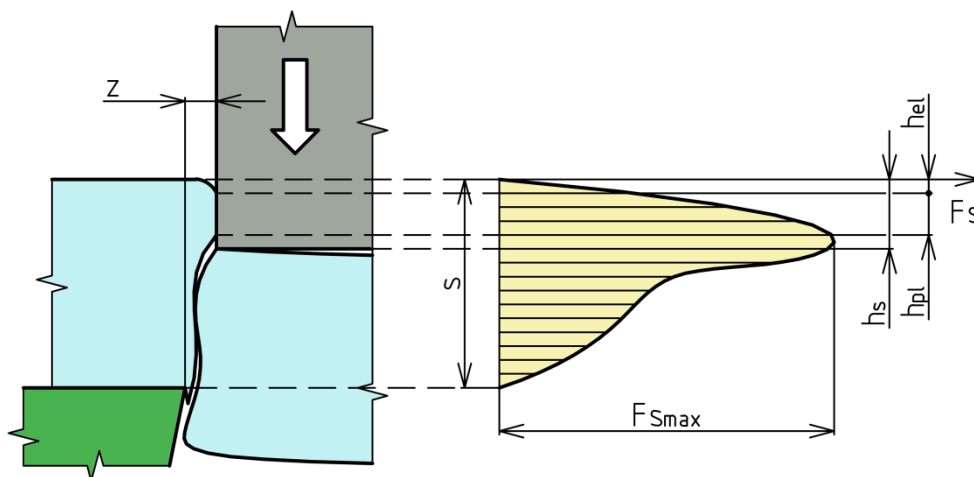
kde:  $F_s$  [N] – střížná síla  
 $S_s$  [mm<sup>2</sup>] – plocha stříhu

Běžná hodnota střížného odporu používaná pro výpočty:

$$\tau_s = 0,8 \cdot R_m \text{ [MPa]} \quad (2.5)$$

kde:  $R_m$  [MPa] – mez pevnosti v tahu

Znalost velikosti střížné síly není důležitá jen pro konstrukci nástroje, ale také při výběru vhodného tvářecího stroje. Pokud by totiž střížná síla přesahovala možnosti daného lisu především pak jeho jmenovitou sílu, mohlo by dojít k jeho poškození. Průběh střížné síly v závislosti na dráze nástroje je znázorněn na obr. 15.



Obr. 15 Průběh střížné síly [2]

Výpočet střížné síly:

$$F_s = n_o \cdot S_s \cdot \tau_s = n_o \cdot l_s \cdot s \cdot \tau_s \text{ [N]} \quad (2.6)$$

kde:  $l_s$  [mm] – délka křivky stříhu

$n_o$  [-] (1,1 ÷ 1,3) – součinitel otupení břitu

Při stříhu se spotřebovává určité množství práce, která se nazývá práce střížná a závisí na střížné síle a hloubce zatlačení střížníku do materiálu. Střížnou práci ohraničuje křivka na obr. 15 a je dána plochou pod touto křivkou zvýrazněnou barevně.

Výpočet střížné práce:

$$A_s = k_a \cdot F_s \cdot s \text{ [J]} \quad (2.7)$$

kde:  $k_a$  [-] – součinitel hloubky vtláčení dle tab. 3

Tab. 3 Součinitel hloubky vtláčení [20]

Materiál	Tloušťka materiálu $s$ [mm]			
	do 1	1 ÷ 2	2 ÷ 4	nad 4
Ocel (250 ÷ 350 MPa)	0,70 ÷ 0,65	0,65 ÷ 0,60	0,60 ÷ 0,50	0,45 ÷ 0,35
Ocel (350 ÷ 500 MPa)	0,60 ÷ 0,55	0,55 ÷ 0,50	0,50 ÷ 0,42	0,40
Ocel (500 ÷ 700 MPa)	0,45 ÷ 0,42	0,42 ÷ 0,38	0,38 ÷ 0,33	0,30 ÷ 0,20
Hliník, měď (žíhané)	0,75 ÷ 0,70	0,70 ÷ 0,65	0,65 ÷ 0,55	0,50

Další síly, které se účastní procesu stříhání a je tedy vhodné uvést jejich výpočet, jsou síly stírací a protlačovací. Materiál vlivem pružnosti ulpívá při stříhání na vnějším obvodu střížníku a je tedy zapotřebí vyvinout stírací sílu, která zajistí jeho odstranění ze střížníku.

Velikost stírací síly závisí na druhu materiálu, velikosti střížní vůle, způsobu mazání a tloušťce materiálu.

Výpočet stírací síly:

$$F_{st} = c_1 \cdot F_s \text{ [N]} \quad (2.8)$$

kde:  $c_1$  [-] – součinitel stírání dle tab. 4

Hodnota součinitele  $c_1$  se volí nižší v případě, kdy je použit jednodušší střížník jednotlivě. Pro výpočet stírací síly v případě stříhání více střížníky se volí hodnota součinitele  $c_1$  spíše vyšší. Obzvláště v případech kdy jsou střížníky umístěny blízko sebe nebo je jejich tvar složitý. Dále je také nutné protlačit výstřížek nebo odpad otvorem ve střížnici. To vyžaduje vyvolání síly protlačovací, která je podobného charakteru jako síla stírací.

Výpočet protlačovací síly:

$$F_{pr} = c_2 \cdot F_s \text{ [N]} \quad (2.9)$$

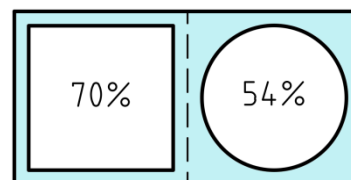
kde:  $c_2$  [-] – součinitel protlačování dle tab. 4

Tab. 4 Hodnoty součinitele stírání a protlačování [20], [22]

Materiál	$c_1$	$c_2$
Ocel do 1 mm	0,02 ÷ 0,12	0,05 ÷ 0,08
Ocel 1 ÷ 5 mm	0,06 ÷ 0,16	0,05 ÷ 0,08
Ocel nad 5 mm	0,08 ÷ 0,20	0,05 ÷ 0,08
Mosaz	0,06 ÷ 0,07	0,04
Slitiny hliníku	0,09	0,02 ÷ 0,04

### 2.1.3 Technologičnost výstřížku [1], [2], [20], [22], [23]

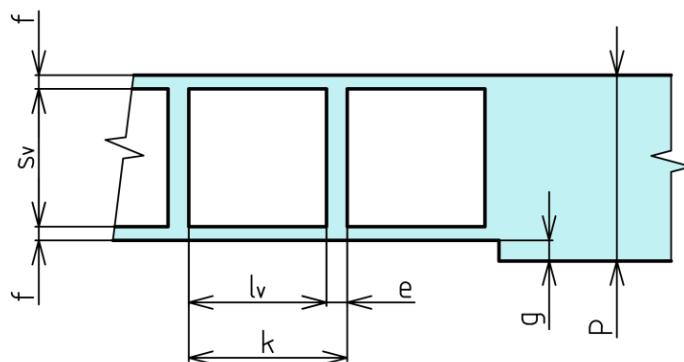
Obecně se uvádí, že plechový díl má být zhotoven z vhodného materiálu. Jeho rozměry a tvar by měli zaručit výrobu při nízkých nákladech v jednoduchém nástroji a krátkém čase, při dodržení všech technických požadavků kladených na součást. Faktory mající vliv na технологиčnost výroby jsou velikost výrobní série, strojní vybavení podniku, omezení střížného procesu, zkušenost pracovníků konstrukce i výroby a další. Snižování množství potřebného materiálu závisí také na zvyšování procenta využití plechu. Z hlediska spotřeby materiálu je výhodnější navržení výstřížku ve tvaru rovnoběžníku místo kruhu. Představu o využití materiálu obou variant dává obr. 16.



Obr. 16 Využitá plocha

#### ▪ Nástřihový plán

Uspořádání výstřížků na pásu plechu má zásadní vliv na spotřebu materiálu. Pro jednoduché tvary výstřížků je možné stříhat bez mezery mezi jednotlivými díly a spotřeba materiálu je tak nižší. Pro dosažení dobré kvality výstřížků při postupovém stříhání je vhodné zachovat danou šířku mezer mezi výstřížky vzájemně a mezi výstřížky a okraji. Šířka zvolené mezery má vliv při výpočtu délky kroku v postupovém střížném nástroji (obr. 17).



Obr. 17 Nástřihový plán [20]

Výpočet délky kroku:

$$k = l_{vs} + e \text{ [mm]} \quad (2.10)$$

kde:  $l_{vs}$  [mm] – délka výstřížku  
 $e$  [mm] – velikost můstku

Výpočet šířky pásu:

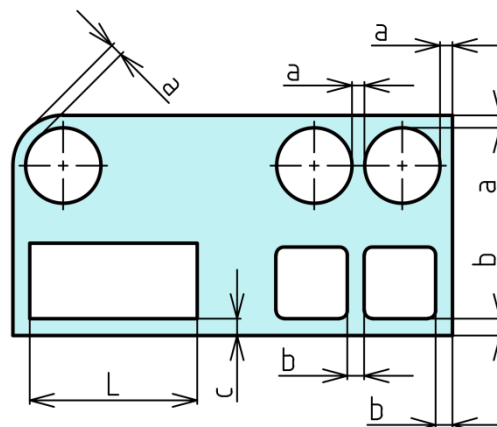
$$P = s_v + 2 \cdot f + g \text{ [mm]} \quad (2.11)$$

kde:  $s_v$  [mm] – šířka výstřížku  
 $f$  [mm] – šířka okraje  
 $g$  [mm] – okraj po ostřížení



Obr. 18 Uspořádání výstřížků [23]

Výstřížky na pásu plechu jsou uspořádány tak, aby bylo využití materiálu co nejlepší. Jako základní typy uspořádání výstřížků (obr. 18) lze použít přímé uspořádání pro součásti jednoduchých pravoúhlých tvarů. Pro složitější tvary a výstřížky tvaru písmene L je vhodné uspořádání nakloněné. Střídavé uspořádání je použito pro součásti tvaru písmene T a pro složitější součásti. Dále je možné vybrané typy uspořádání rozvíjet, tak aby bylo možné vyrábět například více stejných kusů v jednom kroku.



Obr. 19 Vzdálenosti otvorů [20]

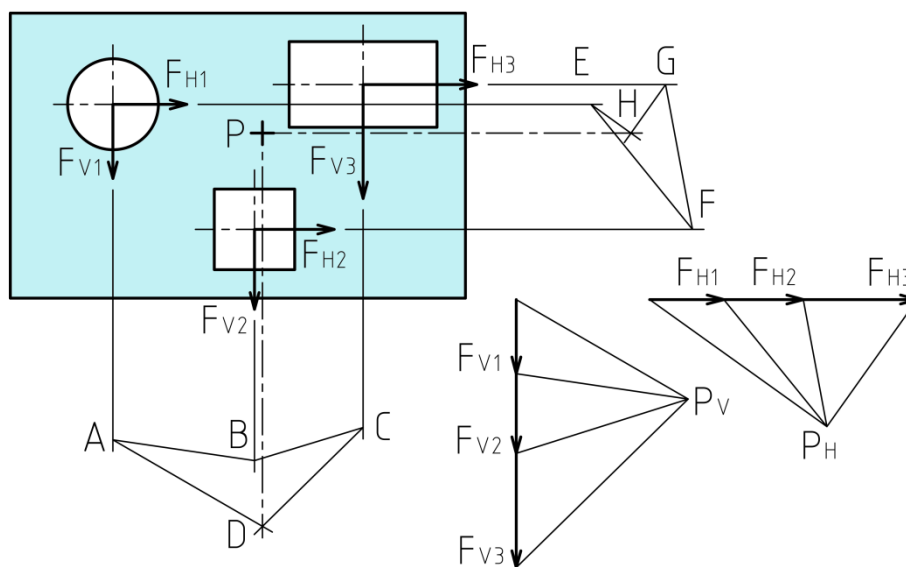
Množství spotřebovaného materiálu má se zvyšujícím se počtem kusů výrobní série rostoucí vliv na celkové náklady výroby. Ve velkosériové výrobě tvoří náklady na materiál až 80% nákladů celkových. Při tvorbě nástřihového plánu je nutné počítat se zásadami pro umístění otvorů. Doporučuje se zachovat minimální vzdálenosti mezi otvory případně vzdálenosti otvorů od okraje výstřížku (obr. 19 a tab. 5).

Tab. 5 Vzdálenosti otvorů [20]

Tloušťka plechu [mm]	Rozměr a [mm]	Rozměr b [mm]	Rozměr c [mm]			
			Pro šířku otvoru L [mm]			
			5 ÷ 50	50 ÷ 100	100 ÷ 200	nad 200
do 1,0	1,5	2,5	3	8	13	20
1,0 ÷ 1,6	2,4	3,2	4,5	8	13	20
1,6 ÷ 2,0	3	4	6	10	14	25

▪ Těžiště střížných sil

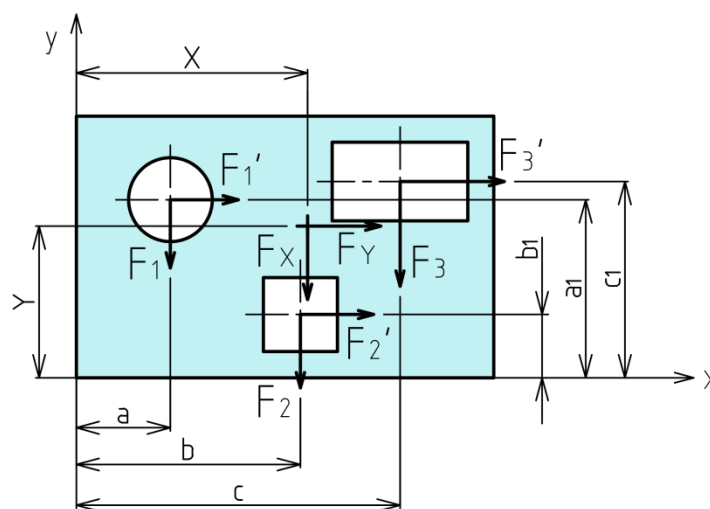
Postupový střížný nástroj používá více střížníků současně. Působíště střížných sil tedy není na první pohled zřejmé a je nutné jej vypočítat. Do působíště střížných sil se umísťuje stopka nástroje a prochází jím také osa beranu lisu. Při nevhodném umístění stopky mimo osu vznikají klopné momenty, které namáhají celou soustavu. Dochází k opotřebení nástroje i tvářecího stroje. Snižuje se přesnost výstřížku a kvalita střížné plochy. Pro výpočet působíště výslednice střížných sil je možné použít grafické řešení (obr. 20).



Obr. 20 Těžiště střížných sil graficky [23]

Postup spočívá ve vykreslení půdorysu nástroje, do kterého se v místech působíšť jednotlivých sil nanesou horizontální a vertikální složky daných sil ve vhodném měřítku. Dále je vhodně zvolen pól  $P_V$ , který je následně propojen s vertikálními složkami sil seřazenými pod sebou. Spojnice tvoří pólový obrazec. Na prodloužené směry působících sil se nanesou postupně rovnoběžky s čarami z pólového obrazce. Průnikem první a poslední rovnoběžky z pólového obrazce dostáváme bod D, kterým prochází vertikální výslednice sil. Obdobně se pokračuje v hledání výslednice horizontální. Průnikem obou výslednic je působíště P.

Druhým způsobem zjištění těžiště střížných sil je metoda početní. Metoda vychází z podmínky rovnováhy momentů mezi jednotlivými silami a silou celkovou ke zvoleným osám x a y (obr. 21).



Obr. 21 Těžiště střížných sil matematicky [23]

Vzorce pro výpočet těžiště střížných sil:

$$F_x \cdot X = F_1 \cdot a + F_2 \cdot b + F_3 \cdot c \quad (2.12)$$

kde:  $F_x = F_1 + F_2 + F_3$  [N] – jednotlivé síly

$X, a, b, c$  [mm] – jejich ramena

$$F_y \cdot Y = F_1' \cdot a_1 + F_2' \cdot b_1 + F_3' \cdot c_1 \quad (2.13)$$

kde:  $F_y = F_1' + F_2' + F_3'$  [N] – jednotlivé síly

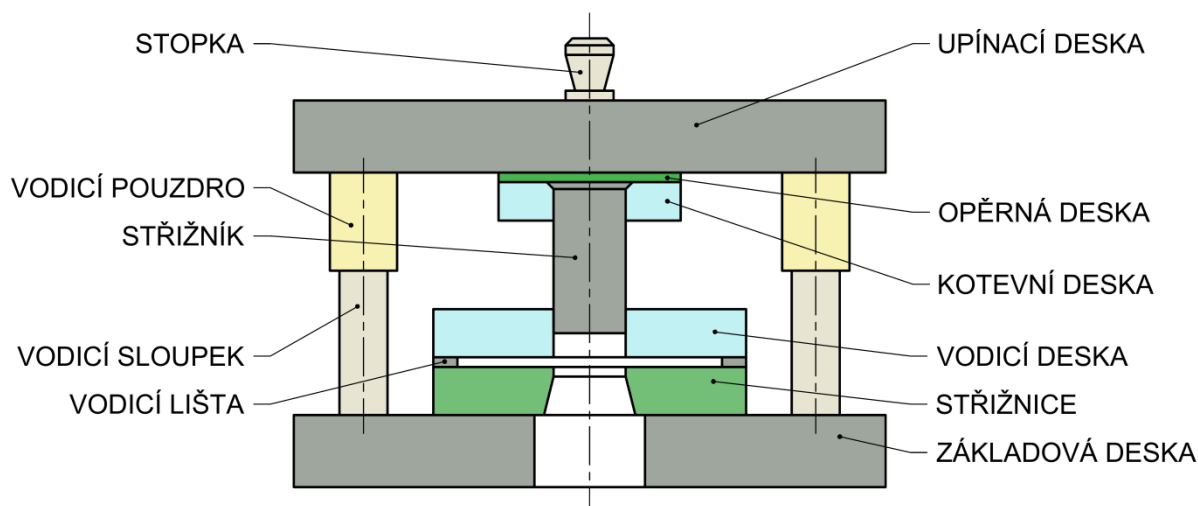
$Y, a_1, b_1, c_1$  [mm] – jejich ramena

$$X = \frac{F_1 \cdot a + F_2 \cdot b + F_3 \cdot c}{F_1 + F_2 + F_3} \quad (2.14)$$

$$Y = \frac{F_1' \cdot a_1 + F_2' \cdot b_1 + F_3' \cdot c_1}{F_1' + F_2' + F_3'} \quad (2.15)$$

#### 2.1.4 Střížné nástroje [20], [23], [24], [25]

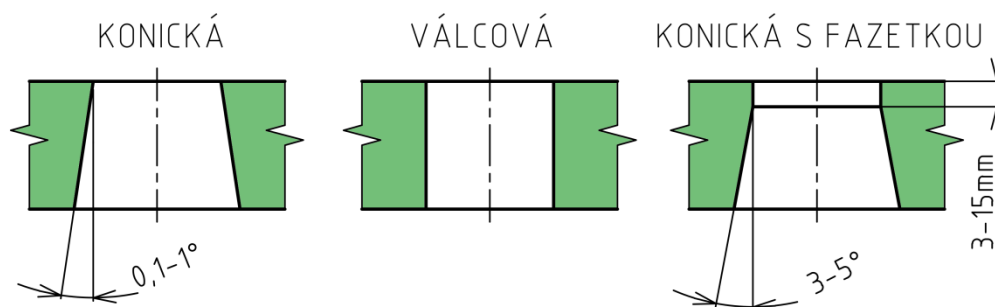
Nástroje pro výrobu výstřížků lze rozdělit do několika skupin podle požadavků kladených na výsledný produkt. Pro výstřížky jednoduchých tvarů bez speciálních požadavků na jejich přesnost se používají jednoduché střížné nástroje s vedením nebo bez vedení. Pro složitější výstřížky s tolerovanými rozměry vyráběné ve více krocích se používají nástroje postupové. V případě kombinace technologií stříhání a ohýbání v jednom nástroji je zapotřebí zvolit nástroj sdružený. Základními prvky střížných nástrojů jsou činné části, kterými jsou myšleny střížníky a střížnice. Neméně důležité je však zajištění jejich vzájemné pozice vůči sobě. To zajišťuje vodící deska nebo vodící sloupky (obr. 22). Upnutí nástroje k horní části klikového lisu je realizováno pomocí normalizované upínací stopky. Spodní část nástroje je upnuta přímo přes základovou desku upínkami.



Obr. 22 Střížný nástroj s vedením [25]

#### ▪ Střížnice

Činná část nástroje, která se nachází v jeho spodní části, se nazývá střížnice. Může být upevněna přímo na základové desce. Pro součásti jednodušších tvarů je vhodná střížnice celistvá, vyrobená z jednoho kusu materiálu. Střížnice skládaná je vhodná pro složitější tvary výstřížků. Je složena z více kusů, které jsou upnuty v nekalené desce nebo přímo na základové desce.



Obr. 23 Vnitřní geometrie střížnice [25]

Vnitřní geometrie střížnice může být válcová u kruhových otvorů nebo u obecných tvarů s kolmou stěnou. Používá se u přesného stříhání s nátláčnou hranou nebo za použití vyhazovače (obr. 23). Dalším příkladem je tvar konický nebo zkosený pro stříhání součástí malých rozměrů a střední přesnosti. Při přebroušování se však zvětšuje její průměr. Pro přesné tvarově složité součásti je určena střížnice tvaru konického s fazetkou. Díky fazetce lze střížnici opakovaně přebroušovat bez změny rozměru. Nevýhodou může být proti ryze konickému tvaru vyšší hodnota protlačovací síly. Tloušťka střížnice se obvykle pohybuje mezi 18 a 30 mm. Její hodnotu lze předběžně odhadnout ze vzorce.

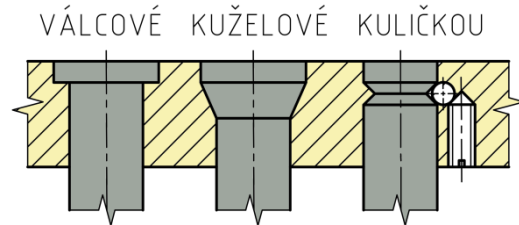
Odhad tloušťky střížnice:

$$H = \sqrt[3]{0,1 \cdot F_{s \max}} \text{ [mm]} \quad (2.16)$$

kde:  $F_s$  [N] – střížná síla

- Střižník

Součástí nástroje, která se účastní střižného procesu, je střižník. Jedná se o protikus střižnice, do které vniká se střižnou vůlí. K uchycení střižníků v horní části nástroje se používá kotevní deska, která je opatřena otvory pro umístění střižníků a brání jejich vytažení stírací silou. Otvory v kotevní desce jsou zhotoveny podle jednotlivých druhů střižníků. Ukotvení střižníků lze docílit kuželovou nebo válcovou hlavou (obr. 24). Složitější střižníky je možné ukotvit zalitím do pryskyřice. Střižníky jednoduchých tvarů se kotví šroubem, kuličkou nebo roznyťováním. Střižníky nevedené lze umisťovat samostatně bez přítomnosti vodící desky. Vedené střižníky se umisťují společně s vodící deskou, která zvyšuje vzpěrnou stabilitu střižníku. Zvýšení vzpěrné stability lze docílit také zesílením střižníku v horní části. Dále se používají střižníky skládané z více částí, kdy funkční část tvoří kvalitnější materiál. Základním výpočtem pro posouzení střižníku běžné délky je kontrola namáhání v tlaku



Obr. 24 Kotvení střižníku [25]

Namáhání střižníku v tlaku:

$$\sigma_d = \frac{F_s}{S_{st}} [\text{MPa}] \quad (2.17)$$

kde:  $S_{st}$  [mm<sup>2</sup>] – plocha průřezu střižníku

Otlačení střižníku do upínací desky brání opěrná deska, která je kalená na vyšší tvrdost. Její použití je vhodné v případech, kdy je tlak od střižníku vyšší než 50 ÷ 100 MPa. V případě konstrukce dlouhých a štíhlých střižníků lze dosáhnout ztráty vzpěrné stability při zatížení střižnou silou. Tento jev je ale nežádoucí, proto musí být skutečná délka střižníku menší než jeho vypočtená kritická délka.

Kritická délka nevedeného střižníku:

$$l_k = \sqrt{\frac{2 \cdot \pi^2 \cdot E \cdot I}{k_b \cdot F_s}} [\text{mm}] \quad (2.18)$$

kde:  $E$  [MPa] – modul pružnosti v tahu  
 $I$  [mm<sup>4</sup>] – moment setrvačnosti průřezu  
 $k_b$  [-] (1,5 ÷ 2) – koeficient bezpečnosti

Kritická délka vedeného střižníku:

$$l_k = \sqrt{\frac{4 \cdot \pi^2 \cdot E \cdot I}{k_b \cdot F_s}} [\text{mm}] \quad (2.19)$$

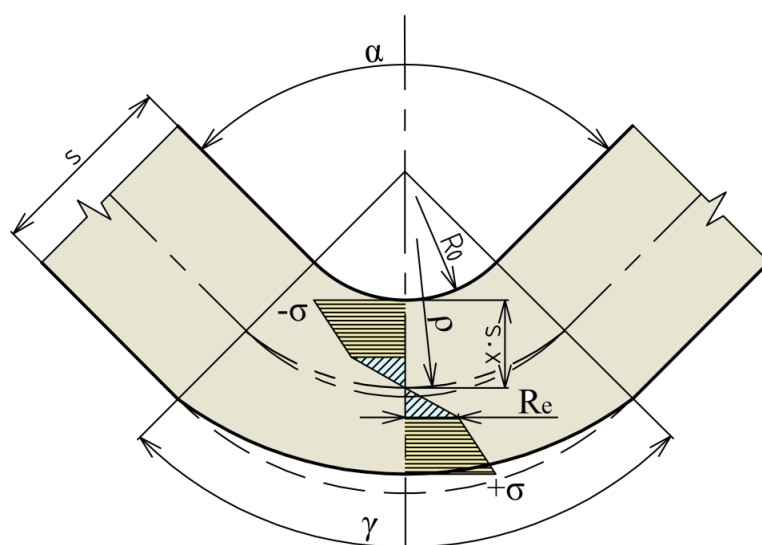


## 2.2 Technologie ohýbání [2], [25], [26], [27], [28], [29], [30]

Při procesu ohýbání dochází k trvalé plastické deformaci tvářeného materiálu působením vnějších sil nebo momentů. Změny tvaru polotovaru se dosahuje bez výrazné změny průřezu, a proto se jedná o tváření plošné. Ohýbání se provádí nejčastěji za studena nebo ve zvláštních případech za tepla. Deformace materiálu při ohýbání přechází přes elastickou oblast do oblasti plastické deformace. Po odtížení nástroje zůstává materiál plasticky deformován, ale elastická deformace se mění na odpružení.

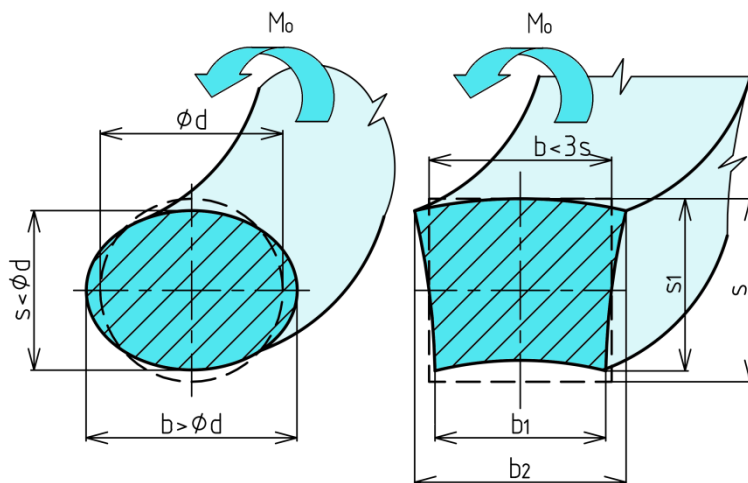
### 2.2.1 Průběh ohýbání [2], [26], [27], [28]

Důsledkem procesu ohýbání je deformace určité části polotovaru, která je vymezena na obr. 25 úhlem ohnutého úseku  $\gamma$ . Ramena navazující na část ohybu se již nedeformují a jejich délka zůstává původní. V místě ohnutého úseku lze pozorovat hned několik dějů. Materiál se v daném úseku ztenčuje a dochází k posunu neutrální vrstvy směrem k vnitřní straně ohybu. Pro dosažení trvalé plastické deformace je nutné překročení hodnoty meze kluzu  $R_e$  v daném materiálu. Vlivem tlakových napětí na vnitřní straně ohybu dochází k trvalé plastické deformaci a stlačení materiálu. Ve středním pásmu průřezu v okolí neutrální vrstvy dosahují napětí nižší hodnoty než meze kluzu. Elastická deformace v okolí neutrální vrstvy je pouze dočasná. Přechodem přes neutrální vrstvu se napětí mění z tlakového na tahové. Vlivem tahového napětí na vnější straně ohybu se materiál prodlužuje a jeho deformace je opět trvalá. Právě na vnější straně ohybu hrozí za určitých podmínek zvýšení tahového napětí nad mez pevnosti v tahu daného materiálu. Následkem je porušení a vznik trhlin. Poloha neutrální vrstvy a kvalita ohybu závisí na tloušťce materiálu  $s$ , poloměru ohybu  $R_0$ , úhlu ohybu  $\alpha$  a mechanických vlastnostech ohýbaného materiálu.



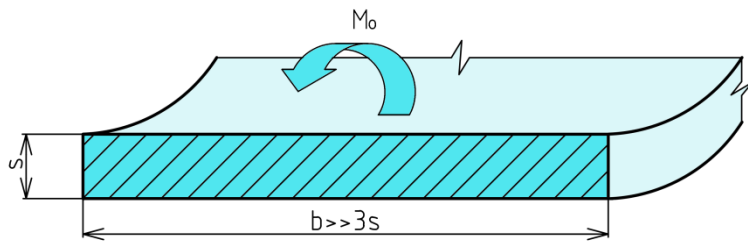
Obr. 25 Schéma ohybu [27]

Průvodním jevem ohýbání může být tedy deformace průřezu polotovaru v místě ohybu. Tvar průřezu se mění vlivem rozložení napětí a deformací po průřezu. Základní rozdíl spočívá v poměru tloušťky průřezu vůči jeho šířce. Podle poměru rozměrů lze rozdělit ohýbání na dvě kategorie a to ohýbání úzkých tyčí a ohýbání širokých pásů. Pro ohýbání tyčí platí předpoklad, že šířka polotovaru je menší než trojnásobek jeho



Obr. 26 Deformace průřezu při ohýbání tyčí [27]

tloušťky (obr. 26). Při ohýbání nastává na vnitřním poloměru tyče jednoosé tlakové napětí a šířka tyče se pod daným namáháním zvětšuje. Naopak na vnějším poloměru ohybu je materiál namáhán jednoosým tahovým napětím a šířka tyče se zmenšuje. Popsanou deformaci lze sledovat na průřezu tvaru čtvercovém nebo obdélníkovém při zachování výše uvedených podmínek poměru stran.



Obr. 27 Ohýbání širokých pásů [27]

Ohýbání kruhových tyčí při malém poloměru ohybu doprovází deformace průřezu na

tvar elipsy. Pro ohýbání širokých pásů platí, že šířka průřezu je často mnohonásobně větší než trojnásobek jeho tloušťky (obr. 27). Přetvoření průřezu je v příčném směru zanedbáno. V krajních vláknech nastává na vnitřním poloměru ohybu rovinná napjatost tlaková a na vnějším poloměru ohybu rovinná napjatost tlaková.

### 2.2.2 Rozvinutý tvar polotovaru [2], [25], [26], [27], [28], [29]

Stanovení rozměrů rozvinutého tvaru polotovaru závisí na poloze neutrální vrstvy. Její vliv na celkovou délku rozvinutého tvaru je často zanedbatelný a ovlivňuje ho tím méně, čím vyšší je poměr poloměru ohybu vůči tloušťce plechu. Její vliv je procentuálně nižší také při velkém poměru délky přímých neohnutých ramen vůči délce oblouku ohybu. Neutrální vrstva rozděluje průřez na část stlačovanou a část prodlužovanou. Při ohýbání polotovaru za malých plastických deformací, kdy je poloměr zaoblení větší, lze předpokládat, že poloha neutrální vrstvy je totožná s vrstvou ležící uprostřed tloušťky materiálu.

Poloměr neutrální vrstvy pro poměr  $r/s \geq 12$

$$\rho = R_0 + \frac{s}{2} \text{ [mm]} \quad (2.20)$$

kde:  $R_0$  [mm] – poloměr ohybu

Poloměr neutrální vrstvy pro poměr  $r/s \leq 6$

$$\rho = \left( R_0 + \frac{s}{2} \right) \cdot z_z \cdot z_r \text{ [mm]} \quad (2.21)$$

kde:  $z_z$  [-] =  $s_1/s$  – součinitel ztenčení

$z_r$  [-] =  $b_1/b$  – součinitel rozšíření průřezu

$s_1$  [mm] – šířka materiálu po ohnutí

$b$  [mm] – šířka materiálu výchozí

$b_1$  [mm] – šířka materiálu po ohnutí

Pro výpočet polohy neutrální vrstvy u ohýbání širokých pásů ( $b \gg 3s$ ) se využívá koeficient vyjadřující posunutí neutrální vrstvy.

Poloměr neutrální vrstvy u širokých pásů

$$\rho = R_0 + x \cdot s \text{ [mm]} \quad (2.22)$$

kde:  $x$  [-] – součinitel ztenčení dle tab. 6

Tab. 6 Hodnoty koeficientu  $x$  [28]

$R_0/s$	0,1	0,25	0,5	1,0	2,0	3	4	5	6
$x$	0,32	0,35	0,38	0,42	0,445	0,47	0,475	0,478	0,48

Poloměr neutrální vrstvy je dále použit pro výpočet délky ohnutého úseku. V praxi se na součásti vyskytuje více ohybů pod stejným nebo různým úhlem. Celková rozvinutá délka je pak součtem délek ohnutých úseků a úseků rovných.

Délka ohnutého úseku

$$l_o = \frac{\pi}{180} \cdot \gamma \cdot \rho = \frac{\pi}{180} \cdot \gamma \cdot (R_0 + x \cdot s) \text{ [mm]} \quad (2.23)$$

kde:  $\gamma$  [°] =  $(180^\circ - \alpha)$  – úhel ohnutého úseku  
 $\alpha$  [°] – úhel ohybu

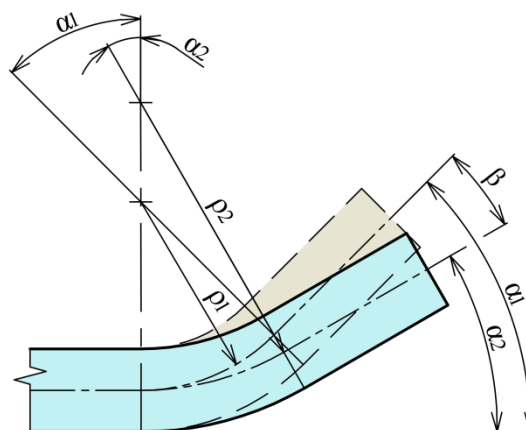
Celková délka rozvinutého tvaru součásti

$$l_c = \sum_{i=1}^n l_i + \sum_{i=1}^{n-1} l_{oi} \text{ [mm]} \quad (2.24)$$

kde:  $l_i$  [mm] – délka rovného úseku  
 $l_{oi}$  [mm] – délka ohnutého úseku

#### ▪ Odpružení

Součástí procesu ohýbání je odpružení, které se projevuje změnou úhlu ohybu po odtížení. Příčinou tohoto jevu je podíl elastické deformace na celkové deformaci materiálu. Elastická deformace se tedy po odtížení projeví odpružením součásti. Velikost úhlu, o který ohýbaná součást odpruží, závisí na mechanických vlastnostech materiálu. Dále úhel odpružení klesá s rostoucí tloušťkou ohýbaného materiálu a zmenšujícím se poloměrem ohybu. Ohnutí součásti o úhel  $\alpha_1$  se po odtížení vlivem uvolnění elastické deformace projeví změnou na úhel  $\alpha_2$  (obr. 28). Rozdíl mezi úhly se nazývá úhel odpružení  $\beta$ . Poloměr ohybu před odtížením  $\rho_1$  se po odpružení zvětší na poloměr  $\rho_2$ .



Obr. 28 Odpružení po ohybu [29]

Pro zjištění úhlu odpružení u různých materiálů je možné využít zpracované diagramy závislosti úhlu odpružení na poměru poloměru ohybu k tloušťce materiálu. Úhel odpružení lze také zjistit výpočtem, při kterém záleží na tvaru ohybu (obr. 29).

Úhel odpružení pro ohyb do tvaru V

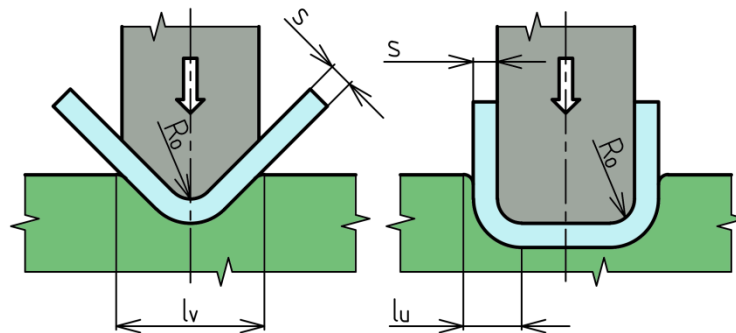
$$\text{tg } \beta = 0,375 \cdot \frac{l_v}{k_o \cdot s} \cdot \frac{R_e}{E} \quad (2.25)$$

kde:  $l_v$  [mm] – vzdálenost mezi opěrami ohybnice  
 $k_o$  [-] – koeficient odpružení dle tab. 7  
 $R_e$  [MPa] – mez kluzu

Úhel odpružení pro ohyb do tvaru U

$$\text{tg } \beta = 0,75 \cdot \frac{l_u}{k_o \cdot s} \cdot \frac{R_e}{E} \quad (2.26)$$

kde:  $l_u$  [mm] – vzdálenost mezi opěrami

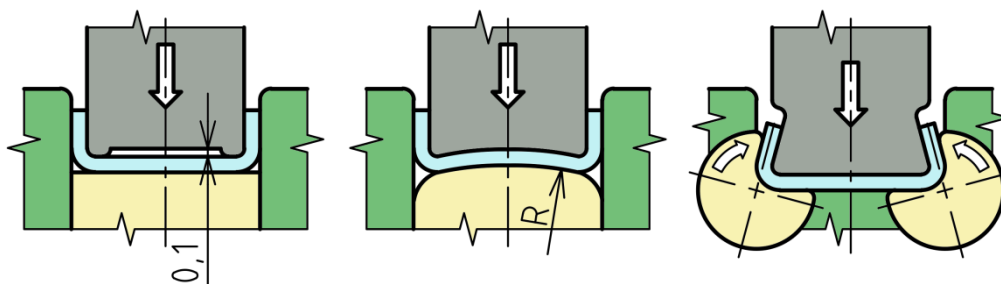


Obr. 29 Ohyb do tvaru V nebo U [28]

Tab. 7 Hodnoty součinitele pro výpočet odpružení [25]

$R_0/s$	0,1	0,25	0,5	1,0	2,0	3	4	5	6
$k_0$	0,68	0,65	0,62	0,58	0,54	0,53	0,52	0,52	0,52

Odpružení je v mnohých případech ohýbání nežádoucí a je nutné provést vhodnou konstrukční úpravu ohýbacího nástroje k jeho omezení nebo úplnému odstranění. Jako základní metodu eliminace odpružení používanou obzvláště při ohýbání na ohraňovacích lisech lze označit ohýbání o úhel, který je zvětšen o předem známou hodnotu odpružení. Dále je možné potlačit odpružení ohýbáním s kalibrací. Při kalibrování se v závěrečné fázi



Obr. 30 Konstrukční úpravy pro eliminaci odpružení [25]

ohybu zvýší ohýbací síla a odpružení od ohybu a rovných částí se vzájemně vyruší. Vhodná konstrukce funkčních částí nástroje vede také k eliminaci nežádoucího odpružení (obr. 30). Vybráním čela ohybníku je dosaženo ztenčení a většího zpevnění materiálu v rozích blízko ohybu. Další konstrukční úpravou je zaoblení čela ohybníku a vyhazovače tak, aby bylo po odtížení vyrovnáno odpružení dna a ramen součásti. Konstrukčně složitější je mechanismus otočných bočních čelistí, které tlakem ohybníku přehnou ramena součásti o úhel odpružení.

▪ **Vůle při ohýbání**

Mezi činnými částmi ohýbadla je nutné vytvořit vhodnou vůli. Jedná se o mezeru mezi pevnou a pohyblivou částí nástroje tedy ohybnicí a ohybníkem. Její velikost odpovídá nejčastěji tloušťce ohýbaného materiálu v případě ohybu do tvaru V. Dosažení správné velikosti vůle je možné seřízením sevření lisu. Pro ohyb do tvaru U se stanoví ohýbací vůle v závislosti na toleranci tloušťky ohýbaného materiálu. Přibližné stanovení ohýbací vůle pro ocel lze určit jako  $1,05 \div 1,15$  násobek tloušťky materiálu.

- Minimální a maximální poloměr ohybu

Ohyb je definován jeho poloměrem, který musí být v rozmezí jeho minimální a maximální vypočtené hodnoty pro daný materiál. Maximální poloměr ohybu je takový poloměr, při kterém dojde v krajních vrstvách ohýbaného materiálu k trvalé plastické deformaci. Pokud by byl poloměr větší než maximální, tak by v žádném místě průřezu nedošlo k překročení meze kluzu a došlo by tak k odpružení do původního tvaru.

Maximální poloměr ohybu

$$R_{\max} = \frac{s}{2} \cdot \left( \frac{E}{R_e} - 1 \right) \cong \frac{s \cdot E}{2 \cdot R_e} \text{ [mm]} \quad (2.27)$$

U malých poloměru ohybu hrozí překročení meze pevnosti v krajních vrstvách materiálu. Minimální poloměr ohybu se tedy navrhuje tak, aby bylo v krajních vrstvách protažení materiálu menší, než je mezní prodloužení. Na jeho velikost má vliv tloušťka materiálu, plastičnost materiálu, kvalita povrchu, úhel ohybu a šířka ohýbaného polotovaru.

Minimální poloměr ohybu

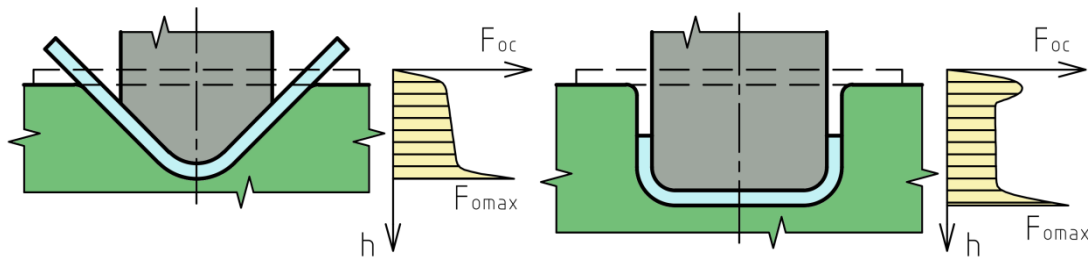
$$R_{\min} = \frac{s}{2} \cdot \left( \frac{1}{\varepsilon_{\max}} - 1 \right) = c_m \cdot s \text{ [mm]} \quad (2.28)$$

kde:  $\varepsilon_{\max}$  [-] – mezní prodloužení v krajních vláknech

$c_m$  [-] – součinitel vlivu materiálu pro měkkou ocel = 0,5 ÷ 0,6

### 2.2.3 Ohýbací síla a práce [2], [25], [26], [27], [28]

Stanovení ohýbací síly je rozdílné pro ohyb do tvaru V a tvaru U. Rozdílný je u obou způsobů i průběh ohýbací síly (obr. 31). Velikost ohýbací síly v závislosti na dráze nástroje je znázorněna v grafu vedle příslušného typu ohybu. V případě ohybu do tvaru V dochází z počátku k rychlému nárůstu síly a poté pokračuje plastická deformace. Probíhá-li ohýbání s kalibrací, pak ke konci dráhy dochází k výraznému nárůstu ohýbací síly. Průběh síly při ohýbání do tvaru U je podobný, jako do V. Pokles síly ve střední části je následován opět výrazným nárůstem síly z důvodu kalibrace.



Obr. 31 Průběh ohýbací síly [27]

Pro zjednodušené určení ohýbací síly při ohýbání do pravého úhlu a poloměru ohybu 0,8 ÷ 3 násobek tloušťky materiálu lze použít následující vztah

Ohýbací síla pro V ohyb

$$F_o = \frac{1,2 \cdot R_m \cdot b \cdot s^2}{l_v} \text{ [N]} \quad (2.29)$$

Ohýbací síla pro V ohyb podle Oehlera

$$F_o = \frac{C \cdot R_m \cdot b \cdot s^2}{l_v} \text{ [N]} \quad (2.30)$$

kde: C [-] – součinitel geometrie ohybu

$$C = 1 + \frac{4 \cdot s}{l_v}$$

Ohýbací síla pro U ohyb

$$F_o = \frac{R_m \cdot b \cdot s^2}{2} \text{ [N]} \quad (2.31)$$

Výslednou ohýbací sílu dále ovlivňují faktory jako tření materiálu o funkční části ohýbadla, nebo zvýšení ohýbací síly na konci dráhy nástroje vlivem síly potřebné pro kalibrování ohybu. Při použití přidržovače obzvláště v případě ohybu do tvaru U je celková ohýbací síla zvýšena o odpor přidržovače.

Kalibrační síla

$$F_k = (1 \div 1,75) \cdot F_o \text{ [N]} \quad (2.32)$$

Přidržovací síla

$$F_p = (0,25 \div 0,33) \cdot F_o \text{ [N]} \quad (2.33)$$

Celková ohýbací síla

$$F_{oc} = F_o + F_k + F_p \text{ [N]} \quad (2.34)$$

Pro zjednodušení se většinou celková ohýbací síla volí jako dvojnásobek síly vypočtené. Poté není nutné uvažovat s výpočtem síly kalibrační a přidržovací, jelikož tyto síly jsou již započteny. Celková práce ohýbání závisí na celkové ohýbací síle a dráze nástroje. Její velikost se rovná ploše pod křivkou dané závislosti.

Ohýbací práce

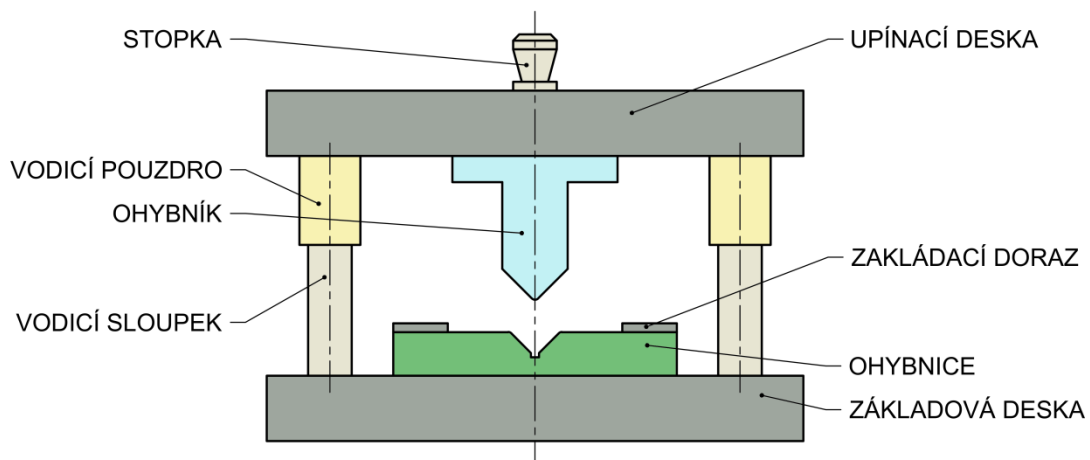
$$A_o = F_{oc} \cdot h_o \cdot k_{v,u} \text{ [J]} \quad (2.35)$$

kde:  $h_o$  [mm] – zdvih nástroje

$k_{v,u}$  [-] = 0,33 (V ohyb), 0,66 (U ohyb) – koeficient zaplnění diagramu

## 2.2.4 Ohýbací nástroje a technologičnost [24], [25], [26], [27]

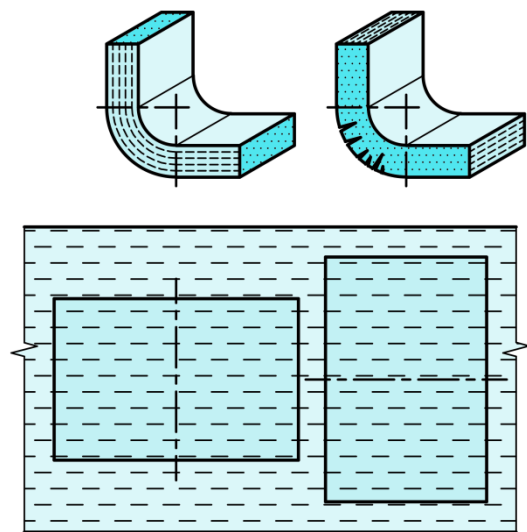
Hlavními činnými částmi ohýbacích nástrojů (obr. 32) jsou ohybníky a ohybnice. Jejich konstrukce závisí na velikosti tvářené součástky, mechanických vlastnostech, složitosti tvaru součásti nebo velikosti výrobní série. Ostatní části ohýbacích nástrojů jako vodící sloupky a pouzdra nebo základové desky lze použít pro nástroje střížné i ohybové. Pro běžné ohýbací nástroje se však vedení nenavrhuje. Ohybníky se vyrábí z jednoho kusu materiálu ve tvaru příslušného ohybu s tvarovými odlehčeními pro ohraňovací lisy. Složitější ohybníky a ohybníky velkých rozměrů lze vyrábět dělené, vložkované kalenými lištami. Poloměr ohybníku odpovídá vnitřnímu poloměru ohybu součásti. Ohyby kolmo na směr pohybu beranu lisu lze realizovat za pomoci bočních klínů. Konstrukce ohybnice je celistvá nebo vložkovaná. Jako doplněk ohybnice se často navrhuje vyhazovač, který má funkci jak vyhazovací tak přidržovací. Při pohybu horní pohyblivé části nástroje směrem dolů se materiál zatlačí do ohybnice a obzvláště při ohybu do tvaru U by mohl vlivem odpružení v ohybnici ulpívat. Současně plní vyhazovač funkci přidržovače, kdy při tlaku na materiál brání jeho posunu.



Obr. 32 Ohýbací nástroj [24]

Tvářecí nástroj by měl být navržen s ohledem na technologičnost ohýbaných součástí. Kvalitu ohybu ovlivňuje celá řada vlivů. Odpružení materiálu způsobuje to, že výsledný úhel ohybu nemusí odpovídat úhlu požadovanému. Ohýbání širokých pásů způsobuje deformaci průřezu ve směru tloušťky materiálu. Při ohybu úzkých pásů a profilů dochází zase k deformaci ve směru šířky materiálu.

Vhodná orientace ohybu vůči směru vláken v kovu zabrání vzniku trhlin v tažené části průřezu (obr. 33). Osa ohybu by měla být správně natočena kolmo na směr vláken. V případě orientace osy rovnoběžně se směrem vláken je možné zabránit vzniku trhlin zvětšením poloměru ohybu. Další způsoby snížení náchylnosti ke vzniku trhlin jsou spojené s kvalitou hrany na vnější straně ohybu. Orientace otřepu po stříhání na vnitřní stranu ohybu nebo jeho úplné odstranění případně sražení nebo zaoblení snižuje riziko výskytu trhlin.



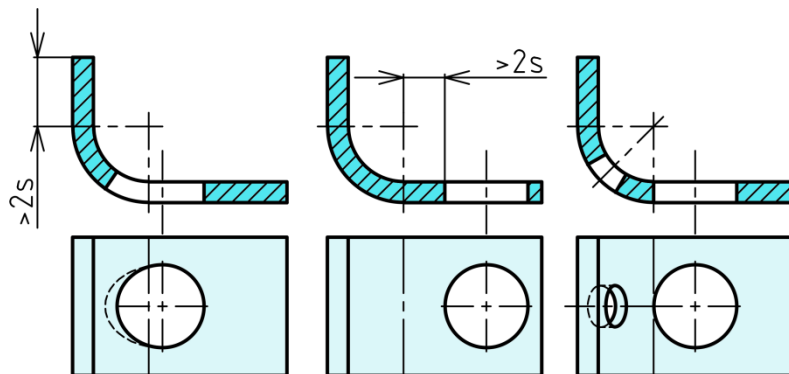
Obr. 33 Vliv směru vláken [26]

Úhel odpružení nabývá vyšších hodnot v případě ohýbání s velkým poloměrem ohybu. Volí se tedy ohyb s malou hodnotou jeho poloměru. Velice malý poloměr ohybu zvaný ostrý ohyb není však při tváření za studena realizovatelný ani pro nejtvrnější materiály. Volí se tak poloměr o něco vyšší hodnoty než minimální poloměr ohybu. Rozměry jsou často netolerované, nebo se řídí tabulkovými hodnotami v závislosti na poloměru ohybu (tab. 8).

Tab. 8 Tolerance poloměru ohybu [26]

Poloměr ohybu $r$ [mm]	<3	3 ÷ 6	6 ÷ 20	>20
Tolerance $\pm$ [mm]	0,5	1	2	3

Vlivem ohybu dochází v jeho blízkém okolí k deformaci materiálu. Pokud jsou v jeho blízkosti konstrukční prvky jako třeba otvory, tak by docházelo ke změně jejich geometrie. Není-li tato deformace přípustná, pak musí být otvor v minimální vzdálenosti dvojnásobku tloušťky materiálu od počátku ohybu (obr. 34). Pokud je potřeba umístit otvor v menší vzdálenosti od ohybu, pak může být přímo v oblasti ohybu zhotoven otvor odlehčovací, na kterém se projeví deformace. Další možností je zhotovení otvoru v blízkosti ohybu až po ohnutí. Ohyb lze provést bez zvláštních opatření pouze za podmínky, že neleží příliš blízko okraji materiálu. Musí být zachována nejmenší délka



Obr. 34 Vzdálenost otvoru a délka ramene [26]

ramene, která je rovna dvojnásobku tloušťky materiálu nebo minimálně 2 mm. Tolerování délek ramen závisí na tloušťce materiálu a geometrii ohybu (tab. 9).

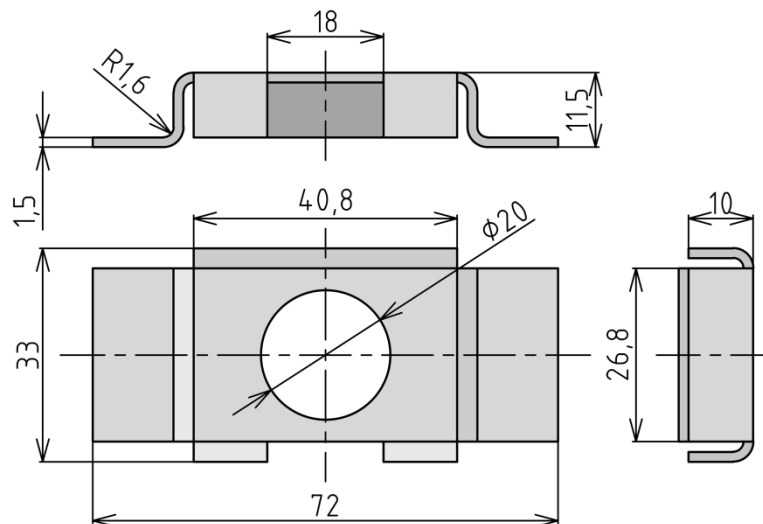
Tab. 9 Tolerance délek ramen [26]

C [mm]	S [mm]	A [mm]			B [mm]		
		< 50	50÷100	100÷150	< 50	50÷100	100÷150
100	< 1	0,3	0,4	0,5	0,5	0,8	1,0
	1 ÷ 3	0,4	0,6	0,8	0,8	1,0	1,5
	3 ÷ 6	0,6	0,8	1,0	1,0	1,5	1,5
100÷200	< 1	0,4	0,5	0,6	0,8	1,0	1,5
	1 ÷ 3	0,5	0,6	0,8	1,0	1,5	1,5
	3 ÷ 6	0,6	0,8	1,0	1,0	1,5	2,0
200÷400	< 1	0,5	0,6	0,8	0,8	1,0	1,5
	1 ÷ 3	0,6	0,8	1,0	1,0	1,5	1,5
	3 ÷ 6	0,8	1,0	1,2	1,0	1,5	2,0
400÷800	< 1	0,6	0,8	1,0	1,0	1,5	1,5
	1 ÷ 3	0,8	1,0	1,2	1,0	1,5	2,0
	3 ÷ 6	1,0	1,2	1,5	1,5	2,0	2,5



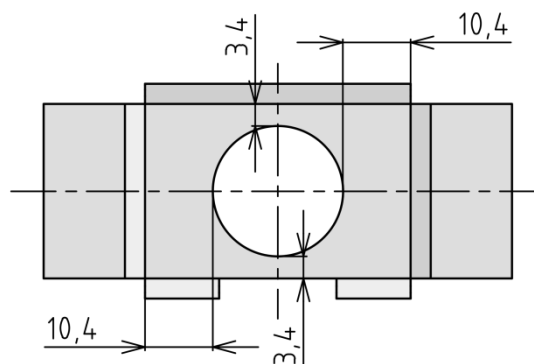
### 3 NÁVRH TECHNOLOGIE VÝROBY

Součást klec ECR 10 12 je navržena jako ohýbaná součást z plechu tloušťky 1,5 mm. Jedná se o ocelový plech DC01 (11 321) vhodný ke tváření za studena. Následujícím krokem je tedy posouzení technologičnosti výroby. Na rozměry součásti nejsou vztaženy žádné konkrétní požadavky ve formě tolerancí rozměrů, proto lze usoudit, že po stránce rozměrové přesnosti nebude problém vybranou technologií součást vyrobit. Pro následující úvahy jsou na obr. 35 vyznačeny základní rozměry hotové součásti.



Obr. 35 Klec ECR 10 12

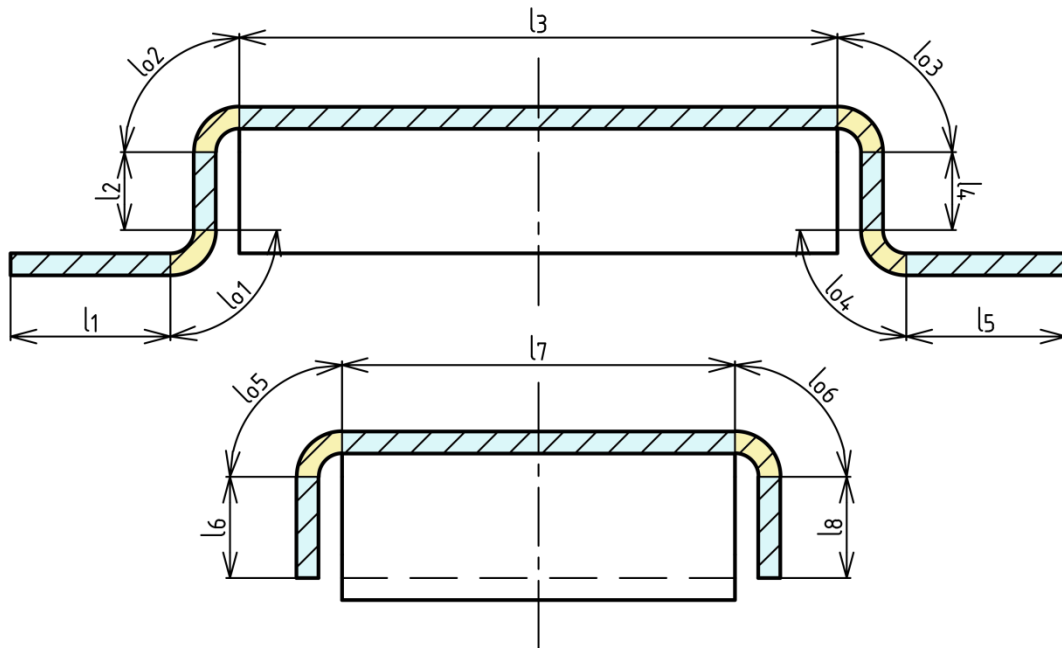
Otvor ve středu součásti není spasován s žádným protikusem a slouží pouze pro přístup šroubu k matici. Vzdálenost otvoru od kraje součásti a od hrany ohybu je jedním z kontrolovaných parametrů. Podle tab. 5 je minimální přípustná hodnota pro vzdálenost kruhového otvoru od hranice stříhu pro tloušťku materiálu 1,5 mm rovna hodnotě 2,4 mm. Také je vhodné určit minimální vzdálenost otvoru od okraje ohybu, aby nedocházelo k deformaci geometrie otvoru. Podle obr. 34 dosahuje vhodná vzdálenost minimálně dvojnásobku tloušťky ohýbaného materiálu. Pro tloušťku materiálu 1,5 mm to odpovídá tedy nejméně 3 mm od hrany ohybu. Výše uvedené podmínky jsou na navržené součásti splněny, jak dokazuje obr. 36.



Obr. 36 Vzdálenost otvoru

### 3.1 Rozvinutý tvar součásti

Pro výrobu součásti byla zvolena technologie postupového sruženého nástroje, který v sobě kombinuje přípravu rozvinutého tvaru stříháním a ohyb rozvinutého tvaru do finálního vzhledu. Nejprve je tedy nutné daný rozvinutý tvar definovat. Veškeré rozměry a rozvinuté délky lze zakótovat ve dvou kolmých řezech (obr. 37). Výpočet délek rovných úseků je proveden podle známých rozměrů ze zadání. Dále jsou rozměry ověřeny také podle modelu součásti v programu Catia V5. Výpočet jednotlivých délek rovných úseků a délek ohnutých částí je zjednodušen díky symetrii součásti.



Obr. 37 Délky ramen a oblouků

- Rovné úseky

$$l_1 = l_5 = (72 - 40,8 - 2 \cdot 1,5 - 4 \cdot 1,6)/2 = 10,9 \text{ mm}$$

$$l_2 = l_4 = 11,5 - 2 \cdot (1,5 + 1,6) = 5,3 \text{ mm}$$

$$l_3 = 40,8 \text{ mm}$$

$$l_6 = l_8 = 10 - 1,5 - 1,6 = 6,9 \text{ mm}$$

$$l_7 = 26,8 \text{ mm}$$

- Ohnuté úseky

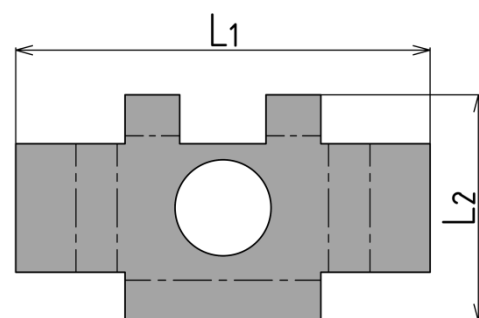
$$R_0/s = 1,6/1,5 = 1,066 \approx 1$$

Volba součinitele ztenčení podle tabulky 6

$$x = 0,42$$

$$l_{o1} = \frac{\pi}{180} \cdot \gamma \cdot (R_0 + x \cdot s) = \frac{\pi}{180} \cdot 90 \cdot (1,6 + 0,42 \cdot 1,5) = 3,5 \text{ mm}$$

$$l_{o1} = l_{o2} = l_{o3} = l_{o4} = l_{o5} = l_{o6}$$



Obr. 38 Rozvinuté délky

- Celková rozvinutá délka v obou řezech (obr. 38)

$$L_1 = \sum_{i=1}^n l_i + \sum_{i=1}^{n-1} l_{oi} = l_1 + l_2 + l_3 + l_4 + l_5 + l_{o1} + l_{o2} + l_{o3} + l_{o4}$$

$$= 10,9 + 5,3 + 40,8 + 5,3 + 10,9 + 4 \cdot 3,5 = 87,2 \text{ mm}$$

$$L_2 = \sum_{i=1}^n l_i + \sum_{i=1}^{n-1} l_{oi} = l_6 + l_7 + l_8 + l_{o5} + l_{o6} = 6,9 + 26,8 + 6,9 + 2 \cdot 3,5 = 47,6 \text{ mm}$$

Společně se zadáním byl firmou dodán výkres součásti, podle kterého byl vytvořen její model ve 3D programu. Proběhlo zpracování modelu pomocí nástroje na tvorbu součástí z plechu. Nástroj obsahuje vhodnou funkci, kterou lze z rozvinutého tvaru vytvořit ohnutou součást nebo lze zpětně získat rozvinutý tvar součásti, pokud je modelována ve finálním tvaru. Byla použita druhá možnost, kdy došlo ke stanovení rozvinuté délky  $L_1 = 86,4 \text{ mm}$  a  $L_2 = 47,2 \text{ mm}$ . Hodnoty budou použity pro další postup.

### 3.2 Rozložení na pásu

Většinou existuje více možností umístění rozvinutého tvaru na pásu plechu. Zhodnocení jednotlivých možností dává bližší představu o tom, jaká orientace je v daném případě nejvhodnější. Zároveň však do úvahy o volbě vstupního polotovaru a umístění rozvinutého tvaru vstupují možnosti výroby pro daný průmyslový podnik. Pro výrobky ve velkých sériích se často nabízí výhodnější použití svitku plechu před pásy stříhanými z tabulí plechu. Pro svitek je ale nutné, aby výrobní linka zahrnovala odvíjecí zařízení. Tímto typem stroje však výrobní podnik nedisponuje. Úvaha se tedy zužuje na pásy plechu konečné délky ustřižené z tabule. Vstupním materiálem je plech o rozměrech 3000 mm x 1500 mm. Dělení tabule je možné ve dvou směrech, kdy vznikají delší nebo kratší pásy. Rovněž mohou být zvoleny dvě varianty orientace přístříhu na pásu plechu a to podélně nebo příčně. Na vnějších rozměrech rozvinutého tvaru závisí velikost technologických přídavek na velikosti okrajů a velikosti můstků (tab. 10). Můstky se přidávají mezi jednotlivé výstřížky, aby pomáhali s jejich vedením, ale zvyšují procento nevyužitého materiálu.

Tab. 10 Doporučené velikosti okrajů a můstků [22]

Tloušťka materiálu	Šířka pásu							
	do 15		15 ÷ 50		50 ÷ 100		100 ÷ 200	
	e	f	e	f	e	f	e	f
0,1 ÷ 0,9	1,2	1,5	1,5	1,8	1,8	2,2	2,5	3,1
1	1,3	1,6	1,6	2	2	2,5	3	3,7
1,3	1,4	1,7	2	2,5	2,5	3,1	3,5	4,3
<b>1,5</b>	1,5	1,8	2,2	2,7	2,5	3,1	3,5	4,3
1,8	1,8	2,2	2,2	2,8	2,5	3,1	3,5	4,3
2	2	2,5	2,5	3,1	3	3,7	4	5
2,2	2,2	2,7	2,6	3,2	3,2	4	4,2	5,2
2,5	2,5	3,1	2,8	3,5	3,2	4	4,2	5,2
2,8	2,8	3,5	3	3,7	3,2	4	4,2	5,2
3	3	3,7	3,2	4	3,5	4,3	5	5,5

- Varianta 1  
Uspořádání výstřížků na pásu plechu podélně (obr. 39).

Délka výstřížku  $l_{vs}$

$$l_{vs} = 86,4 \text{ mm}$$

Šířka výstřížku  $s_v$

$$s_v = 47,2 \text{ mm}$$

Můstek  $e$

$$e = 2,5 \text{ mm}$$

Šířka okraje  $f$

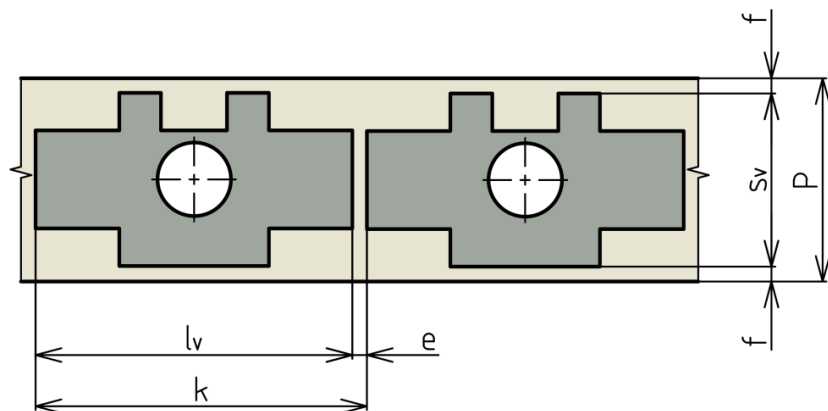
$$f = 3,1 \text{ mm}$$

Délka kroku  $k$

$$k = l_v + e = 86,4 + 2,5 = 88,9 \text{ mm}$$

Šířka pásu  $P$

$$P = s_v + 2 \cdot f = 47,2 + 2 \cdot 3,1 = 53,4 \text{ mm}$$



Obr. 39 Podélné uspořádání

- Varianta 2  
Uspořádání výstřížků na pásu plechu příčně (obr. 40).

Délka výstřížku  $l_{vs}$

$$l_{vs} = 47,2 \text{ mm}$$

Šířka výstřížku  $s_v$

$$s_v = 86,4 \text{ mm}$$

Můstek  $e$

$$e = 2,5 \text{ mm}$$

Šířka okraje  $f$

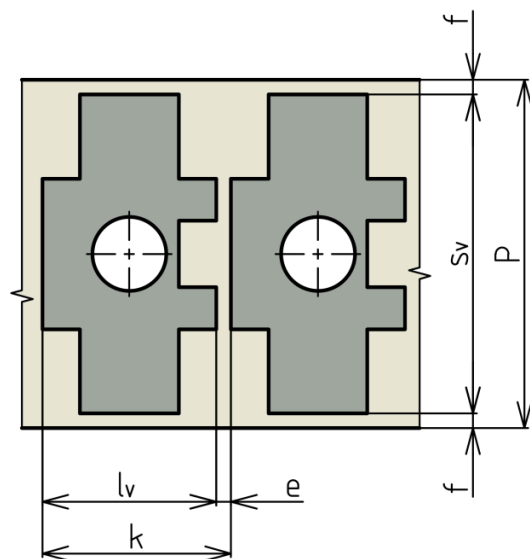
$$f = 3,1 \text{ mm}$$

Délka kroku  $k$

$$k = l_v + e = 47,2 + 2,5 = 49,7 \text{ mm}$$

Šířka pásu  $P$

$$P = s_v + 2 \cdot f = 86,4 + 2 \cdot 3,1 = 92,6 \text{ mm}$$



Obr. 40 Příčné uspořádání

- Využití materiálu

Vstupní veličinou výpočtu procentuálního využití materiálu je plocha výstřižku. Součástí plochy výstřižku je i plocha otvorů, které tak nesnižují procento využití materiálu. Plocha součásti byla zjištěna softwarem a ověřena výpočtem. Nejvýhodnější se často jeví použití dlouhého svitku plechu, ze kterého lze vyrobit mnohonásobně větší množství součástí na jedno zavedení do nástroje, než lze vyrobit z pásů plechu stříhaných z tabule.

Plocha výstřižku ze softwaru  $S_v = 2\,964\text{ mm}^2$

Počet výstřižků za rok  $n_v = 10\,000\text{ ks}$

Délka tabule  $l_t = 3\,000\text{ mm}$

Šířka tabule  $s_t = 1\,500\text{ mm}$

- Varianta 1A (obr. 41)

Počet pásů

$$n_p = \frac{l_t}{P} = \frac{3\,000}{53,4} = 56,18 \Rightarrow 56\text{ ks}$$

Počet výstřižků na jeden pás

$$n_{vp} = \frac{s_t}{k} = \frac{1\,500}{88,9} = 16,87 \Rightarrow 16\text{ ks}$$

Počet výstřižků na jedné tabuli

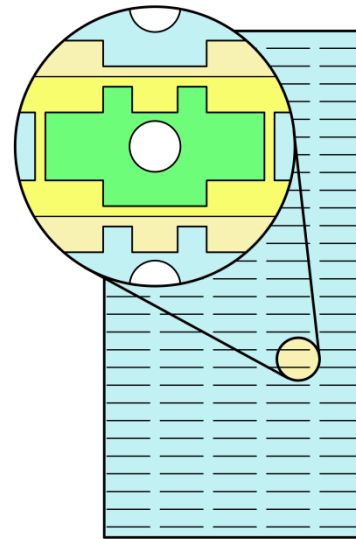
$$n_{vt} = n_p \cdot n_v = 56 \cdot 16 = 896\text{ ks}$$

Počet tabulí

$$n_t = \frac{n_v}{n_{vt}} = \frac{10\,000}{896} = 11,16 \Rightarrow 12\text{ ks}$$

Procentuální využití tabule

$$\eta_t = \frac{S_v \cdot n_{vt}}{l_t \cdot s_t} \cdot 100 = \frac{2\,964 \cdot 896}{3\,000 \cdot 1\,500} \cdot 100 = 59,02\%$$



Obr. 41 Varianta 1A

- Varianta 1B (obr. 42)

Počet pásů

$$n_p = \frac{s_t}{P} = \frac{1\,500}{53,4} = 28,09 \Rightarrow 28\text{ ks}$$

Počet výstřižků na jeden pás

$$n_{vp} = \frac{l_t}{k} = \frac{3\,000}{88,9} = 33,75 \Rightarrow 33\text{ ks}$$

Počet výstřižků na jedné tabuli

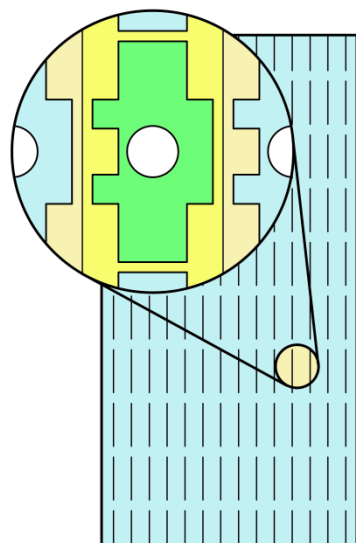
$$n_{vt} = n_p \cdot n_v = 28 \cdot 33 = 924\text{ ks}$$

Počet tabulí

$$n_t = \frac{n_v}{n_{vt}} = \frac{10\,000}{924} = 10,82 \Rightarrow 11\text{ ks}$$

Procentuální využití tabule

$$\eta_t = \frac{S_v \cdot n_{vt}}{l_t \cdot s_t} \cdot 100 = \frac{2\,964 \cdot 924}{3\,000 \cdot 1\,500} \cdot 100 = 60,86\%$$



Obr. 42 Varianta 1B

- Varianta 2A (obr. 43)

Počet pásů

$$n_p = \frac{l_t}{P} = \frac{3\,000}{92,6} = 32,40 \Rightarrow 32 \text{ ks}$$

Počet výstřížků na jeden pás

$$n_{vp} = \frac{s_t}{k} = \frac{1\,500}{49,7} = 30,18 \Rightarrow 30 \text{ ks}$$

Počet výstřížků na jedné tabuli

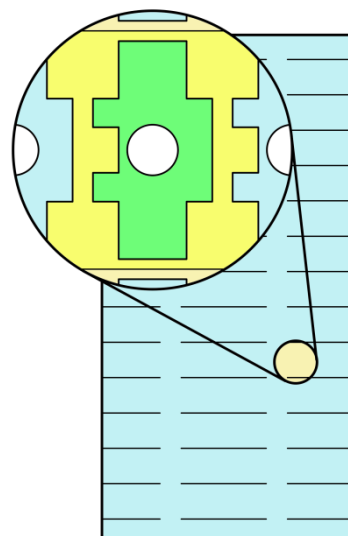
$$n_{vt} = n_p \cdot n_v = 32 \cdot 30 = 960 \text{ ks}$$

Počet tabulí

$$n_t = \frac{n_v}{n_{vt}} = \frac{10\,000}{960} = 10,42 \Rightarrow 11 \text{ ks}$$

Procentuální využití tabule

$$\eta_t = \frac{S_v \cdot n_{vt}}{l_t \cdot s_t} \cdot 100 = \frac{2\,964 \cdot 960}{3\,000 \cdot 1\,500} \cdot 100 = 63,23 \%$$



Obr. 43 Varianta 2A

- Varianta 2B (obr. 44)

Počet pásů

$$n_p = \frac{s_t}{P} = \frac{1\,500}{92,6} = 16,20 \Rightarrow 16 \text{ ks}$$

Počet výstřížků na jeden pás

$$n_{vp} = \frac{l_t}{k} = \frac{3\,000}{49,7} = 60,36 \Rightarrow 60 \text{ ks}$$

Počet výstřížků na jedné tabuli

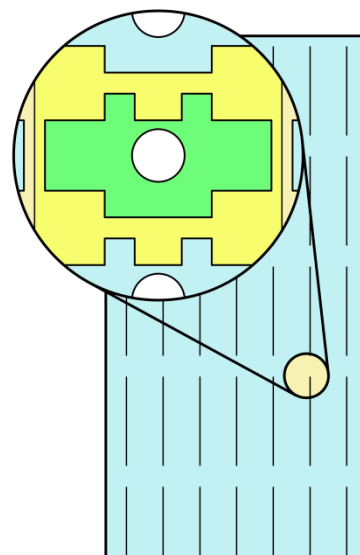
$$n_{vt} = n_p \cdot n_v = 16 \cdot 60 = 960 \text{ ks}$$

Počet tabulí

$$n_t = \frac{n_v}{n_{vt}} = \frac{10\,000}{960} = 10,42 \Rightarrow 11 \text{ ks}$$

Procentuální využití tabule

$$\eta_t = \frac{S_v \cdot n_{vt}}{l_t \cdot s_t} \cdot 100 = \frac{2\,964 \cdot 960}{3\,000 \cdot 1\,500} \cdot 100 = 63,23 \%$$



Obr. 44 Varianta 2B

Procentuální využití materiálu je nejvyšší v obou případech příčného uspořádání výstřížků na pásu plechu (varianta 2A a varianta 2B). Hodnota využití se tedy v obou případech rovná 63,23 %. Počet výstřížků na jedné tabuli dosahuje hodnoty 960 kusů. Celá roční výrobní série je zhotovitelná za použití jedenácti tabulí plechu. S ohledem na výrobní možnosti podniku je nejvhodnějším řešením varianta 2A.

- Konečné stanovení parametrů

Součást se skádá z prvků o velice malých rozměrech, proto jsou dále přehodnoceny navržené velikosti můstek a šířky okrajů. Zvětšení těchto rozměrů zajišťuje lepší vedení výstřižku v nástroji a umožňuje úspornější uspořádání výrobních kroků. Za nepříznivý důsledek zvětšení rozměrů lze označit výrazné snížení procenta využitého materiálu.

Uspořádání výstřižků na pásu plechu

Délka výstřižku  $l_v$

$$l_v = 47,2 \text{ mm}$$

Šířka výstřižku  $s_v$

$$s_v = 86,4 \text{ mm}$$

Můstek  $e$

$$e = 4 \text{ mm}$$

Šířka okraje  $f$

$$f = 11,8 \text{ mm}$$

Délka kroku  $k$

$$k = l_v + e = 47,2 + 12,8 = 60 \text{ mm}$$

Šířka pásu  $P$

$$P = s_v + 2 \cdot f = 86,4 + 2 \cdot 11,8 = 110 \text{ mm}$$

Počet pásů

$$n_p = \frac{l_t}{P} = \frac{3\,000}{110} = 27,27 \Rightarrow 27 \text{ ks}$$

Počet výstřižků na jeden pás

$$n_{vp} = \frac{s_t}{k} = \frac{1\,500}{60} = 25 \text{ ks}$$

Počet výstřižků na jedné tabuli

$$n_{vt} = n_p \cdot n_v = 27 \cdot 25 = 675 \text{ ks}$$

Počet tabulí

$$n_t = \frac{n_v}{n_{vt}} = \frac{10\,000}{675} = 14,81 \Rightarrow 15 \text{ ks}$$

Procentuální využití tabule

$$\eta_t = \frac{S_v \cdot n_{vt}}{l_t \cdot s_t} \cdot 100 = \frac{2\,964 \cdot 675}{3\,000 \cdot 1\,500} \cdot 100 = 44,46 \%$$

Výsledné reálné procentuální využití materiálu 44,46 % je proti předchozí návrhové hodnotě asi o jednu třetinu nižší. Geometrie součásti neumožňuje posun součástí za středový můstek, protože ohyby jsou vyžadovány podél všech čtyř okrajů. Pro vedení výstřižku byl tedy zvolen vnější vodící rámeček, se kterým je součást spojena pouze jedním můstkem, který je nutné v závěrečném kroku přerušit, aby mohl být proveden ohyb. Ohyby jsou provedeny ve dvou vzájemně kolmých směrech a nelze se tak vyhnout orientaci osy ohybu rovnoběžně s vlákny plechu po válcování. Úhel ohybu má ve všech šesti případech velikost 90° a nemělo by tak docházet k tvorbě trhlin. Délka jednoho kroku byla stanovena na 60 mm a šířka pásu na 110 mm.

### 3.3 Rozvržení operací

V předchozí kapitole bylo zvoleno příčné uspořádání výstřížků na pásu plechu. Předběžně došlo k navýšení některých rozměrů, tak aby bylo možné výstřížky posouvat z jednoho kroku do dalšího. Zvětšení rozměrů můstku a šířky okraje umožňuje obstřížení vnějších okrajů součásti. Zajištění vyrobitelnosti závisí na vhodné kombinaci tvářecích operací stříhání a ohýbání. Přesného navázání jednotlivých střížných operací lze docílit použitím hledáček, které procházejí přes již vytvořený otvor.

▪ Varianta 1 (obr. 45)

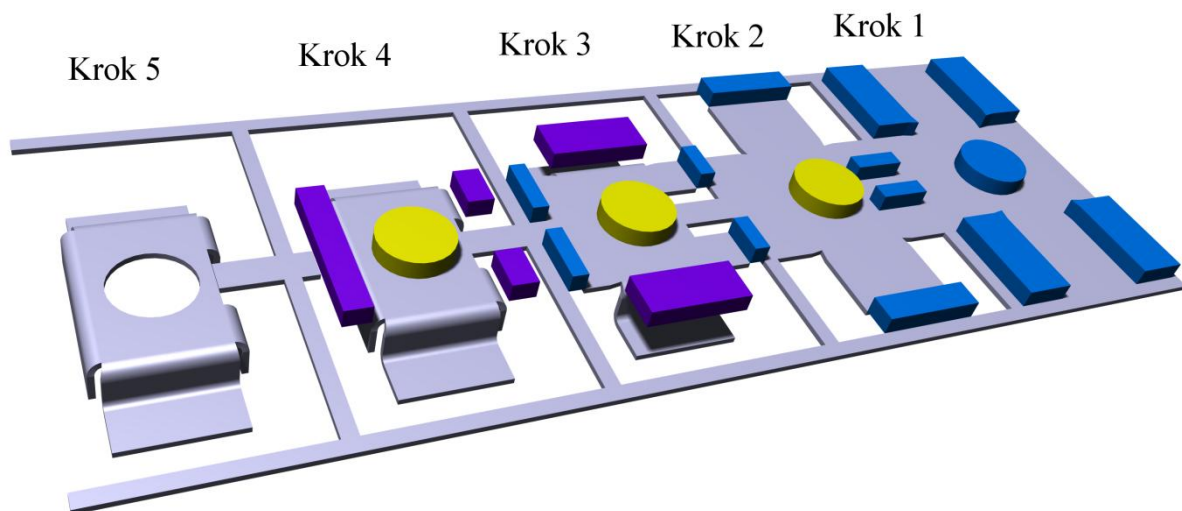
Krok 1 – vystřížení čtyř obdélníkových otvorů 30 x 14 mm  
– vystřížení kruhového otvoru  $\varnothing$  20 mm

Krok 2 – zahledání na otvor  $\varnothing$  20 mm  
– vystřížení dvou obdélníkových otvorů 14,6 x 5 mm  
– vystřížení dvou obdélníkových otvorů 28 x 7,8 mm

Krok 3 – zahledání na otvor  $\varnothing$  20 mm  
– vystřížení dvou obdélníkových otvorů 12 x 4,4 mm  
– vystřížení dvou obdélníkových otvorů 17 x 4,4 mm  
– ohnutí ramen podélně

Krok 4 – zahledání na otvor  $\varnothing$  20 mm  
– ohnutí ramen příčně

Krok 5 – odstřížení součásti



Obr. 45 Varianta 1

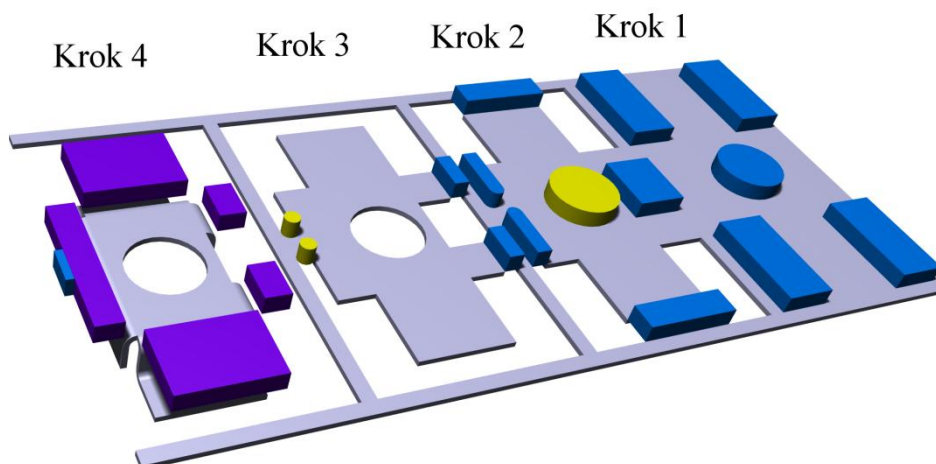
▪ Varianta 2 (obr. 46)

Krok 1 – vystřížení obdélníkových otvorů 30,6 x 14,6 mm  
– vystřížení kruhového otvoru  $\varnothing$  20 mm

Krok 2 – zahledání na otvor  $\varnothing$  20 mm  
– vystřížení obdélníkového otvoru 18 x 14,6 mm  
– vystřížení obdélníkových otvorů 28 x 7,8 mm  
– vystřížení otvorů 17,6 x 4,4 mm



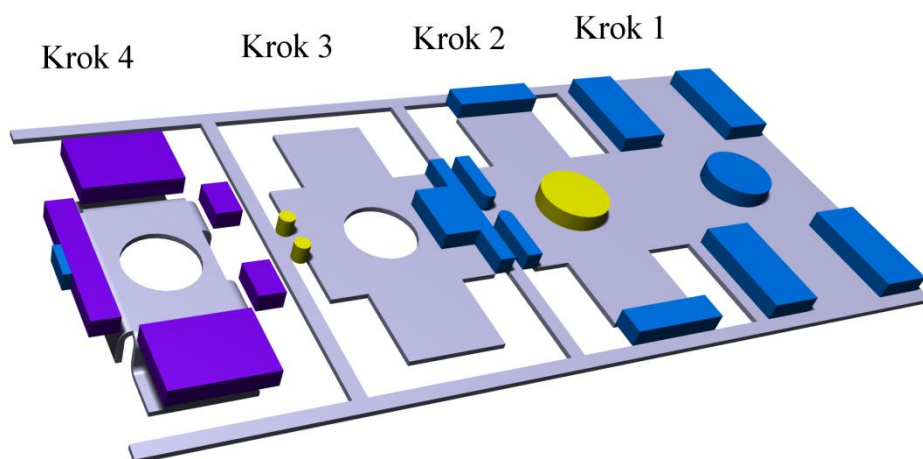
- Krok 3 – zahledání na otvory  $\varnothing 4,4$  mm  
 – vystřížení obdélníkových otvorů 11,4 x 4,4 mm
- Krok 4 – ohnutí ramen příčně i podélně  
 – odstřížení součásti



Obr. 46 Varianta 2

▪ Varianta 3 (obr. 47)

- Krok 1 – vystřížení obdélníkových otvorů 30,6 x 14,6 mm  
 – vystřížení kruhového otvoru  $\varnothing 20$  mm
- Krok 2 – zahledání na otvor  $\varnothing 20$  mm  
 – vystřížení obdélníkových otvorů 26,8 x 7,8 mm  
 – vystřížení otvorů 17,6 x 4,4 mm
- Krok 3 – zahledání na otvory  $\varnothing 4,4$  mm  
 – vystřížení tvarového otvoru 14,6 x 40,8 mm
- Krok 4 – ohnutí ramen dolů příčně i podélně  
 – odstřížení součásti



Obr. 47 Varianta 3

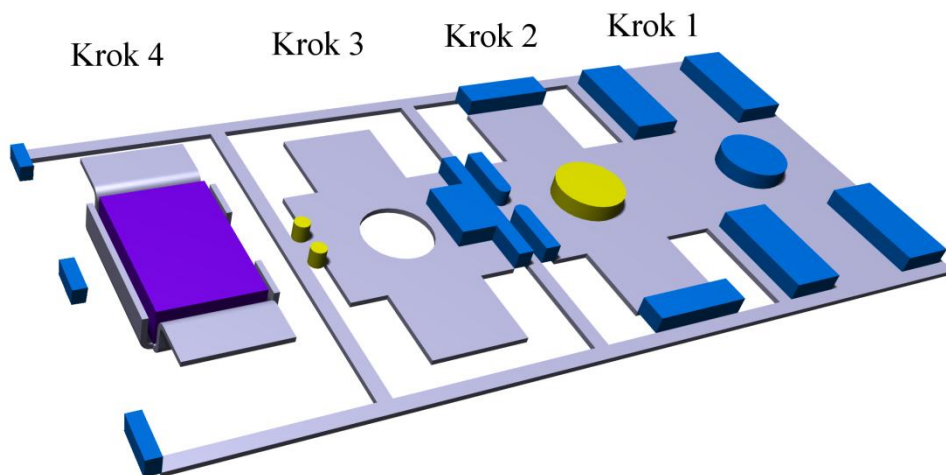
▪ Varianta 4 (obr. 48)

Krok 1 – vystřížení obdélníkových otvorů 30,6 x 14,6 mm  
– vystřížení kruhového otvoru  $\varnothing$  20 mm

Krok 2 – zahledání na otvor  $\varnothing$  20 mm  
– vystřížení obdélníkových otvorů 26,8 x 7,8 mm  
– vystřížení otvorů 17,6 x 4,4 mm

Krok 3 – zahledání na otvory  $\varnothing$  4,4 mm  
– vystřížení tvarového otvoru 14,6 x 40,8 mm

Krok 4 – ohnutí ramen nahoru příčně i podélně  
– odstřížení součásti a rozstřížení odpadu



Obr. 48 Varianta 4

První varianta rozvržení operací používá více jednodušších střížníků a ohybníků. Ohyby jsou provedeny ve dvou po sobě následujících krocích. Toto uspořádání obsahuje zbytečný pátý krok, který je téměř prázdný a slouží pouze k odstřížení hotové součásti. Uspořádání zároveň nedovoluje použití jednodušší pevné vodící desky. Vedení střížníků by muselo být zajištěno odpruženou vodící deskou v horní části nástroje. Vedení pásu plechu by muselo probíhat pomocí pružných vodících kolíčků.

Druhá varianta je již logičtěji uspořádána na tři kroky čistě střížných operací a čtvrtý krok operace ohýbací s odstřížením hotové součásti. V jejím druhém kroku probíhá zahledání na kruhový otvor a stříh čtvercového otvoru. Mezi těmito operacemi však vzniká příliš malá mezera, která by vedla k nadměrnému namáhání střížnice v daném místě.

Třetí varianta odstraňuje výše zmíněné nedostatky sdružením dvou střížných operací ve třetím kroku. Střížník ve tvaru písmene T má kolem sebe více prostoru. Zahledání ve třetím kroku však nesmí probíhat na středový otvor.

Čtvrtá varianta uvažuje změnu směru ohýbání, kdy ohybník působí shora. Vedení střížníků je možné zajistit pomocí pevné vodící desky, která je součástí spodní části nástroje. Vedení pásu plechu je možné realizovat bez nadzvedávání, protože operace ohýbání probíhá v posledním kroku a součást se z nástroje vymístí pomocí vyhazovačů. Na obrázku jsou znázorněny tři stříhy na konci pásu plechu, kterými bude oddělena součást před ohybem a rozstřížen odpad. Pro konstrukci nástroje byla zvolena varianta 4.

### 3.4 Technologické výpočty

Pro konstrukci postupového nástroje je nezbytné provést následující výpočty, které vychází převážně ze vzorců stanovených v předešlých kapitolách. Výpočty se vztahují na operace stříhání a ohýbání. Bude uvažováno se zvolenou variantou nástřihového plánu.

#### 3.4.1 Střížná část

- Výpočet střížného odporu

Pro následující výpočty je nutné stanovit střížný odpor nebo také mez pevnosti ve stříhu. Hodnota střížného odporu závisí na mezi pevnosti v tahu pro daný materiál a vypočte se dle vzorce (2.5). Materiál dle tab. 1 vykazuje velikost meze pevnosti v tahu 410 MPa.

$$\tau_s = 0,8 \cdot R_m = 0,8 \cdot 410 = 328 \text{ MPa}$$

- Výpočet střížné vůle

Stanovení hodnoty střížné vůle předchází výpočet střížné mezery. Střížná mezera by měla být po celém obvodu čáry stříhu stejná. Střížná vůle je pak pouze jejím dvojnásobkem.

Výpočet střížné mezery pro plechy kde  $s \leq 3 \text{ mm}$  dle vzorce (2.2)

$$z = 0,32 \cdot c \cdot s \cdot \sqrt{\tau_s} = 0,32 \cdot 0,023 \cdot 1,5 \cdot \sqrt{0,8 \cdot 410} = 0,2 \text{ mm}$$

Výpočet střížné vůle podle vzorce (2.1)

$$v_s = 2 \cdot z = 2 \cdot 0,2 = 0,4 \text{ mm}$$

- Výpočet střížné síly

Celková hodnota střížné síly se skládá z dílčích hodnot střížných sil jednotlivých střížníků a dále síly protlačovací a stírací. Rozměry střížníků jsou odměřeny ve 3D modelu. U několika střížníků se délka stříhu rovná jejich obvodu. U dalších střížníků je funkční pouze část hrany. Jednotlivé složky sil jsou vypočteny dle vzorce (2.6). Hodnota součinitele otupení byla zvolena  $n=1,1$ .

Střížná síla pro obdélníkový střížník 30,6 x 14,6 mm

$$F_{s1} = n_o \cdot l_{s1} \cdot s \cdot \tau_s = 1,1 \cdot 90,4 \cdot 1,5 \cdot 328 = 48\,924 \text{ N}$$

Střížná síla pro kruhový střížník  $\varnothing 20 \text{ mm}$

$$F_{s2} = n_o \cdot l_{s2} \cdot s \cdot \tau_s = 1,1 \cdot 62,832 \cdot 1,5 \cdot 328 = 34\,006 \text{ N}$$

Střížná síla pro oválný střížník 37,6 x 7,8 mm

$$F_{s3} = n_o \cdot l_{s3} \cdot s \cdot \tau_s = 1,1 \cdot 53,6 \cdot 1,5 \cdot 328 = 29\,008 \text{ N}$$

Střížná síla pro oválný střížník 20,4 x 4,4 mm

$$F_{s4} = n_o \cdot l_{s4} \cdot s \cdot \tau_s = 1,1 \cdot 37,716 \cdot 1,5 \cdot 328 = 20\,412 \text{ N}$$

Střížná síla pro tvarový střížník 14,6 x 40,8 mm

$$F_{s5} = n_o \cdot l_{s5} \cdot s \cdot \tau_s = 1,1 \cdot 102 \cdot 1,5 \cdot 328 = 55\,202 \text{ N}$$

Střížná síla pro ostřihovací střížník 12 x 7,8 mm

$$F_{s6} = n_o \cdot l_{s6} \cdot s \cdot \tau_s = 1,1 \cdot 10 \cdot 1,5 \cdot 328 = 5\,412 \text{ N}$$

Střížná síla pro rozstřihovací střížník 12 x 7,8 mm

$$F_{s7} = n_o \cdot l_{s7} \cdot s \cdot \tau_s = 1,1 \cdot 4 \cdot 1,5 \cdot 328 = 2\,165 \text{ N}$$

## Střižná síla

$$\begin{aligned}F_s &= 4 \cdot F_{s1} + F_{s2} + 2 \cdot F_{s3} + 2 \cdot F_{s4} + F_{s5} + F_{s6} + 2 \cdot F_{s7} \\&= 4 \cdot 48\,924 + 34\,006 + 2 \cdot 29\,008 + 2 \cdot 20\,412 + 55\,202 + 5\,412 + 2 \cdot 2\,165 \\&= 393\,486 \text{ N} \cong 393,5 \text{ kN}\end{aligned}$$

### ▪ Odhad minimální tloušťky střižnice

Z vypočtených střižných sil lze také odvodit návrhovou hodnotu minimální tloušťky střižnice. Daný rozměr se stanoví podle maximální hodnoty střižné práce, která činí 55 202 N. Odhad je proveden dle vzorce (2.16).

$$H = \sqrt[3]{0,1 \cdot F_{s \max}} = \sqrt[3]{0,1 \cdot 55\,202} = 17,67 \text{ mm}$$

Tloušťky střižnice je vhodné zvolit o něco málo vyšší v rozměru celých milimetrů. V konstrukci nástroje je navržena střižnice o tloušťce 20 mm.

### ▪ Výpočet střižné práce

Celková hodnota střižné práce dle vzorce (2.7) a součinitel hloubky vtlačení dle tab. 3 pro danou tloušťku materiálu a mez pevnosti je zvolen 0,55.

$$A_s = k_a \cdot F_s \cdot s = 0,55 \cdot 393\,486 \cdot 0,0015 = 324,6 \text{ J}$$

### ▪ Výpočet stírací a protlačovací síly

Stírací síla dle vzorce (2.8) a součinitel stírání dle tab. 4 je zvolen 0,16

$$F_{st} = c_1 \cdot F_s = 0,16 \cdot 393\,486 = 62\,958 \text{ N} \cong 63,0 \text{ kN}$$

Protlačovací síla dle vzorce (2.9) a součinitel protlačování dle tab. 4 je zvolen 0,08.

$$F_{pr} = c_2 \cdot F_s = 0,08 \cdot 393\,486 = 31\,479 \text{ N} \cong 31,5 \text{ kN}$$

### ▪ Výpočet celkové střižné síly

$$F_{sc} = F_s + F_{st} + F_{pr} = 393,5 + 63,0 + 31,5 = 488 \text{ kN}$$

### ▪ Namáhání střižníku v tlaku

Kontrola tlakového namáhání slouží hlavně pro zjištění, zda se nebude střižník z materiálu o vyšší tvrdosti otláčovat do upínací desky o menší tvrdosti. Při překročení  $50 \div 100 \text{ MPa}$  namáhání v tlaku je doporučeno použít opěrnou desku. Rozměry střižníků vztažené k upínací desce jsou zvětšeny o velikost jejich osazení. Výpočet dle vzorce (2.17).

Namáhání v tlaku pro obdélníkový střižník 30,6 x 14,6 mm

$$\sigma_{d1} = \frac{F_{s1}}{S_{st1}} = \frac{48\,924}{640,13} = 76,4 \text{ MPa}$$

Namáhání v tlaku pro kruhový střižník  $\varnothing 20 \text{ mm}$

$$\sigma_{d2} = \frac{F_{s2}}{S_{st2}} = \frac{34\,006}{452,39} = 75,2 \text{ MPa}$$

Namáhání v tlaku pro oválný střižník 37,6 x 7,8 mm

$$\sigma_{d3} = \frac{F_{s3}}{S_{st3}} = \frac{29\,008}{489,81} = 59,2 \text{ MPa}$$

Namáhání v tlaku pro oválný střižník 20,4 x 4,4 mm

$$\sigma_{d4} = \frac{F_{s4}}{S_{st4}} = \frac{20\,412}{201,53} = 101,3 \text{ MPa}$$

Namáhání v tlaku pro tvarový střížník 14,6 x 40,8 mm

$$\sigma_{d5} = \frac{F_{s5}}{S_{st5}} = \frac{55\,202}{540,44} = 102,4 \text{ MPa}$$

Namáhání v tlaku pro ostříhovací střížník 12 x 7,8 mm

$$\sigma_{d6} = \frac{F_{s6}}{S_{st6}} = \frac{5\,412}{108,57} = 49,8 \text{ MPa}$$

Namáhání v tlaku pro rozstříhovací střížník 12 x 7,8 mm

$$\sigma_{d7} = \frac{F_{s7}}{S_{st7}} = \frac{2\,165}{108,57} = 19,9 \text{ MPa}$$

Hodnoty napětí při styku střížníků a upínací desky se pohybují v intervalu nebo mírně nad intervalem, kdy už je vhodné uvažovat nad použitím opěrné desky. Některá literatura uvádí mez pro použití opěrné desky nad 180 MPa. Z důvodu bezpečnosti však bude s opěrnou deskou uvažováno. Opěrná deska je vyrobena z kalené oceli tloušťky 4 mm.

▪ Vzpěrná stabilita střížníku

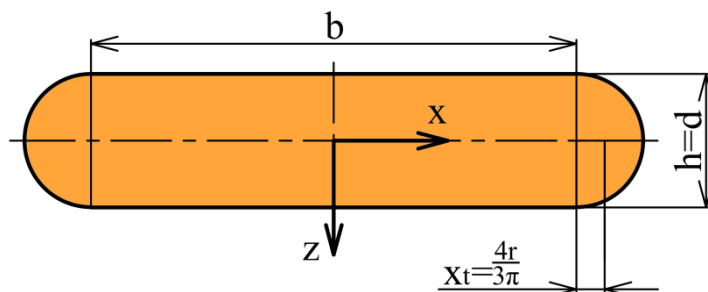
U střížníků lze vypočítat jejich kritickou délku, při které dojde ke ztrátě vzpěrné stability. Konstrukce střížníků musí být tedy taková, aby jejich délka nepřekročila kritickou hodnotu. Konstrukce nástroje bude uvažována s vedením střížníků. Výpočet kritické délky pro střížníky s vedením je možné stanovit dle vzorce (2.19). V případě, že střížník nevyhoví, je možné zvětšit jeho průřez nebo změnit konstrukci rozšířením nad vodící deskou. Největší riziko ztráty vzpěrné stability je u úzkých střížníků. U nepravidelných průřezů hrozí ztráta vzpěrné stability ve směru menší hodnoty momentu setrvačnosti daného průřezu.

Moment setrvačnosti oválného průřezu (obr. 49)

$$I_x = \frac{h \cdot b^3}{12} + 2 \cdot \left[ \frac{\pi \cdot d^4}{128} + \frac{\pi \cdot d^2}{8} \cdot \left( \frac{b}{2} + \frac{4 \cdot r}{3 \cdot \pi} \right)^2 \right]$$

$$= \frac{4,4 \cdot 16^3}{12} + 2 \cdot \left[ \frac{\pi \cdot 4,4^4}{128} + \frac{\pi \cdot 4,4^2}{8} \cdot \left( \frac{16}{2} + \frac{4 \cdot 2,2}{3 \cdot \pi} \right)^2 \right] = 2\,733,818 \text{ mm}^4$$

$$I_z = \frac{b \cdot h^3}{12} + \frac{\pi \cdot d^4}{64} = \frac{16 \cdot 4,4^3}{12} + \frac{\pi \cdot 4,4^4}{64} = 131,977 \text{ mm}^4$$



Obr. 49 Oválný průřez

Kritická délka pro oválný střížník 20,4 x 4,4 mm

$$l_{k1} = \sqrt{\frac{2 \cdot \pi^2 \cdot E \cdot I}{k_b \cdot F_s}} = \sqrt{\frac{2 \cdot \pi^2 \cdot 2,1 \cdot 10^5 \cdot 131,977}{2 \cdot 20\,415}} = 115,75 \text{ mm}$$

Těžiště obdélníkového průřezu se zaoblením (obr. 50)

Tvar složeného obrazce je symetrický podle osy z, proto souřadnice těžiště ve směru osy x je rovna polovině celkové šířky průřezu.

$$x_t = \frac{b_1}{2} = \frac{12}{2} = 6 \text{ mm}$$

Poloha těžiště ve směru druhé osy je vypočtena dle následujícího vzorce.

$$\begin{aligned} z_t &= \frac{\sum S_i \cdot z_{ti}}{\sum S_i} = \frac{\frac{\pi \cdot r^2}{2} \cdot \left(h_1 + \frac{4 \cdot r}{3 \cdot \pi}\right) + \frac{h_1^2}{2} \cdot b_1 + h_2 \cdot b_2 \cdot \left(h_1 + \frac{h_2}{2}\right)}{\frac{\pi \cdot r^2}{2} + h_1 \cdot b_1 + h_2 \cdot b_2} = \\ &= \frac{\frac{\pi \cdot 2^2}{2} \cdot \left(5,8 + \frac{4 \cdot 2}{3 \cdot \pi}\right) + \frac{5,8^2}{2} \cdot 12 + 2 \cdot 8 \cdot \left(5,8 + \frac{2}{2}\right)}{\frac{\pi \cdot 2^2}{2} + 5,8 \cdot 12 + 2 \cdot 8} = 3,835 \text{ mm} \end{aligned}$$

Moment setrvačnosti obdélníkového průřezu se zaoblením

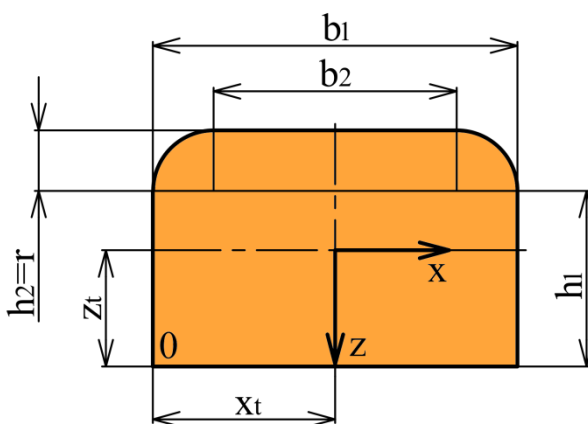
Z předchozího výpočtu momentu setrvačnosti lze odvodit, že význam pro výpočet kritické délky má moment setrvačnosti ve směru menšího rozměru. Dále je tedy vypočten pouze moment setrvačnosti ve směru osy z.

$$\begin{aligned} I_z &= \frac{b_1 \cdot h_1^3}{12} + b_1 \cdot h_1 \cdot \left(z_t - \frac{h_1}{2}\right)^2 + \frac{b_2 \cdot h_2^3}{12} + b_2 \cdot h_2 \cdot \left(\frac{h_2}{2} + h_1 - z_t\right)^2 + \frac{\pi \cdot r^4}{8} \\ &\quad + \frac{\pi \cdot r^2}{2} \cdot \left(h_1 - z_t + \frac{4 \cdot r}{3 \cdot \pi}\right)^2 \\ &= \frac{12 \cdot 5,8^3}{12} + 12 \cdot 5,8 \cdot \left(3,835 - \frac{5,8}{2}\right)^2 + \frac{8 \cdot 2^3}{12} + 8 \cdot 2 \cdot \left(\frac{2}{2} + 5,8 - 3,835\right)^2 \\ &\quad + \frac{\pi \cdot 2^4}{8} + \frac{\pi \cdot 2^2}{2} \cdot \left(5,8 - 3,835 + \frac{4 \cdot 2}{3 \cdot \pi}\right)^2 = 457,982 \text{ mm}^4 \end{aligned}$$

Kritická délka pro ostříhovací střížník 12 x 7,8

$$l_{kz} = \sqrt{\frac{2 \cdot \pi^2 \cdot E \cdot I}{k_b \cdot F_s}} = \sqrt{\frac{2 \cdot \pi^2 \cdot 2,1 \cdot 10^5 \cdot 457,982}{2 \cdot 5 \cdot 412}} = 418,79 \text{ mm}$$

Reálná maximální volná délka střížníků je 66 mm. Kritická délka pro oválný střížník je přibližně dvojnásobná, proto nehrozí ztráta vzpěrné stability. Pro ostříhovací střížník byla vypočtena kritická délka asi šestinásobná, než je jeho skutečná volná délka. V případě ostříhovacího střížníku by bylo možné použít subtilnější průřez, ale vedlo by to pouze k mírné úspoře nástrojového materiálu.



Obr. 50 Obdélníkový průřez se zaoblením

### 3.4.2 Ohybová část

V předcházejících kapitolách byl definován tvar součásti a navržen postup výroby. Následujícím krokem po stříhání je ohýbání výsledného tvaru součásti. Ve směru menšího rozměru součásti je proveden ohyb do tvaru U. Ve směru kolmém je pak proveden složitější ohyb nejprve do tvaru U, který přechází na obou ramenech do ohybu tvaru V. Na ohraňovacím lisu jsou veškeré ohyby prováděny jako V ohyb do pravého úhlu. Postupový nástroj tyto ohyby vytváří všechny současně.

#### ▪ Ohybová vůle

Pro následující výpočet a konstrukci nástroje je nutné stanovit ohybovou vůli, která v případě ohybu do tvaru U odpovídá násobku tloušťky materiálu dle vzorce.

$$v_o = (1,05 \div 1,15) \cdot s = 1,066 \cdot 1,5 = 1,6 \text{ mm}$$

#### ▪ Odpružení při ohybu

Výpočet odpružení se liší podle tvaru ohybu. Součinitel odpružení závisí na poměru poloměru ohybu vůči tloušťce ohýbaného materiálu a stanoví se podle tab. 7. Úhel odpružení pro oba ohyby do tvaru U by měl být stejný, protože jsou stejné poloměry ohybu, tloušťka materiálu i poloměr zaoblení ohybnice.

Součinitel odpružení

$$\frac{R_0}{s} = \frac{1,6}{1,5} = 1,067 \cong 1 \Rightarrow k_o = 0,58$$

Úhel odpružení pro ohyb do tvaru U dle vzorce (2.26)

$$l_u = r_o + v_o + R_0 = 1,6 + 1,6 + 1,6 = 4,8 \text{ mm}$$

$$\text{tg } \beta_1 = 0,75 \cdot \frac{l_u}{k_o \cdot s} \cdot \frac{R_e}{E} = 0,75 \cdot \frac{4,8}{0,58 \cdot 1,5} \cdot \frac{340}{2,1 \cdot 10^5} = 8,933 \cdot 10^{-3}$$

$$\beta_1 = \text{arctg}(8,933 \cdot 10^{-3}) = 0^\circ 30' 42''$$

Úhel odpružení pro ohyb do tvaru V dle vzorce (2.25)

$$l_v = 16,33 \text{ mm (odměřeno ze 3D modelu)}$$

$$\text{tg } \beta_2 = 0,375 \cdot \frac{l_v}{k_o \cdot s} \cdot \frac{R_e}{E} = 0,375 \cdot \frac{16,33}{0,58 \cdot 1,5} \cdot \frac{340}{2,1 \cdot 10^5} = 11,396 \cdot 10^{-3}$$

$$\beta_2 = \text{arctg}(11,396 \cdot 10^{-3}) = 0^\circ 39' 11''$$

Maximální poloměr ohybu, který lze vytvořit, je vypočten dle vzorce (2.27)

$$R_{\max} = \frac{s}{2} \cdot \left( \frac{E}{R_e} - 1 \right) \cong \frac{s \cdot E}{2 \cdot R_e} = \frac{1,5 \cdot 2,1 \cdot 10^5}{2 \cdot 340} = 463 \text{ mm}$$

Minimální poloměr ohybu se stanoví dle vzorce (2.28)

$$R_{\min} = \frac{s}{2} \cdot \left( \frac{1}{\varepsilon_{\max}} - 1 \right) = c_m \cdot s = 0,5 \cdot 1,5 = 0,75 \text{ mm}$$

Navržená součást splňuje požadavky na velikost poloměru ohybu, který se musí nacházet v intervalu mezi maximálním a minimálním poloměrem ohybu. Všechny ohyby na součásti mají poloměr roven 1,6 mm a zadanou podmínku tak splňují. Odpružení součásti nemá vliv na její funkci a není jej tak nutné redukovat. Velikost odpružení by však způsobovala ulpívání součásti v ohybnici. Je tedy nutné použít vyhazovač.

- Výpočet ohýbací síly a práce

V jedné operaci je provedeno několik ohybů současně. Výsledná ohýbací síla je tak složena z dílčích složek jednotlivých ohybů. Dále je zvětšena o účinek síly kalibrační a o sílu potřebnou k překonání odporu pružiny přidržovače.

Síla pro ohyb do tvaru U ve směru menšího rozměru dle vzorce (2.31)

$$F_{o1} = \frac{R_m \cdot b \cdot s^2}{2} = \frac{410 \cdot 40,8 \cdot 1,5^2}{2} = 18\,819 \text{ N}$$

Kalibrační síla pro ohyb ve směru menšího rozměru dle vzorce (2.32)

$$F_{k1} = (1 \div 1,75) \cdot F_o = 1,75 \cdot 18\,819 = 32\,933 \text{ N}$$

Přidržovací síla pro ohyb ve směru menšího rozměru dle vzorce (2.33)

$$F_{p1} = (0,25 \div 0,33) \cdot F_o = 0,33 \cdot 18\,819 = 6\,210 \text{ N}$$

Celková ohýbací síla pro první ohyb dle vzorce (2.34)

$$F_{oc1} = F_{o1} + F_{k1} + F_{p1} = 18\,819 + 32\,933 + 6\,210 = 57\,962 \text{ N} \cong 58,0 \text{ kN}$$

Síla pro ohyb do tvaru U ve směru kolmém dle vzorce (2.31)

$$F_{o2} = \frac{R_m \cdot b \cdot s^2}{2} = \frac{410 \cdot 26,8 \cdot 1,5^2}{2} = 12\,362 \text{ N}$$

Kalibrační síla pro ohyb ve směru kolmém dle vzorce (2.32)

$$F_{k2} = (1 \div 1,75) \cdot F_o = 1,75 \cdot 12\,362 = 21\,633 \text{ N}$$

Přidržovací síla pro ohyb ve směru kolmém dle vzorce (2.33)

$$F_{p2} = (0,25 \div 0,33) \cdot F_o = 0,33 \cdot 12\,362 = 4\,079 \text{ N}$$

Celková ohýbací síla pro druhý ohyb dle vzorce (2.34)

$$F_{oc2} = F_{o2} + F_{k2} + F_{p2} = 12\,362 + 21\,633 + 4\,079 = 38\,074 \text{ N} \cong 38,1 \text{ kN}$$

Síla pro ohyb do tvaru V dle vzorce (2.29)

$$F_{o3} = \frac{1,2 \cdot R_m \cdot b \cdot s^2}{l_v} = \frac{1,2 \cdot 410 \cdot 26,8 \cdot 1,5^2}{16,33} = 1\,816 \text{ N}$$

Kalibrační síla pro V ohyb dle vzorce (2.32)

$$F_{k3} = (1 \div 1,75) \cdot F_o = 1,75 \cdot 1\,816 = 3\,178 \text{ N}$$

Celková ohýbací síla pro třetí ohyb dle vzorce (2.34)

$$F_{oc3} = F_{o3} + F_{k3} = 1\,816 + 3\,178 = 4\,994 \text{ N} \cong 5,0 \text{ kN}$$

Výsledná ohýbací síla je stanovena jako součet všech dílčích složek jednotlivých ohybů. Její velikost je tedy složena ze samotných ohýbacích sil, kalibračních sil a síly potřebné k překonání přidržovače.

$$F_{oc} = F_{oc1} + F_{oc2} + 2 \cdot F_{oc3} = 58,0 + 38,1 + 2 \cdot 5,0 = 106,1 \text{ kN}$$

Práce pro ohyb do tvaru U ve směru menšího rozměru dle vzorce (2.35)

$$A_{o1} = F_{oc1} \cdot h_{o1} \cdot k_{v,u} = 10^{-3} \cdot 57\,962 \cdot 10 \cdot 0,66 = 382,5 \text{ J}$$

Práce pro ohyb do tvaru U ve směru kolmém dle vzorce (2.35)

$$A_{o2} = F_{oc2} \cdot h_{o2} \cdot k_{v,u} = 10^{-3} \cdot 38\,074 \cdot 10 \cdot 0,66 = 251,3 \text{ J}$$

Práce pro ohyb do tvaru V dle vzorce (2.35)

$$A_{o3} = F_{oc3} \cdot h_{o3} \cdot k_{v,u} = 10^{-3} \cdot 4\,994 \cdot 6,05 \cdot 0,33 = 10,0 \text{ J}$$

Výsledná ohýbací práce je stanovena jako součet všech dílčích prací jednotlivých ohybů.

$$A_{oc} = A_{o1} + A_{o2} + 2 \cdot A_{o3} = 382,5 + 251,3 + 2 \cdot 10 = 653,8 \text{ J}$$

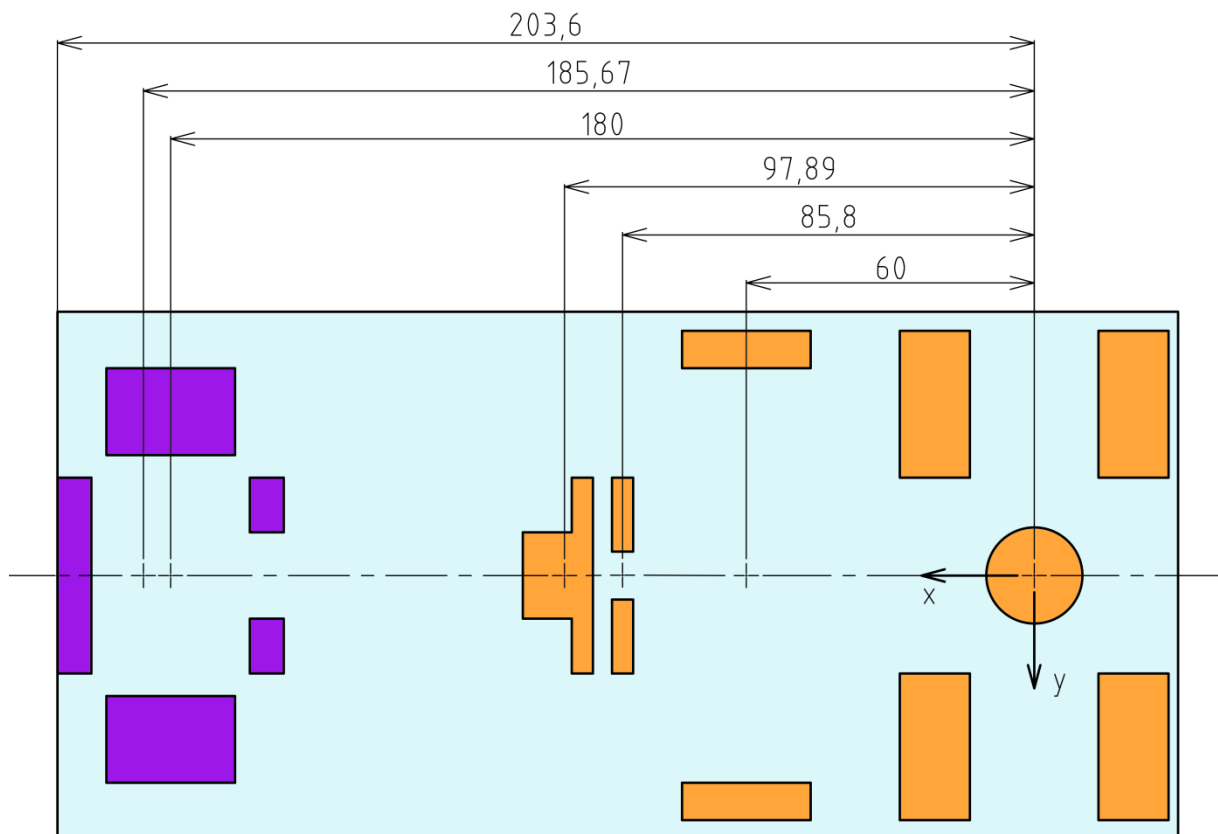


### 3.4.3 Těžiště sil

Po stanovení všech tvářecích sil je možné přikročit ke kroku stanovení jejich společného těžiště. Znalost působiště výsledné síly je důležitá kvůli umístění stopky nástroje do vhodné polohy. Pro nalezení těžiště je možné vybírat ze dvou metod. Grafická metoda je vhodná pro jednodušší případy. Pro výpočet těžiště je zvolena tedy výpočtová metoda, která vychází z momentové rovnováhy. Působiště jednotlivých sil jsou uvažována v těžištích příslušných obrazců a v případě složitějších tvarů musí být vypočtena. Vzhledem k symetrii nástřihového plánu podle osy x není nutné hledat polohu těžiště sil ve směru osy y, protože leží přímo na ose symetrie.

Momentová rovnováha se neobejde bez znalosti celkové tvářecí síly, která se skládá ze sil potřebných k vystřižení všech otvorů a sil potřebných k ohnutí všech ohybů. Dále zahrnuje síly stírací, protlačovací, kalibrovací a přidržovací. Veškeré silové zatížení zastupují vypočtené celkové síly střižné a ohýbací.

Určení působiště sil pro jednoduché geometrické obrazce jako obdélník nebo kruh není příliš složité, jelikož se nachází vždy v průsečíku os nebo ve středu. Těžiště složitějších tvarů byla vypočtena v programu Autocad. Byl zvolen počátek souřadného systému tak, že momenty od střižníků v prvním kroku se vyruší a není nutné s nimi dále počítat. Vzdálenosti od zvoleného počátku jsou schematicky znázorněny (obr. 51).



Obr. 51 Poloha působišť sil

Celková tvářecí síla se stanoví dle následujícího vzorce

$$F_c = F_{sc} + F_{oc} = 488 + 106,1 = 594,1 \text{ kN}$$

Momentová rovnováha k počátku x; y

$$F_c \cdot X = 2 \cdot F_{s3} \cdot 60 + 2 \cdot F_{s4} \cdot 85,8 + F_{s5} \cdot 97,9 + (F_{oc2} + 2 \cdot F_{oc3}) \cdot 180 \\ + F_{oc1} \cdot 185,7 + (F_{s6} + 2 \cdot F_{s7}) \cdot 203,6$$

Dosazení hodnot příslušných sil

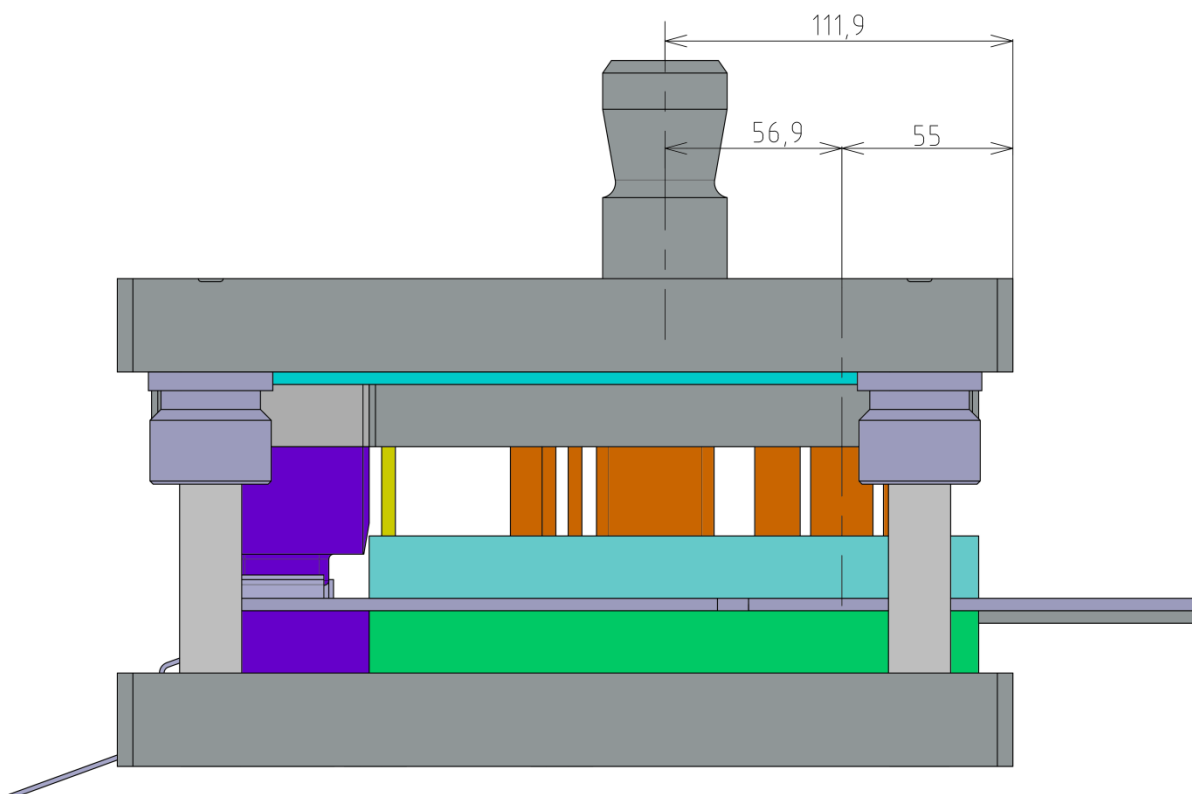
$$594,1 \cdot X = 2 \cdot 29 \cdot 60 + 2 \cdot 20,4 \cdot 85,8 + 55,2 \cdot 97,9 + (38,1 + 2 \cdot 5) \cdot 180 \\ + 58 \cdot 185,7 + (5,4 + 2 \cdot 2,2) \cdot 203,6$$

Poloha působíště celkové tvářecí síly

$$X = \frac{33\,808,6}{594,1} = 56,9 \text{ mm}$$

Výsledná vzdálenost stopky od hrany upínací desky je určena jako součet vzdálenosti osy kruhového otvoru od hrany upínací desky a vzdálenosti osy kruhového otvoru od působíště celkové tvářecí síly (obr. 52).

$$T = 56,9 + 55 = 111,9 \text{ mm}$$



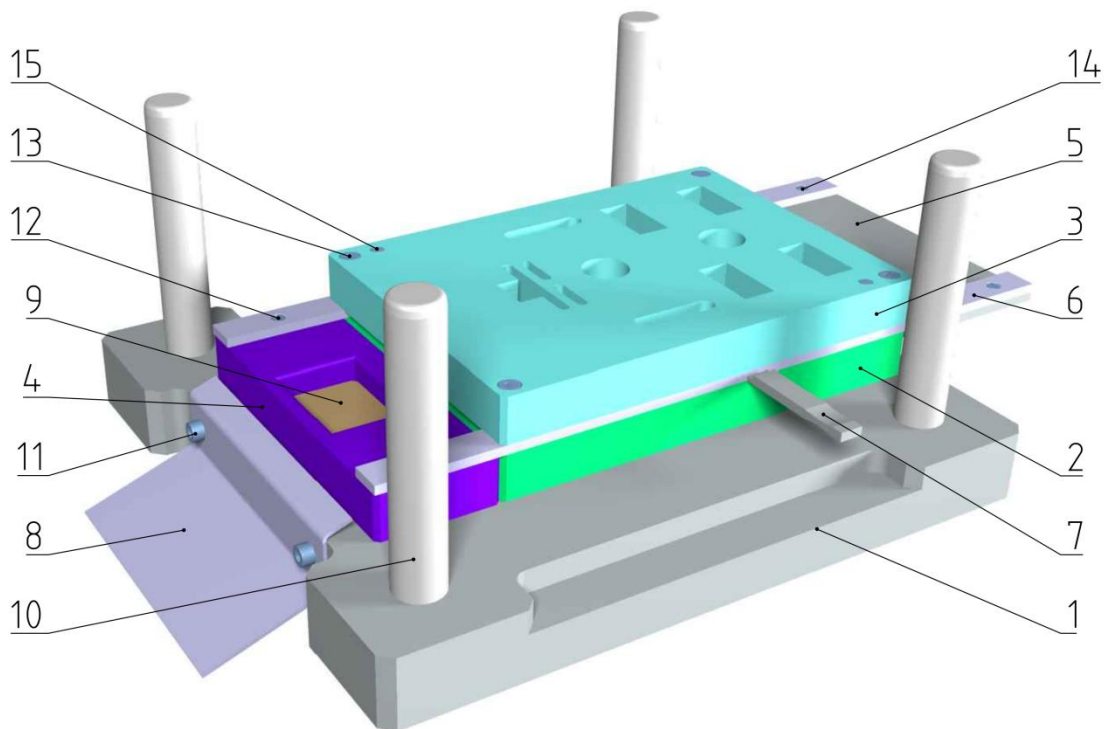
Obr. 52 Poloha stopky

### 3.5 Návrh nástroje

Na základě informací a výpočtů z předcházejících kapitol byl vypracován konstrukční návrh nástroje pro výrobu zadané součásti. Pro tvorbu 3D modelu byl použit program pro parametrické modelování Catia V5. Součástí práce jsou dále v přílohách výkresy zpracované v programu Autocad 2018. Pro tvorbu 3D modelu a 2D výkresové dokumentace byly použity rozdílné počítačové programy z důvodu obtížného zajištění všech požadavků na náležitosti výkresové dokumentace v programu Catia. Mezi oběma programy je zajištěna kompatibilita prostřednictvím souboru s příponou .dwg nebo .dxf. Nevýhodou je ale ztráta propojení mezi výkresem a modelem sestavy. Nástroj byl navržen ze dvou polovin. Horní a spodní polovina nástroje je popsána podrobněji na následujících stranách.

#### 3.5.1 Spodní polovina nástroje

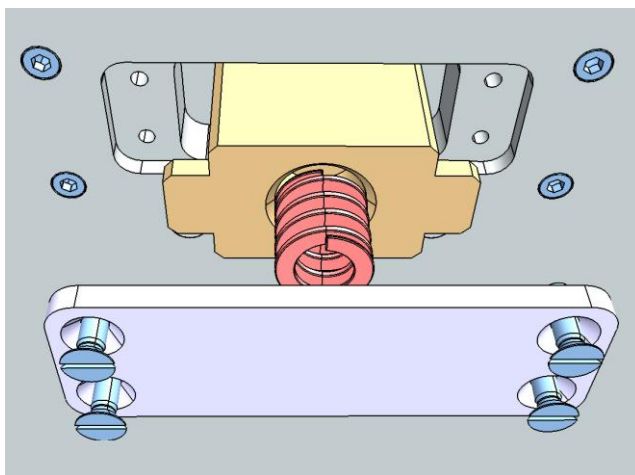
Hlavním nosným prvkem spodní poloviny nástroje (obr. 53) je základová deska (1). Slouží k upnutí celé spodní poloviny nástroje ke stolu lisu pomocí upínek, které ji přidržují za volný okraj. Velikost základové desky musí být taková, aby došlo k překrytí propadového otvoru ve stole lisu. Otvory v desce jsou zvětšeny vůči otvorům ve střížnici (2) tak, aby odpad mohl volně propadávat. Střížná deska je vyhotovena z jednoho kusu materiálu a střížné otvory se po kolmé části rozšiřují pod určitým úhlem, aby nedocházelo k ulpívání odpadu ve střížnici. Přesné vedení střížníků a hledáček zajišťuje vodící deska (3), která je pevnou částí spodní poloviny nástroje a slouží zároveň ke stírání pásu plechu ze střížníku při jejich zpětném pohybu. Ohybnice (4) je navržena jako celistvá. Boční vedení pásu plechu je zajištěno pomocí vodících lišt (6). Na začátku nástroje jsou prodlouženy a pomocí šroubů se zápustnou hlavou s drážkou (14) spojeny s podpěrným plechem (5). Na druhém konci jsou zarovnané a spojeny s ohybnicí opět šrouby se zápustnou hlavou s drážkou (12). První zavedení materiálu do nástroje je omezeno neodpruženým načínacím dorazem (7).



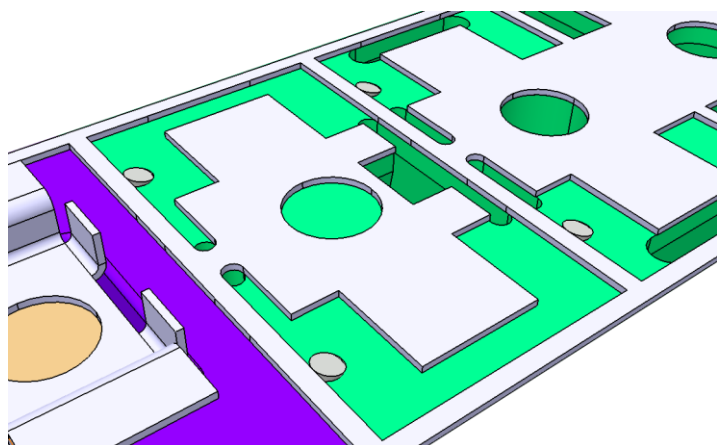
Obr. 53 Spodní polovina nástroje

Pro vzájemné spojení a slícování všech desek spodní poloviny nástroje slouží válcové kolíky (13) a šrouby s válcovou hlavou a vnitřním šestihranem (13). Na konci nástroje je pro snazší odvod součástí umístěn skluz (8), který je připevněn šrouby s válcovou hlavou a vnitřním šestihranem (11) k základové desce. Součástí spodní poloviny nástroje je také přídržovač (9) plnící zároveň vyhazovací funkci. Vzájemné vedení horní a spodní poloviny nástroje je zajištěno nalisovanými vodícími kolíky.

Spodní polovina nástroje je osazena přídržovačem (obr. 54), který zároveň plní funkci vyhazovače. Vyfrézovaný otvor v základové desce kopíruje tvar přídržovače a zajišťuje tak jeho vedení. Osazení na přídržovači a na základové desce omezuje vysunutí tak, aby horní plocha přídržovače nepřesahovala přes horní plochu ohybnice. Při posuvu ohybníku dolů se součást vtlačuje do ohybnice a současně dochází ke stlačování pružiny, která po odtížení ohybníku vytlačuje součást z ohybnice ven. Pružina se opírá ve spodní části o víko připevněné šrouby se zápusťnou hlavou s drážkou.



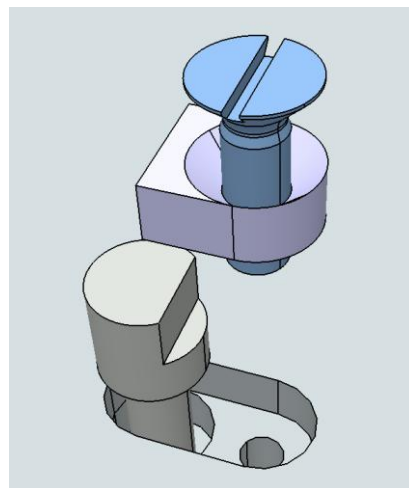
Obr. 54 Detail přídržovače



Obr. 55 Pevné dorazy

Zavedení pásu plechu do nástroje omezuje v prvním kroku načínací doraz. V případě, že nebude načínací doraz použit, může dojít ke kolizi hledáčku s plechem a poškození nástroje. V dalších krocích slouží k vymezení pozice pásu plechu ve směru posuvu dorazy pevné. Čtveřice pevných dorazů (obr. 55) používá k vymezení pozice můstek, který byl vystřížen v první operaci.

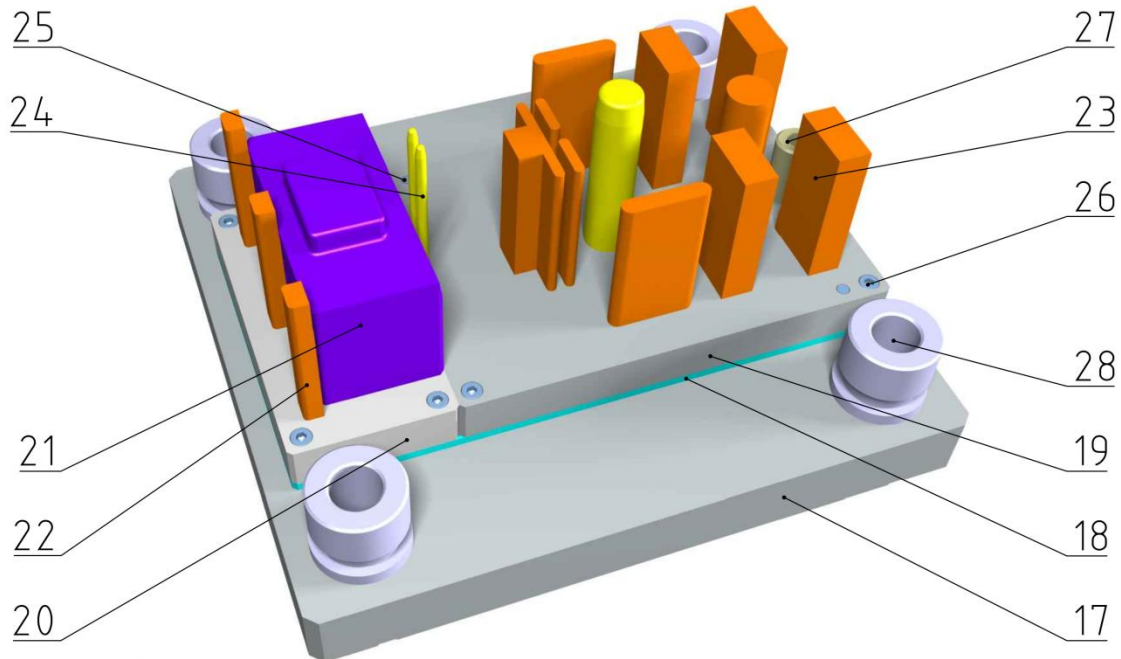
Dorazy jsou z jedné strany zkosené, aby na ně bylo možné plynule nasunout pás plechu. Pozice se vymezení až zpětným zatažením za pás plechu. Dorazy jsou navrženy jako rotační součást. Vzhledem k jejich geometrii by mohlo docházet k jejich pootočení, což by bylo nežádoucí. Součást je ve spodní části opatřena osazením a frézovanou ploškou (obr. 56). Protikusem je tvarová podložka, která brání zároveň otočení dorazu i jeho vypadnutí z upínací desky.



Obr. 56 Kotvení dorazu

### 3.5.2 Horní polovina nástroje

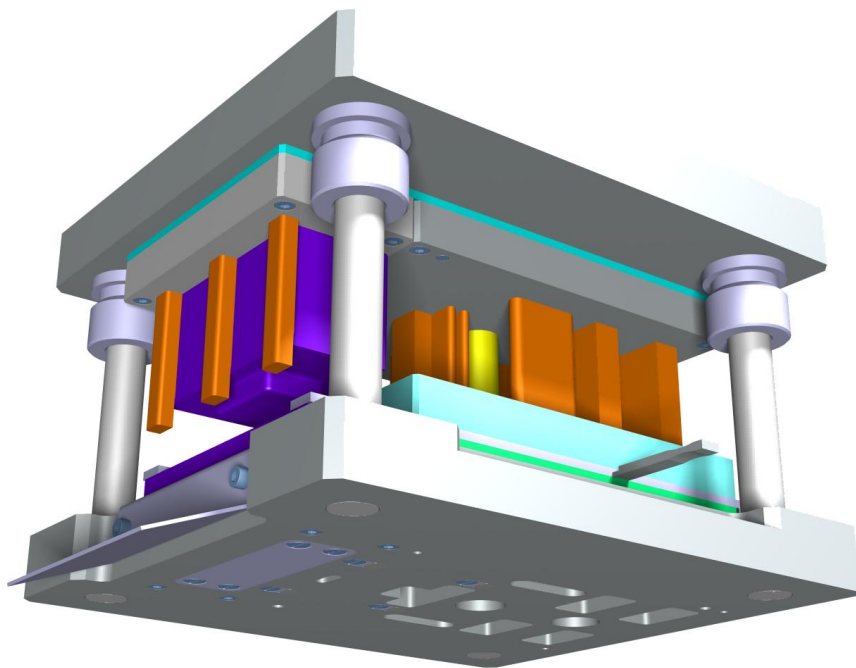
Hlavní nosnou součástí horní poloviny nástroje (obr. 57) je upínací deska (17). Plní funkci ukotvení všech prvků horní poloviny nástroje a zároveň pomocí stopky v těžišti tvářecích sil ukotvení horní poloviny nástroje k beranu výstředníkového lisu. Kotevní deska (19) slouží k zajištění střížníků (23) a hledáček (24) proti vysunutí působením stírací síly. Opěrná deska (18) je umístěna mezi kotevní a upínací deskou. Je vyrobena z kalené oceli a brání otláčování střížníků do upínací desky. Desky jsou smontovány pomocí šroubů s válcovou hlavou a vnitřním šestihranem (26). Jejich přesnou pozici zajišťují válcové kolíky (25).



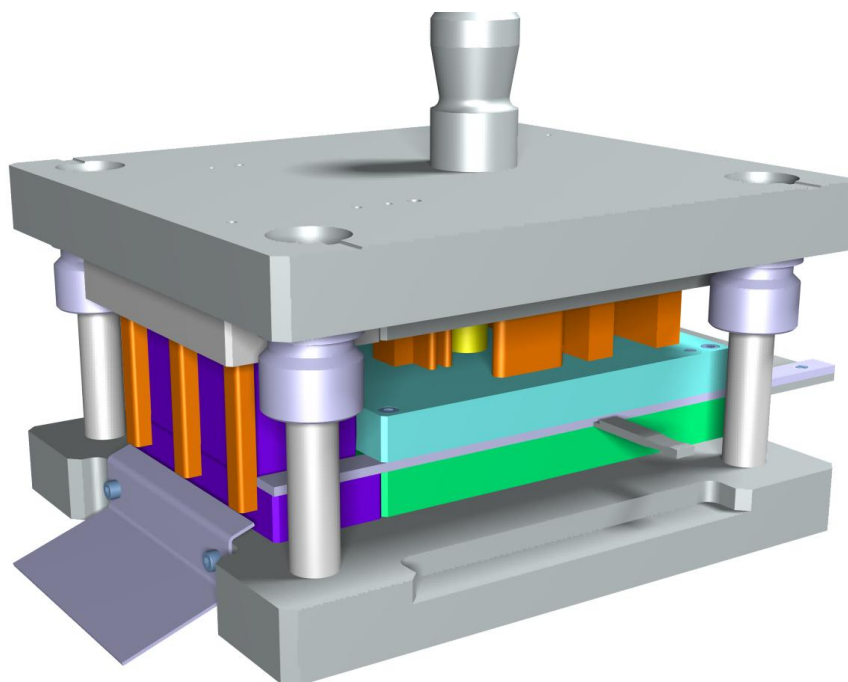
Obr. 57 Horní polovina nástroje

Druhá kotevní deska (20) obsahuje otvory pro umístění rozstřihovacích střížníků (22), které oddělují plech od můstku bezprostředně před ohnutím a zároveň rozstřihují odpad na menší části, aby mohl být snáze skladován. Ohybník (21) je ke kotevní desce připevněn šrouby s válcovou hlavou a vnitřním šestihranem z opačné strany a musí být na svém místě ještě před připevněním kotevní desky k desce upínací. Vzájemné vedení horní a spodní poloviny nástroje je realizováno pomocí vodících kolíků a vodících pouzder (28). Zároveň jsou obě poloviny nástroje vedeny pomocí střížníků a vodící desky. Při skladování je možné položit horní polovinu nástroje na tu spodní tak, že ohybník bude ležet plochou na ohybnici a na druhé straně se výškový doraz (27) zastaví o vodící desku.

Spodní polovinu nástroje je možné pomocí upínek připevnit ke stolu lisu s T drážkami. Vzhledem k rozměrům pracovního prostoru lisu bude nutné nástroj podložit. Horní polovina nástroje je osazena normalizovanou stopkou, která přísluší upínací dutině tvářecího stroje. Vedení horní a dolní poloviny nástroje je realizováno vodícími sloupky, které jsou nalisovány v základové desce a vodícími pouzdry, která jsou nalisována v desce upínací. Sestavený nástroj v horní úvrati (obr. 58) a v dolní úvrati (obr. 59) je navržen pro konkrétní tvářecí stroj.



Obr. 58 Nástroj v horní úvrati



Obr. 59 Nástroj v dolní úvrati

### 3.5.3 Tvářecí stroj

Volba tvářecího stroje ovlivňuje konstrukci nástroje a naopak. Základním parametrem tvářecího stroje je jmenovitá síla, která nesmí být překročena. Vypočtená celková tvářecí síla musí být tedy nižší než jmenovitá síla vybraného stroje. Pro konstrukci nástroje jsou také důležité rozměry pracovního prostoru lisu, zejména pak zdvih beranu a rozměry upínací plochy pro horní a dolní polovinu nástroje. Volba tvářecího stroje se vzhledem k požadavkům firmy zúžila na dostupné strojní vybavení. Hodnota celkové tvářecí síly je 594,1 kN. Podmínku vyšší jmenovité síly lisu splňuje výstředníkový lis LEN 63 C výrobce Šmeral Trnava (obr. 60). Jeho parametry jsou uvedeny v tab. 11. Vzhledem k absenci podávacího zařízení bude stroj a nástroj obsluhován jedním pracovníkem. Zavádění pásu plechu je možné za použití dorazů.



Obr. 60 LEN 63 C [31]

Tab. 11 Parametry lisu LEN 63 C

Parametr	Jednotka	Hodnota
Jmenovitá tvářecí síla	[kN]	630
Maximální počet zdvihů	[min <sup>-1</sup> ]	65 ÷ 130
Jednotlivé zdvihy	[min <sup>-1</sup> ]	45 ÷ 50
Zdvih beranu	[mm]	10 ÷ 105
Přestavitelnost beranu	[mm]	70
Vyložení	[mm]	315
Sevření	[mm]	335
Rozměry stolu	[mm]	800 x 630
Rozměr beranu	[mm]	460 x 280
Rozměry lisu (d x š x v)	[mm]	1425 x 1790 x 2550
Příkon	[kW]	7,5
Hmotnost	[kg]	5 850

### 3.6 Tahová zkouška

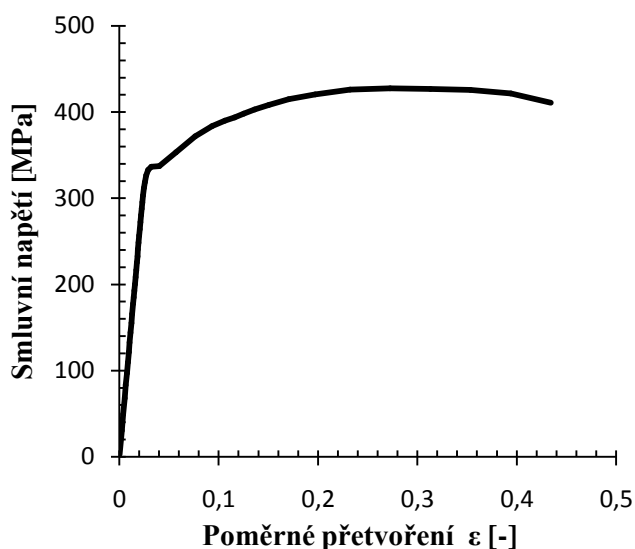
Součástí práce bylo ověření mechanických vlastností dodaného materiálu. Pro tahovou zkoušku byla vyrobena série deseti zkušebních těles, přičemž polovina z nich je orientována ve směru válcování plechu a druhá polovina vzorků je orientována kolmo na směr válcování. Jedná se o plech H340LA tloušťky 1,5 mm ve formě zkušebních těles (obr. 61). Tahová zkouška byla provedena na hydraulickém zkušebním stroji ZD40, který je propojen s programem M-Test v1.7 sloužícím pro zapisování hodnot a vyhodnocení závislostí v průběhu měření.



Obr. 61 Zkušební těleso před a po tahové zkoušce

Zkouška proběhla na hydraulickém zkušebním stroji, kde byla nastavena rychlost zatěžování na hodnotu  $8 \text{ MPa}\cdot\text{s}^{-1}$ . Doba zatěžování se u jednotlivých vzorků pohybovala od 59 do 60 sekund. Materiál vykazuje chování s výraznou mezí kluzu (obr. 62). Pro vzorky ve směru válcování a kolmo na směr válcování byly vypočteny průměrné hodnoty vždy z pěti vzorků. Výsledné mechanické vlastnosti se v jednotlivých případech liší jen minimálně. Největší rozdíl je pozorován mezi hodnotami meze kluzu v závislosti na směru válcování. U vzorků kolmo na směr válcování je mez kluzu asi o 5 % vyšší než u vzorků ve směru válcování. Přehled mechanických vlastností je v tab. 12.

Smluvní tahový diagram (vzorek 1)



Obr. 62 Smluvní tahový diagram

Tab. 12 vyhodnocení tahové zkoušky

Mechanické vlastnosti	Mez kluzu [MPa]	Mez Pevnosti [MPa]	Tažnost [%]
<b>Ve směru válcování</b>	334,96	425,85	32,3
<b>Kolmo na směr válcování</b>	351,49	431,19	29,6



## 4 TECHNICKO – EKONOMICKÉ ZHODNOCENÍ [32]

Zhodnocení výroby po stránce technicko – ekonomické by mělo poskytnout odpověď na otázku, zda se výroba zadané součásti za zvolených technologických podmínek vůbec vyplatí. Navržený výrobní postup se zabývá výrobou součásti na lisu LEN 63 C, který je součástí výrobního zařízení vybrané firmy. Pořizovací náklady stroje tak do výpočtu nevstupují. Naopak bude nutné navrhnout cenu sdruženého nástroje. Daný typ nástroje je vhodný již pro série od 10 000 ks ročně. Roční výrobní série součásti Klec ECR 10 12 je přibližně 10 000 ks.

### ▪ Náklady na materiál

Součást bude vyráběna z oceli DC01 nebo jejích ekvivalentů v závislosti na aktuálních možnostech oddělení nákupu. Tabule plechu o rozměrech 3 000 x 1 500 mm tloušťky 1,5 mm se rozdělí na pásy plechu o šířce 110 mm a délce 1 500 mm. Celkový počet tabulí potřebný pro výrobu celé série je 15 ks.

Hmotnost jedné tabule

$$m_t = \rho_t \cdot s_t \cdot l_t \cdot s = 7\,850 \cdot 1,5 \cdot 3 \cdot 0,0015 = 53 \text{ kg} \quad (4.1)$$

kde:  $\rho_t$  [ $\text{kg}\cdot\text{m}^{-3}$ ] – objemová hmotnost oceli

Celková hmotnost materiálu

$$m_{tc} = n_t \cdot m_t = 15 \cdot 53 = 795 \text{ kg} \quad (4.2)$$

Hmotnost jednoho výrobků

$$m_v = \rho_t \cdot s \cdot S_v = 7\,850 \cdot 1,5 \cdot 10^{-3} \cdot 2\,650 \cdot 10^{-6} = 0,0312 \text{ kg} \quad (4.3)$$

Celková hmotnost výrobků

$$m_{vc} = n_v \cdot m_v = 10\,000 \cdot 0,0312 = 312 \text{ kg} \quad (4.4)$$

Celková hmotnost odpadu

$$m_{oc} = m_{tc} - m_{vc} = 795 - 312 = 483 \text{ kg} \quad (4.5)$$

Cena materiálu byla stanovena na základě informací oddělení nákupu na 24,80 Kč·kg<sup>-1</sup>.

Aktuální výkupní cena kovového odpadu dosahuje 4,50 Kč·kg<sup>-1</sup>.

Náklady na materiál

$$N_{tc} = C_t \cdot m_{tc} = 24,8 \cdot 795 = 19\,716 \text{ Kč} \quad (4.6)$$

kde:  $C_t$  [ $\text{Kč}\cdot\text{kg}^{-1}$ ] – cena materiálu

Zisk z prodeje odpadu

$$N_{oc} = C_o \cdot m_{oc} = 4,5 \cdot 483 = 2\,174 \text{ Kč} \quad (4.7)$$

kde:  $C_o$  [ $\text{Kč}\cdot\text{kg}^{-1}$ ] – výkupní cena odpadu

Celkové náklady na materiál

$$N_m = N_{tc} - N_{oc} = 19\,716 - 2\,174 = 17\,542 \text{ Kč} \quad (4.8)$$

Materiálové náklady na jednu součást

$$N_{ms} = \frac{N_m}{n_v} = \frac{17\,542}{10\,000} = 1,75 \text{ Kč} \quad (4.9)$$

- Náklady na mzdy

K zajištění výroby na lisu je zapotřebí jeden pracovník, který zajišťuje podávání materiálu do nástroje případně výměnu přepravek na hotové výrobky a odpadní materiál. Celková doba pracovní směny je 7,5 hodiny. Při započtení času na přípravné práce lze uvažovat s využitelnou dobou práce 6 hodin za směnu. Hodinová hrubá mzda pracovníka vstupuje do výpočtu hodnotu 150 Kč·hod<sup>-1</sup>. Dle aktuální legislativy je zaměstnavatel povinen odvádět sociální pojištění ve výši 25% hrubé mzdy a zdravotní pojištění 9% hrubé mzdy.

Počet součástí vyrobených za hodinu

$$n_h = n_z \cdot 60 = 45 \cdot 60 = 2\,700 \text{ ks} \quad (4.10)$$

Počet součástí vyrobených za jednu směnu

$$n_{sm} = n_h \cdot t_s = 2\,700 \cdot 6 = 16\,200 \text{ ks} \quad (4.11)$$

kde:  $t_s$  [hod] – využitelný čas směny

Počet směn pro vyrobení celé série

$$N_{sm} = \frac{n_v}{n_{sm}} = \frac{10\,000}{16\,200} = 0,62 \text{ směny} \quad (4.12)$$

Počet hodin pro vyrobení celé série

$$N_h = N_{sm} \cdot t_p = 0,62 \cdot 7,5 = 4,65 \Rightarrow 5 \text{ hod} \quad (4.13)$$

kde:  $t_p$  [hod] – čas směny včetně příprav

Náklady na hrubou mzdu pracovníka

$$N_{pmz} = N_h \cdot C_h = 5 \cdot 150 = 750 \text{ Kč} \quad (4.14)$$

kde:  $C_h$  [Kč·hod<sup>-1</sup>] – hodinová hrubá mzda

Náklady na sociální a zdravotní pojištění odvedené zaměstnavatelem

$$N_{psz} = N_{pmz} \cdot (0,09 + 0,25) = 750 \cdot 0,34 = 255 \text{ Kč} \quad (4.15)$$

Celkové náklady na mzdu pracovníka

$$N_{pmzc} = N_{pmz} + N_{psz} = 750 + 255 = 1\,005 \text{ Kč} \quad (4.16)$$

Mzdové náklady na jednu součást

$$N_{ps} = \frac{N_{pmzc}}{n_v} = \frac{1\,005}{10\,000} = 0,10 \text{ Kč} \quad (4.17)$$

- Režijní náklady a energie

Další položkou celkové ceny za výrobek jsou náklady spojené nepřímo s jeho výrobou. Režie pokrývá náklady na další pracovníky podniku, kteří jsou nezbytní pro jeho správné fungování. Jedná se o vedoucí pracovníky, konstruktéry, technology, ale i uklízečky. Dále sem spadá spotřební materiál jako ochranné pomůcky nebo spotřeba elektrické energie. Konkrétní spotřeba elektrické energie lze ale stanovit přímo u tvářecího stroje.

Režijní náklady

$$N_r = N_{pmzc} \cdot t_r = 1\,005 \cdot 5 = 5\,025 \text{ Kč} \quad (4.18)$$

kde:  $t_r$  [-] – koeficient režijních nákladů

Náklady na spotřebu elektrické energie stroje

$$N_e = P_s \cdot N_h \cdot C_e = 7,5 \cdot 5 \cdot 4 = 150 \text{ Kč} \quad (4.19)$$

kde:  $P_s$  [kW] – příkon stroje

$C_e$  [Kč·kWh<sup>-1</sup>] – cena elektrické energie

- Náklady na výrobu nástroje

Největší položkou z celkových nákladů jsou při dané výrobní sérii náklady na konstrukci a výrobu tvářecího nástroje. Cena nástroje byla stanovena na základě porovnání cen podobných nástrojů a odhadu nástrojařské dílny.

$$N_n = 95\,800 \text{ Kč} \quad (4.20)$$

- Celkové náklady na zhotovení jedné součásti

$$N_c = \frac{N_m + N_{pmzc} + N_r + N_e + N_n}{n_v} = \frac{17\,542 + 1\,005 + 5\,025 + 150 + 95\,800}{10\,000} = 11,95 \text{ Kč} \quad (4.21)$$

Tržní cena jednoho výrobku

$$N_{tv} = N_c \cdot t_t = 11,95 \cdot 1,4 = 16,73 \text{ Kč} \quad (4.22)$$

kde:  $t_t$  [-] – koeficient navýšení tržeb

Celkové tržby

$$T_c = N_{tv} \cdot n_v = 16,73 \cdot 10\,000 = 167\,300 \text{ Kč} \quad (4.23)$$

Fixní náklady

$$N_{fix} = N_r + N_n = 5\,025 + 95\,800 = 100\,825 \text{ Kč} \quad (4.24)$$

Variabilní náklady

$$N_{var} = \frac{N_m + N_{pmzc} + N_e}{n_v} = \frac{17\,542 + 1\,005 + 150}{10\,000} = 1,87 \text{ Kč} \quad (4.25)$$

Bod zvratu

$$Q_b = \frac{N_{fix}}{N_{tv} - N_{var}} = \frac{100\,825}{16,73 - 1,87} = 6\,784 \text{ ks} \quad (4.26)$$

Pokud bude uvažováno s výše uvedenými hodnotami celkových nákladů a prodejní cenou hotového výrobku, pak se výroba stane ziskovou po překročení vyrobených 6 784 ks. Výroba by se mohla stát více ziskovou po rozložení nákladů na nástroj do delšího časového úseku. Prodejní cena součásti vyrobené stávajícím technologickým postupem je 17,80 Kč. Náklady na výrobu jedné součásti stávajícím postupem jsou 11,50 Kč. Lze tedy usoudit, že výroba oběma postupy vykazuje podobnou ekonomickou náročnost.

## 5 ZÁVĚRY

Řešenou součástí byla Klec ECR 10 12, která slouží v sestavě společně s maticí jako kotevní bod při montáži autobusů Iveco. Materiál pro výrobu součásti je běžně dostupná konstrukční ocel DC01 (11 321) vhodná ke tváření za studena. Jedná se o ohýbaný plechový dílec tloušťky 1,5 mm o vnějších rozměrech 72 x 33 x 11,5 mm. Celková roční výrobní série čítá 10 000 kusů. Po zhodnocení dostupných výrobních technologií bylo následně přikročeno k volbě technologie výroby ve sdruženém nástroji, který je vhodný pro vyšší výrobní série, ale podle literatury se může vyplatit již od zmíněných deseti tisíc kusů ročně.

V rámci technologických výpočtů byl stanoven rozvinutý tvar polotovaru, podle kterého se následně stanovilo vhodné rozvržení výstřížků na pásu plechu. Jako vstupní polotovar byla zvolena tabule plechu dělená na pásy o šířce 110 mm. Počet kroků potřebných ke zhotovení všech operací byl stanoven na čtyři. V prvních třech krocích probíhá vystřížení kruhového otvoru a vnějšího tvaru součásti. V posledním kroku je součást ohnuta. Zároveň je v posledním kroku odstřížena a rozstřížen odpad. Výsledná hodnota tvářecí síly byla stanovena na 594,1 kN. Na základě této hodnoty byl pro výrobu součásti zvolen excentrický lis LEN 63 C. Konstrukce sdruženého nástroje odpovídá pracovnímu prostoru zvoleného lisu.

Z technicko-ekonomického zhodnocení vychází pro dané vstupní podmínky téměř shodná cena jedné součásti vyrobené stávajícím i nově navrženým výrobním postupem. Výroba ve sdruženém nástroji by byla pro podnik výhodná především z důvodu uvolnění kapacity na ohráňovacích lisech.

Dalším možným řešením by mohla být příprava rozvinutého tvaru součásti pálením na laseru a zhotovení všech ohybů současně v jednoduchém ohýbacím nástroji. Cena ohýbacího nástroje by byla v porovnání s cenou nástroje sdruženého výrazně nižší. Touto variantou se však tato práce nezabývá.

## SEZNAM POUŽITÝCH ZDROJŮ [33]

1. BAČA, Jozef, Jozef BÍLIK a Viktor TITTEL. *Technológia tvárnenia*. Bratislava: Nakladateľstvo STU, 2010, 245s. Edícia vysokoškolských učebníc. ISBN 978-80-227-3242-0.
2. FOREJT, Milan. *Teorie tváření*. Vyd. 2. Brno: Akademické nakladatelství CERM, 2004, 167s. ISBN 80-214-2764-7.
3. BOLJANOVIC, Vukota. *Sheet Metal Forming Processes and Die Design*. New York: Industrial Press, 2004. ISBN 08-311-3182-9.
4. BIRZER, Franz. *Forming and fineblanking: cost effective manufacture of accurate sheetmetal parts*. Landsberg/Lech: Verlag Moderne Industrie, 1997. ISBN 34-789-3161-4.
5. DILLINGER, Josef. *Moderní strojírenství pro školu i praxi*. Praha: Europa-Sobotáles, 2007. ISBN 978-80-86706-19-1.
6. Technologie tváření. *Technická univerzita Liberec* [online]. [cit. 2019-02-10]. Dostupné z: [http://www.ksp.tul.cz/cz/kpt/obsah/vyuka/skripta\\_tkp/sekce/01.htm](http://www.ksp.tul.cz/cz/kpt/obsah/vyuka/skripta_tkp/sekce/01.htm)
7. Stamped Parts. *Vicount* [online]. [cit. 2019-02-10]. Dostupné z: <http://vicount.net/wp-content/uploads/Stamped-Parts-51.jpg>
8. Bent Sheet Metal Part. *Meliorlaser* [online]. [cit. 2019-02-10]. Dostupné z: [https://www.meliorlaser.hu/images/galeria/lezervagas\\_elhajlitas/80-hajlitott-lemzalkatresz-1.JPG](https://www.meliorlaser.hu/images/galeria/lezervagas_elhajlitas/80-hajlitott-lemzalkatresz-1.JPG)
9. Forged Tie Rod End. *Tradeindia* [online]. [cit. 2019-02-10]. Dostupné z: <https://tiimg.tistatic.com/fp/1/001/673/forged-tie-rod-end-series-092.jpg>
10. Mechanické vlastnosti oceli. *Alfun metal* [online]. [cit. 2019-01-28]. Dostupné z: <http://www.alfun.cz/ocel>
11. Princip laseru. *Leonardo technology* [online]. [cit. 2019-01-28]. Dostupné z: <http://www.lt.cz/e-learning/laser>
12. Řezání laserem. *Odbor technologie svařování a povrchových úprav* [online]. 2013 [cit. 2019-01-28]. Dostupné z: [http://ust.fme.vutbr.cz/svarovani/img/opory/hsv\\_specialni\\_metody\\_svarovani\\_rezani\\_laserem\\_2013\\_mrna.pdf](http://ust.fme.vutbr.cz/svarovani/img/opory/hsv_specialni_metody_svarovani_rezani_laserem_2013_mrna.pdf)
13. Laser cutting. *Engineersjournal* [online]. [cit. 2019-02-12]. Dostupné z: <http://www.engineersjournal.ie/wp-content/uploads/2014/03/Metal-cutting.jpg>
14. Dělení a svařování plazmou *Odbor technologie svařování a povrchových úprav* [online]. 2013 [cit. 2019-01-28]. Dostupné z: [http://ust.fme.vutbr.cz/svarovani/img/opory/hsv\\_specialni\\_metody\\_svarovani\\_deleni\\_a\\_svarovani\\_plazmou\\_2013\\_mrna.pdf](http://ust.fme.vutbr.cz/svarovani/img/opory/hsv_specialni_metody_svarovani_deleni_a_svarovani_plazmou_2013_mrna.pdf)
15. Plasma cutting. *Dagomet*. [online]. [cit. 2019-02-19]. Dostupné z: <http://www.dagomet.cl/wp-content/uploads/2017/05/47-1.jpg>
16. Vodní paprsek. *HomeN VŠB*. [online]. [cit. 2019-02-20]. Dostupné z: <http://homen.vsb.cz/~hla80/2009Svarovani/2-17.pdf>
17. Water jet cutting. *Ant-ag* [online]. [cit. 2019-02-20]. Dostupné z: <https://ant-ag.com/files/content/home/flexslider/1-hero-slider-unternehmen.jpg>

18. Nástroje pro ohraňovací lisy. *Trumpf* [online]. [cit. 2019-02-05]. Dostupné z: [https://www.trumpf.com/filestorage/TRUMPF\\_Master/Products/Services/01\\_brochures/TRUMPF-bending-tools-catalog-EN.pdf](https://www.trumpf.com/filestorage/TRUMPF_Master/Products/Services/01_brochures/TRUMPF-bending-tools-catalog-EN.pdf)
19. Ohraňování. *CTS-Moravia*. [online]. [cit. 2019-02-12]. Dostupné z: <http://files.cts-moravia.webnode.cz/200000159-0157a034b3/ohranovani.jpg>
20. BOBČÍK, Ladislav. *Střížné nástroje pro malosériovou výrobu*. Praha: SNTL, 1983, 213 s.
21. Postupový nástroj. *FaM Tools* [online]. [cit. 2019-02-20]. Dostupné z: <http://www.famtools.cz/img/sluzby/postupove/img06.jpg>
22. DVOŘÁK, Milan, František GAJDOŠ a Ladislav ŽÁK. *Technologie tváření: návody do cvičení*. Vyd. 2. Brno: Akademické nakladatelství CERM, 2005, 103 s. ISBN 80-214-2881-3.
23. NOVOTNÝ, Josef a Zdeněk LANGER. *Stříhání a další způsoby dělení kovových materiálů*. Praha: Státní nakladatelství technické literatury, 1980, 216 s.
24. KOTOUČ, Jiří, Jan ŠANOVEC, Jan ČERMÁK a Luděk MÁDLE. *Tvářecí nástroje*. Praha: České vysoké učení technické, 1993, 349 s. ISBN 80-010-01003-1.
25. NOVOTNÝ, Karel. *Tvářecí nástroje*. 1. Brno: Vysoké učení technické, 1992. ISBN 80-214-0401-9.
26. BAREŠ, Karel. Lisování: *Určeno [také] stud. na stř. a vys. odb. školách*. Praha: SNTL, 1971, 542 s.
27. DVOŘÁK, Milan. *Technologie II*. Vyd. 3., dopl., v Akademickém nakl. CERM 2. vyd. Brno: Akademické nakladatelství CERM, 2004, 238 s. ISBN 80-214-2683-7
28. DVOŘÁK, Milan, František GAJDOŠ a Karel NOVOTNÝ. *Technologie tváření: plošné a objemové tváření*. Vyd. 4., V Akademickém nakladatelství CERM 2. Brno: Akademické nakladatelství CERM, 2007, 169 s. ISBN 978-80-214-3425-7
29. FOREJT, Milan a Miroslav PÍŠKA. *Teorie obrábění, tváření a nástroje*. Brno: Akademické nakladatelství CERM, 2006, 225 s. ISBN 80-214-2374-9.
30. LIDMILA, Zdeněk. *Teorie a technologie tváření*. Brno: Univerzita obrany, 2008, 112 s. ISBN 978-80-7231-579-6.
31. Výstředníkový lis LEN 63 C. *Hyperinzerce.cz* [online]. [cit. 2019-04-17]. Dostupné z: <https://img2.hyperinzerce.cz/x-cz/inz/11974/11974511-lis-vystrednikovy-len-63-c-1.jpg>
32. Mzdová kalkulačka. *Keloc* [online]. [cit. 2019-04-17]. Dostupné z: <https://www.keloc-software.cz/mzdova-kalkulacka>
33. Citace. *CitacePRO* [online]. [cit. 2019-04-25]. Dostupné z: <https://citace.lib.vutbr.cz>

## SEZNAM POUŽITÝCH SYMBOLŮ A ZKRATEK

Označení	Legenda	Jednotka
$A_o$	ohybová práce	[J]
$A_s$	střížná práce	[J]
$b$	šířka materiálu	[mm]
$c$	součinitel závislý na stupni stříhu	[-]
$C$	součinitel geometrie ohybu	[-]
$c_1$	součinitel stírání	[-]
$c_2$	součinitel protlačování	[-]
$C_e$	cena elektrické energie	[Kč]
$C_h$	hodinová hrubá mzda	[Kč·hod <sup>-1</sup> ]
$c_m$	součinitel vlivu materiálu	[-]
$C_o$	výkupní cena odpadu	[Kč·kg <sup>-1</sup> ]
$C_t$	cena materiálu	[Kč·kg <sup>-1</sup> ]
$e$	velikost můstku	[mm]
$E$	modul pružnosti v tahu	[MPa]
$f$	šířka okraje	[mm]
$F_c$	celková síla	[N]
$F_k$	kalibrační síla	[N]
$F_o$	ohýbací síla	[N]
$F_{oc}$	celková ohýbací síla	[N]
$F_p$	síla přidržovací	[N]
$F_{pr}$	protlačovací síla	[N]
$F_s$	střížná síla	[N]
$F_{sc}$	celková střížná síla	[N]
$F_{st}$	stírací síla	[N]
$g$	okraj po ostřížení	[mm]
$H$	tloušťka střížnice	[mm]
$h_{el}$	hloubka elastického vniknutí	[mm]
$h_o$	zdvih nástroje	[mm]
$h_{pl}$	hloubka plastického vniknutí	[mm]
$h_s$	hloubka vniknutí střížných hran	[mm]
$I$	moment setrvačnosti průřezu	[mm <sup>4</sup> ]
$k$	délka kroku	[mm]
$k_a$	součinitel hloubky vtlačení	[-]
$k_b$	koeficient bezpečnosti	[-]
$k_o$	koeficient odpružení	[-]
$k_{v,u}$	koeficient zaplnění diagramu	[-]
$l_c$	celková rozvinutá délka	[mm]
$l_i$	délka rovného úseku	[mm]
$l_k$	kritická délka střížníku	[mm]
$l_o$	délka ohnutého úseku	[mm]
$l_{oi}$	délka ohnutého úseku	[mm]
$l_p$	délka pásu	[mm]
$l_t$	délka tabule	[mm]

$l_u$	vzdálenost mezi opěrami	[mm]
$l_v$	vzdálenost mezi opěrami ohybnice	[mm]
$l_{vs}$	délka výstřižku	[mm]
$m_{oc}$	celková hmotnost odpadu	[kg]
$m_t$	hmotnost tabule	[kg]
$m_{tc}$	celková hmotnost materiálu série	[kg]
$m_v$	hmotnost výrobku	[kg]
$m_{vc}$	celková hmotnost výrobků	[kg]
$N_c$	celkové náklady na jednu součást	[Kč]
$N_e$	náklady na spotřebu energie	[Kč]
$N_{fix}$	fixní náklady	[Kč]
$n_h$	počet součástí za hodinu	[ks]
$N_h$	počet hodin pro vyrobení série	[-]
$N_n$	náklady na výrobu nástroje	[Kč]
$N_m$	celkové náklady na materiál	[Kč]
$N_{ms}$	materiálové náklady na jednu součást	[Kč]
$n_o$	součinitel otupení břitů	[-]
$N_{oc}$	náklady na materiál	[Kč]
$n_p$	počet pásů	[ks]
$N_{pmz}$	náklady na hrubou mzdu	[Kč]
$N_{ps}$	mzdové náklady na jednu součást	[Kč]
$N_{psz}$	náklady na sociální a zdravotní pojištění	[Kč]
$N_r$	režijní náklady	[Kč]
$n_{sm}$	počet součástí za směnu	[ks]
$N_{sm}$	počet směn pro vyrobení série	[-]
$n_t$	počet tabulí	[ks]
$N_{tc}$	náklady na materiál	[Kč]
$N_{tv}$	tržní cena jedné součásti	[Kč]
$n_v$	počet výstřižků za rok	[ks]
$N_{var}$	variabilní náklady	[Kč]
$n_{vp}$	počet výstřižků na jeden pás	[ks]
$n_{vt}$	počet výstřižků na jedné tabuli	[ks]
$P_s$	příkon stroje	[kW]
$Q_b$	bod zvratu	[ks]
$R_0$	poloměr ohybu	[mm]
$R_a$	střední aritmetická úchylka profilu	[ $\mu$ m]
$R_e$	mez kluzu	[MPa]
$R_m$	mez pevnosti v tahu	[MPa]
$R_{max}$	maximální poloměr ohybu	[mm]
$R_{min}$	minimální poloměr ohybu	[mm]
$r_o$	poloměr ohybnice	[mm]
$s$	tloušťka materiálu	[mm]
$S_p$	plocha pásu	[mm <sup>2</sup> ]
$S_s$	plocha stříhu	[mm <sup>2</sup> ]
$S_{st}$	plocha průřezu střižníku	[mm <sup>2</sup> ]
$s_t$	šířka tabule	[mm]



$s_v$	šířka plechu	[mm]
$S_v$	plocha výstřížku	[mm <sup>2</sup> ]
$T_c$	celkové tržby	[Kč]
$t_p$	čas směny včetně příprav	[hod]
$t_r$	koeficient režijních nákladů	[-]
$t_s$	využitelný čas směny	[hod]
$t_t$	koeficient navýšení tržeb	[-]
$v_o$	ohybová vůle	[mm]
$v_s$	střížná vůle	[mm]
$X$	souřadnice polohy stopky	[mm]
$x_t$	souřadnice těžiště	[mm]
$Z$	střížná mezera	[mm]
$Z_r$	součinitel rozšíření	[-]
$Z_t$	souřadnice těžiště	[mm]
$Z_z$	součinitel ztenčení	[-]
$\alpha$	úhel ohybu	[°]
$\beta$	úhel odpružení	[°]
$\gamma$	úhel ohnutého úseku	[°]
$\epsilon_{max}$	mezní prodloužení v krajních vláknech	[-]
$\eta$	procentuální využití tabule	[%]
$\pi$	Ludolfovo číslo	[-]
$\rho$	poloměr neutrální vrstvy	[mm]
$\rho_t$	objemová hmotnost oceli	[kg·m <sup>-3</sup> ]
$\sigma_d$	napětí v tlaku	[MPa]
$\tau_s$	střížný odpor	[MPa]

## SEZNAM OBRÁZKŮ

Obr. 1 Výrobky vzniklé tvářením .....	9
Obr. 2 Klec ECR 10 12 .....	10
Obr. 3 Rozvinutý tvar .....	11
Obr. 4 Řezání laserem .....	11
Obr. 5 Řezání plazmatem .....	12
Obr. 6 Řezání vodním paprskem .....	12
Obr. 7 Ohraňování .....	13
Obr. 8 Sdružený postupový nástroj .....	13
Obr. 9 První fáze stříhu .....	14
Obr. 10 Druhá fáze stříhu .....	14
Obr. 11 Třetí fáze stříhu .....	15
Obr. 12 Vhodná střížná mezera .....	15
Obr. 13 Nevhodná střížná mezera .....	16
Obr. 14 Střížná plocha při normální vůli .....	17
Obr. 15 Průběh střížné síly .....	18
Obr. 16 Využitá plocha .....	19
Obr. 17 Nástřihový plán .....	20
Obr. 18 Uspořádání výstřížků .....	20
Obr. 19 Vzdálenosti otvorů .....	20
Obr. 20 Těžiště střížných sil graficky .....	21
Obr. 21 Těžiště střížných sil matematicky .....	22
Obr. 22 Střížný nástroj s vedením .....	23
Obr. 23 Vnitřní geometrie střížnice .....	23
Obr. 24 Kotvení střížníku .....	24
Obr. 25 Schéma ohybu .....	25
Obr. 26 Deformace průřezu při ohýbání tyčí .....	25
Obr. 27 Ohýbání širokých pásů .....	26
Obr. 28 Odpružení po ohybu .....	27
Obr. 29 Ohyb do tvaru V nebo U .....	28
Obr. 30 Konstrukční úpravy pro eliminaci odpružení .....	28
Obr. 31 Průběh ohýbací síly .....	29
Obr. 32 Ohýbací nástroj .....	31
Obr. 33 Vliv směru vláken .....	31
Obr. 34 Vzdálenost otvoru a délka ramene .....	32
Obr. 35 Klec ECR 10 12 .....	33
Obr. 36 Vzdálenost otvoru .....	33
Obr. 37 Délky ramen a oblouků .....	34
Obr. 38 Rozvinuté délky .....	34
Obr. 39 Podélné uspořádání .....	36
Obr. 40 Příčné uspořádání .....	36
Obr. 41 Varianta 1A .....	37
Obr. 42 Varianta 1B .....	37
Obr. 43 Varianta 2A .....	38
Obr. 44 Varianta 2B .....	38
Obr. 45 Varianta 1 .....	40
Obr. 46 Varianta 2 .....	41
Obr. 47 Varianta 3 .....	41
Obr. 48 Varianta 4 .....	42

Obr. 49	Oválný průřez.....	45
Obr. 50	Obdélníkový průřez se zaoblením.....	46
Obr. 51	Poloha působišť sil.....	49
Obr. 52	Poloha stopky.....	50
Obr. 53	Spodní polovina nástroje.....	51
Obr. 54	Detail přídržovače.....	52
Obr. 55	Pevné dorazy.....	52
Obr. 56	Kotvení dorazu.....	52
Obr. 57	Horní polovina nástroje.....	53
Obr. 58	Nástroj v horní úvrati.....	54
Obr. 59	Nástroj v dolní úvrati.....	54
Obr. 60	LEN 63 C.....	55
Obr. 61	Zkušební těleso před a po tahové zkoušce.....	56
Obr. 62	Smluvní tahový diagram.....	56

## SEZNAM TABULEK

Tab. 1	Mechanické vlastnosti a chemické složení materiálu.....	10
Tab. 2	Velikost střížné vůle.....	16
Tab. 3	Součinitel hloubky vtlačení.....	18
Tab. 4	Hodnoty součinitele stírání a protlačování.....	19
Tab. 5	Vzdálenosti otvorů.....	21
Tab. 6	Hodnoty koeficientu $x$ .....	26
Tab. 7	Hodnoty součinitele pro výpočet odpružení.....	28
Tab. 8	Tolerance poloměru ohybu.....	31
Tab. 9	Tolerance délek ramen.....	32
Tab. 10	Doporučené velikosti okrajů a můstků.....	35
Tab. 11	Parametry lisu LEN 63 C.....	55
Tab. 12	Vyhodnocení tahové zkoušky.....	56


## SEZNAM PŘÍLOH

Příloha 1	Materiálový list ocel HX340LAD
Příloha 2	Vodící sloupky Fibro DIN 9825/ISO 9182-2
Příloha 3	Technologický postup
Příloha 4	Výsledky tahové zkoušky

## SEZNAM VÝKRESŮ

Sdružený nástroj	výkres sestavy	170470_DP_01
Sdružený nástroj	kusovník	170470_DP_01_K
Klec ECR 10 12	výkres součásti	170470_DP_01_00
Střížnice	výkres součásti	170470_DP_01_03
Ohybnice	výkres součásti	170470_DP_01_05
Ohybník	výkres součásti	170470_DP_01_07
Přidržovač	výkres součásti	170470_DP_01_13
Střížník	výkres součásti	170470_DP_01_16
Hledáček	výkres součásti	170470_DP_01_22

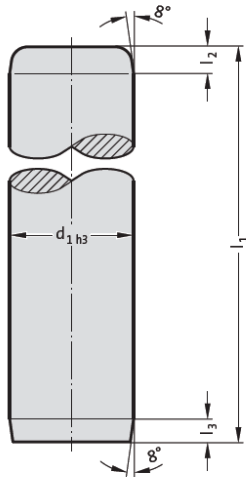
Příloha 1

 <p><b>ArcelorMittal</b> ARCELOMITTAL ATILOR MARDYCK ROUTE DE SPYCKÉR F-59760 GRANDE SYNTHÉ BP-129</p>		<p><b>ABNAHMEPRÜFZEUGNIS EN 10204-3.1</b></p>		<p><b>Herstellerzeichen</b> <b>MX</b></p>		<p><b>Feuerverz. Coils galvanized</b></p>		<p><b>A01</b></p>		<p><b>A02</b></p>		<p><b>Seite 1</b> A09/A03</p>									
								<p><b>A03</b></p>		<p><b>A04</b></p>		<p><b>A05</b></p>		<p><b>A06</b></p>		<p><b>A07</b></p>		<p><b>A08</b></p>			
<p><b>Überwachungs-Organisation</b> Formas, SSC Hradec Králové Vývoš 847 500 03 Hradec Králové Czech Republic</p>		<p><b>Besteller und/oder Empfänger</b> Czech Republic</p>		<p><b>Kundenbestellnummer</b> 627599/2</p>		<p><b>Werksauftragsnummer</b> FD8GFRZ002 000001</p>		<p><b>Qualität und techn. Lieferbedingungen</b> Qualität : HS340LAD-ZF EN 10346 2015 Standard : EN 10346:2015 Menge : chemische Behandlung Struktur : B Werkstandard : B Seite 1 : Eisen(Feuerw 110,00 G/82 ohne passivieren Mattgrau(12) Lag Seite 2 : 110,00 G/82 ohne passivieren</p>		<p><b>Aussehen</b> B B</p>		<p><b>Schutz</b> B B</p>		<p><b>Lieferzustand</b> CDC CDC</p>							
<p><b>Ammessung in mm</b></p>		<p><b>Länge</b> B09 1500,00</p>		<p><b>Breite</b> B10 1500,00</p>		<p><b>Dicke</b> B11 1,50</p>		<p><b>Überzug (4)</b></p>		<p><b>Überzug (4)</b></p>		<p><b>Eisen-anteil in glav. 1</b></p>		<p><b>Eisen-anteil in glav. 2</b></p>							
<p><b>Untere Grenze</b></p>		<p>340 410 19</p>		<p>420 510</p>		<p>0,0150</p>		<p>0,0250 0,5000</p>		<p>0,1500 0,1000</p>		<p>38,0</p>		<p>38,0</p>							
<p><b>Oberer Grenze</b></p>																					
<p><b>Walznummer</b> C00 8648062338</p>		<p><b>Schmelz Nr</b> C01 F 26500</p>		<p><b>Netto-gewicht</b> (1) Kg 26500</p>		<p><b>Länge</b> Zugversuch Re Rm A% C11 C12 C13 345 427 32</p>		<p><b>Quers</b> Zugversuch Re Rm A% MPA MPA (2) C11 C12 C13 345 427 32</p>		<p><b>Rauhigkeit (3)</b> Ra P1cs µm</p>		<p><b>Analyse in % ( Stückanalyse )</b> C Mn P S Si Al N Ti Nb C71 C72 C73 C74 C75 C76 C77 C78 C79 0,06568 0,3442 0,0126 0,0078 0,0084 0,0359 0,0035 0,0005 0,0324</p>		<p><b>UNTEIN SEITE</b> Rand Mitte 65,5 61,5</p>		<p><b>OBERN SEITE</b> Rand Mitte 61,5 51,6</p>		<p><b>Mittel werte</b> 56,2 56,1</p>		<p>10,0 9,6</p>	
<p><b>Position</b> P : <b>Erde</b> M : <b>Mitte</b> F : <b>Erde</b></p>		<p><b>(1)</b> 1: LO = 80mm 2: LO = 5,65VSO 3: JIS 23x30</p>		<p><b>(2)</b> C10</p>		<p><b>(3)</b></p>		<p><b>(4)</b> G/M2</p>		<p><b>(5)</b></p>		<p><b>Datum</b> 23/07/18</p>		<p><b>Name</b> S.MATEOS</p>							
<p>Wir bestätigen hiermit die obengenannten Erzeugnisse den Bestellvorschriften sowie den gültigen Normen entsprechen.</p>												<p><b>Bezeichnung, Besichtigung und Abmessung - ohne Bearbeitanung.</b></p>		<p><b>204</b> Z02/Z03</p>							

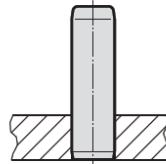


Guide pillar DIN 9825/ISO 9182-2

202.19.



Mounting example



**Material:**

Steel, (Core strength:  $\geq 900 \text{ N/mm}^2$ ) surface hardened  
 Surface hardness:  $60 \pm 3 \text{ HRC}$ , Hardness penetration  $\geq 1,8 \text{ mm}$  ( up to  $\varnothing 12$ , troughhardened)

**Execution:**

fine-ground and superfinished  
 Method of manufacturing entails that centre holes are not concentric with O.D.

**Note:**

$\varnothing 3$  to  $\varnothing 8$  are not supplied classified.  
 $\varnothing 10$  to  $\varnothing 12$  only available in tolerance range yellow = .10  
 Bearing clearance / Preloading see pairing classification at the beginning of chapter D.  
 Matching guide combinations, see selection matrix at the beginning of chapter D.  
 Assembly guide lines / Dimensional requirements and tolerances at the end of chapter D.  
 Tolerance range:  
 yellow = .10; green = .20; red = .30

202.19. Guide pillar DIN 9825/ISO 9182-2

$d_1$	3	4 5	6	8	10	11 12	15 16	19 20	24 25	30 32	38 40	48 50	60 63	80
$l_2$	2	2	2	3	3	3	4	4	6	6	6	8	8	8
$l_3$	2	2	2	3	3	3	3	3	3	3	3	3	3	3
$l_1$														
30	•													
40	•													
50	•	•	•	•										
60	•	•	•	•										
80	•	•	•	•										
90					•	•	•							
100		•	•	•	•	•	•	•	•					
112					•	•	•	•	•	•				
125					•	•	•	•	•	•				
140			•	•	•	•	•	•	•	•				
160			•	•	•	•	•	•	•	•	•			
180							•	•	•	•	•	•		
200							•	•	•	•	•	•	•	
224							•	•	•	•	•	•	•	
250							•	•	•	•	•	•	•	•
280							•	•	•	•	•	•	•	•
315							•	•	•	•	•	•	•	•
355							•	•	•	•	•	•	•	•
400							•	•	•	•	•	•	•	•
450								•	•	•	•	•	•	•
500								•	•	•	•	•	•	•
550									•	•	•	•	•	•
600										•	•	•	•	•
700											•	•	•	•
800												•	•	•

**Ordering Code (example):**

Guide pillar DIN 9825/ISO 9182-2	=202.19.
Guide diameter $d_1$	3 mm = 003.
Length $l_1$	30 mm = 030.
Classification TOL	without = (0)
Order No	=202.19. 003. 030. (0)

**Technologický postup**

<b>Číslo dokumentu:</b>	170470_DP_01_TP	<b>Výrobní zakázka:</b>	
<b>Výrobek:</b>	Klec ECR 10 12	<b>Číslo výkresu:</b>	170470_DP_01_00
<b>Počet kusů:</b>	10 000	<b>Skladové číslo:</b>	

<b>Číslo operace</b>	<b>Činnost / operace</b>	<b>Datum provedení</b>	<b>Osobní číslo</b>	<b>Poznámky</b>
10	Stříhat na padacích nůžkách (ocel 11 321) tloušťky 1,5 mm, pásy 1500 mm x 110 mm			15 tabulí po 27 pásech
20	Paleta 13022015-120 405 ks			
30	Vyrobít v nástroji 170470_DP_01 na lisu LEN63C 10 000 ks			
40	Paleta 13022015-060 10 000 ks			
50				
60				
70				
80				

## Příloha 4

Vzorek	Směr válcování	a [mm]	b [mm]	S <sub>0</sub> [mm <sup>2</sup> ]	F <sub>m</sub> [N]	R <sub>p02</sub> [MPa]	ReH [MPa]	ReL [MPa]	R <sub>m</sub> [MPa]	A [%]	T [s]	V <sub>t</sub> [mm/min]	V <sub>t1</sub> [MPa/s]
1	0°	1,5	19,957	29,936	12828,4	336,785	338,362	337,106	428,528	31,875	60,1	3,02	7,95
2	0°	1,5	19,955	29,932	12772,0	332,434	337,151	334,946	426,701	32,500	60,0	2,96	7,89
3	0°	1,5	19,950	29,925	12734,4	329,063	336,281	334,717	425,544	32,500	59,9	4,31	8,00
4	0°	1,5	19,956	29,934	12772,0	332,732	338,692	337,128	426,672	31,875	59,8	5,79	8,03
5	0°	1,5	19,962	29,943	12630,8	319,126	327,596	327,596	421,828	32,500	59,4	5,95	8,05
6	90°	1,5	19,968	29,952	12941,2	353,245	353,245	351,990	432,065	29,375	59,4	4,45	8,01
7	90°	1,5	19,975	29,963	12932,0	350,606	354,691	353,436	431,599	30,000	59,8	4,93	8,03
8	90°	1,5	19,980	29,970	12866,0	349,269	346,760	345,826	429,296	30,000	59,2	2,53	7,90
9	90°	1,5	19,969	29,953	12960,0	353,233	353,554	351,671	432,678	30,000	59,8	4,53	7,99
10	90°	1,5	19,975	29,963	12894,0	350,299	353,436	350,299	430,331	28,750	59,4	5,03	8,01